

Η πνευμονική τοξικότητα των αντινεοπλασματικών φαρμάκων

Χ.Δ. Μαρκέτος

Πνευμονολόγος, Παθολογική-Ογκολογική Κλινική,
Ογκολογικό Νοσ. ΙΚΑ

Λέξεις κλειδιά: αντινεοπλασματικά φάρμακα,
πνευμονική τοξικότητα

ΠΕΡΙΛΗΨΗ. Η πνευμονική τοξικότητα των αντινεοπλασματικών φαρμάκων είναι αρκετά συχνή, κυρίως λόγω της ευρείας χρήσης τους στην αντιμετώπιση νεοπλασματικών, αλλά και μη, κακοήθων νόσων. Υπολογίζεται ότι ποσοστό 10% περίπου των ασθενών που υποβάλλονται σε θεραπεία με κυτταροτοξικά φάρμακα παρουσιάζει πνευμονική τοξικότητα, η συχνότητα και η βαρύτητα της οποίας αυξάνεται από την επίδραση μιας σειράς άλλων παθαγόντων. Η συχνότερη μορφή εμφάνισης είναι αυτή της διάμεσης πνευμονίτιδας και της πνευμονικής ίνωσης. Η διαγνωστική προσέγγιση περιλαμβάνει το ιστορικό και τη κλινική εξέταση, την ακτινογραφία θώρακα, την υψηλής διαγνωστικής ευκρίνειας αξονική τομογραφία, το λειτουργικό έλεγχο του αναπνευστικού συστήματος, τη βρογχοσκόπηση με λήψη βρογχοκυψελιδικού εκπλύματος και διαβρογχικής βιοψίας και τέλος την ανοιχτή βιοψία πνεύμονα. Σημαντική είναι η διαφορική διάγνωση από άλλες παθήσεις επίσης συχνές στους ασθενείς αυτούς, όπως είναι η επεκταση της βασικής νόσου, οι λοιμώξεις του αναπνευστικού και οι μετακτινικές βλάβες του πνεύμονα. Η θεραπευτική αντιμετώπιση της πνευμονικής τοξικότητας από αντινεοπλασματικά φάρμακα στηρίζεται στην έγκαιρη αναγνώριση της τοξικότητας, τη διακοπή του ενοχοποιούμενου φαρμάκου και τη χορήγηση κορτικοστεροειδών. Η θνητότητα ποικίλει ανάμεσα στα διάφορα φάρμακα και παρά την έγκαιρη αντιμετώπιση, μπορεί να παραμείνουν υπολλειμματικές πνευμονικές βλάβες. *Πνεύμων 2004, 17(2):120-137.*

ΕΙΣΑΓΩΓΗ

Η πνευμονική τοξικότητα από αντινεοπλασματικά φάρμακα είναι ολοένα συχνότερη, καθώς ένας συνεχώς αυξανόμενος αριθμός κυτταροτοξικών και άλλων παραγόντων χρησιμοποιείται στη θεραπεία των νεοπλασματικών νόσων. Πέραν τούτου, αρκετά από τα φάρμακα αυτά έχουν

Αλληλογραφία:
Χ.Δ. Μαρκέτος,
Ιθώμης 41, 152 31 Χαλάνδρι, Αθήνα
Τηλ. (210) 6495272, 6756094

ευρεία εφαρμογή και στη θεραπεία μη κακοήθων παθήσεων.

Υπολογίζεται ότι ποσοστό 10% περίπου των ασθενών που υποβάλλονται σε θεραπεία με αντινεοπλασματικά φάρμακα παρουσιάζει πνευμονική τοξικότητα, είτε κατά τη διάρκεια της θεραπείας, είτε μήνες ή ακόμη και χρόνια αργότερα. Τα συχνότερα ενοχοποιούμενα για πρόκληση πνευμονικής βλάβης κυτταροτοξικά φάρμακα αναφέρονται συνοπτικά στο παρακάτω πίνακα (Πίνακας 1)¹⁻³.

Έχει επιπλέον αναγνωρισθεί μια σειρά παραγόντων, η παρουσία των οποίων αυξάνει τη συχνότητα και τη βαρύτητα της τοξικότητας των αντινεοπλασματικών φαρμάκων (Πίνακας 2)²⁻⁵.

Οι συνηθέστερες μορφές με τις οποίες εκδηλώνεται η πνευμονική τοξικότητα των αντινεοπλασματικών φαρμάκων είναι η διάμεση πνευμονίτιδα και η πνευμονική ίνωση, ενώ λιγότερο συχνή είναι η εμφάνιση άλλων πνευμονικών βλαβών (Πίνακας 3).

Σπανιότερα τέλος, η πνευμονική τοξικότητα μπορεί να εμφανισθεί με τη μορφή της αποφρακτικής βρογχιολίτιδας με οργανούμενη πνευμονία (BOOP), η ωσινοφλικής πνευμονίτιδας, διόγκωσης πυλαίων και μεσοθωρακικών λεμφαδένων και πνευμονικής φλεβοαποφρακτικής νόσου¹⁻⁸.

Οι παθογενετικοί μηχανισμοί της πνευμονικής τοξικότητας των αντινεοπλασματικών φαρμάκων δεν έχουν πλήρως αποσαφηνισθεί.

Πίνακας 1. Οι συχνότερα ενοχοποιούμενοι για πρόκληση πνευμονικής τοξικότητας αντινεοπλασματικοί παράγοντες.

- **Αντιβιοτικά:** Μπλεομυκίνη, Μιτομυκίνη
- **Αντιμεταβολίτες:** Μεθοτρεξάτη, Γεμισταβίνη, Κυταραβίνη, Φλουδαραβίνη
- **Αλκυλιωτικοί παράγοντες:** Κυκλοφωσφαμίδη, Βουσουλφάνη
- **Νιτροξουρίες:** Καρμουστίνη, Λομουστίνη
- **Αλκαλοειδή της VINCA:** Βινδεσίνη, Βινβλαστίνη, Βινορελβίνη
- **Ταξάνες:** Πακλιταξέλη, Δοσιταξέρη
- **Διάφορα:** Προκαρβαζίνη, Δοξιρουβικίνη, Αναστολέις EGFR, Ρετινοϊκό οξύ
- **Βιολογικοί τροποποιητές:** Ιντερλευκίνη, Ιντερφερόνη, G-CSF

Πίνακας 2. Παράγοντες που αυξάνουν τη πνευμονική τοξικότητα των αντινεοπλασματικών φαρμάκων.

- Μεγάλη ηλικία
- Συνολική δόση του φαρμάκου
- Συνδυασμός κυτταροτοξικών φαρμάκων
- Ακτινοθεραπεία θώρακα
- Προϋπάρχουσα πνευμονική νόσος
- Οξυγονοθεραπεία με υψηλά μίγματα εισπνεόμενου οξυγόνου
- Συγχρόνηση αιμοποιητικών αυξητικών παραγόντων ή κυτταροκινών

Τα περισσότερα κυτταροτοξικά φάρμακα έχουν άμεση τοξική δράση στα επιθηλιακά κύτταρα του πνεύμονα και στο πνευμονικό ενδοθήλιο, μέσω οξειδωτικού κυρίως τύπου βλαβών. Οι βλάβες αυτές είναι αποτέλεσμα αυξημένης παραγωγής ελεύθερων ριζών οξυγόνου ή και διαταραχών των αντιοξειδωτικών μηχανισμών, που σχετίζονται κυρίως με τη δραστηριότητα ενζύμων με αντιοξειδωτική δράση, όπως η γλουταθειόνη και η δισμούταση.

Επιπλέον, η απενεργοποίηση του συστήματος των αντιπρωτεασών, που προκαλείται από διάφορα κυτταροτοξικά φάρμακα, όπως η μπλεομυκίνη και η κυκλοφωσφαμίδη, έχει ως αποτέλεσμα την αυξημένη τοξική δράση των πρωτεολυτικών ενζύμων στο πνευμονικό παρέγχυμα^{1,3,5,7-9}.

Ένας άλλος πιθανός μηχανισμός δράσης συνδέεται με την υπερέκφραση των μορίων προσκόλλησης και την αυξημένη παραγωγή προφλεγμονωδών κυτταροκινών και αυξητικών παραγόντων, όπως ο TGF-β (Transforming growth factor), ο TNF-α (Tumor necrosis factor), η παραγόμενη από τα κυψελιδικά μακροφάγα ιντερφερόνη κ.λπ., που μέσω αλληλεπιδράσεων με τα λεμφοκύτταρα και τα ουδετερόφιλα, τα οποία όπως είναι γνωστό κατέχουν σημαντικό ρόλο στη διαδικασία της ίνωσης.

Πίνακας 3. Κυριότερες μορφές εμφάνισης της πνευμονικής τοξικότητας των αντινεοπλασματικών φαρμάκων.

- Διάμεση πνευμονίτιδα – ίνωση
- Πνευμονίτιδα εξ υπερευαισθησίας
- Μη-καρδιογενές πνευμονικό οίδημα
- Διάχυτη κυψελιδική αιμορραγία
- Πλευριτική συλλογή

που μελικηρήθρας" (honeycomb pattern), που παριστούν τελικά στάδια της πνευμονικής ίνωσης. Λιγότερο συχνή είναι η παρουσία "εικόνας πλακόστρωτου" (crazy paving) με την απεικόνιση πεπαχυσμένων μεσολοβιδών διαφραγμάτων μέσα σε περιοχές άλλωστεων τύπου "θολής υάλου", όπως στις περιπτώσεις διάχυτης κυψελιδικής βλάβης ή κυψελιδικής αιμορραγίας¹⁰⁻¹³.

Το **σπινθηρογράφημα με γάλλιο** είναι ευαίσθητη αλλά μη ειδική μέθοδος στην ανάδειξη των πνευμονικών διαταραχών, ακόμη και επί απουσίας ακτινολογικών ευρημάτων. Πράγματι, η μέθοδος, παρά την υψηλή ευαισθησία της, δεν παρέχει τη δυνατότητα διάκρισης από άλλες παθήσεις, όπως είναι οι λοιμώξεις (*pneumocystis carinii*, κυτταρομεγαλοϊδς), η πνευμονίτιδα από ακτινοβολία, η λεμφαγγειακή και κινωμάτωση κ.ά.^{2,3,6,11}.

4. Λειτουργικός έλεγχος: Ο λειτουργικός έλεγχος του αναπνευστικού αναδεικνύει περιοριστικού τύπου διαταραχές με μείωση των πνευμονικών όγκων, μείωση της διαχυτικής ικανότητας (DLCO) και υποξυγοναυμία, ιδιαίτερα κατά την άσκηση. Τα ευρήματα αυτά όμως δεν είναι σταθερά ούτε ειδικά της υποκείμενης νόσου^{3,6,9}.

5. Επεμβατικές μέθοδοι: Η **βρογχοκυψελιδική**, με λήψη βρογχοκυψελιδικού εκπλύματος (BAL), μπορεί να συμβάλλει στη διάγνωση. Ως χαρακτηριστικά ευρήματα του BAL αναφέρονται η αύξηση των λεμφοκυττάρων και σε μικρότερο βαθμό των ουδετεροφίλων, των ηωσινοφίλων και των μαστοκυττάρων, όπως επίσης και ο συνήθως χαμηλός λόγος CD4/CD8, ιδιαίτερα μικρότερος του 1^{6,9,14-16}. Υπό αξιολόγηση ακόμη, ως δεικτών οξείας διάμεσης πνευμονίτιδας αλλά και παρακολούθησης της νόσου, είναι οι πρωτείνες του επιφανειοδραστικού παραγόντα και η KL-6, μια MUC 1 βλεννίνη, στο BAL και στον ορό των ασθενών^{9,17,18}. **Η διαβρογική βιοψία**, όπως και η περισσότερο επεμβατική θωρακοσκοπική ή ανοικτή βιοψία πνεύμονα, επί αποτυχίας των άλλων μεθόδων, έχουν κυρίως θέση στη στήριξη της διάγνωσης και τον αποκλεισμό άλλων παθήσεων και όχι τόσο στην επιβεβαίωση ειδικής διάγνωσης, καθώς τα ιστοπαθολογικά ευρήματα, στην πλειονότητα των περιπτώσεων, δεν είναι παθογνωμονικά^{6,19-24}.

6. Διαφορική Διάγνωση: Ο αποκλεισμός άλλων παθήσεων, είναι ένα ιδιαίτερα σημαντικό βήμα στη διαγνωστική διερεύνηση των ασθενών αυτών και πρέπει κυρίως να περιλαμβάνει:

- την επέκταση της βασικής νόσου, ιδιαίτερα τη λεμφαγγειακή διασπορά,
- τις λοιμώξεις του αναπνευστικού, που είναι συχνές στους ασθενείς αυτούς λόγω της ανοσοκαταστολής και της συνήθους παρουσίας προδιαθεσικών παραγόντων,
- τις μετακτινικές βλάβες του πνεύμονα και τέλος,
- αιματολογικές διαταραχές, με αποτέλεσμα τη πνευμονική θρομβοεμβολή ή την αιμορραγική διάθεση^{1-3,5,11}.

Συμπερασματικά, επισημαίνεται ότι η διάγνωση σε αυτές τις περιπτώσεις είναι συνήθως διάγνωση "εξ αποκλεισμού", καθώς τόσο η κλινική εικόνα, όσο και τα ακτινολογικά και ιστοπαθολογικά ευρήματα, με ελάχιστες εξαιρέσεις, δεν είναι ειδικά.

Στη διαγνωστική προσέγγιση λοιπόν των ασθενών αυτών προτείνονται ορισμένα διαγνωστικά κριτήρια που περιλαμβάνουν:

- ιστορικό θεραπείας με το πιθανά ενοχοποιούμενο φάρμακο,
- απεικονιστικά ευρήματα που δεν υπήρχαν σε προγενέστερο έλεγχο και που είναι συμβατά με τη πιθανολογούμενη νόσο,
- ευρήματα στο βρογχοκυψελιδικό έκπλυμα ή/και την ιστοπαθολογική εξέταση, ενδεικτικά της πιθανολογούμενης νόσου,
- αποκλεισμός οποιασδήποτε πνευμονικής νόσου, η οποία εμφανίζεται με ανάλογη κλινικο-ακτινολογική εικόνα^{9,11,24}.

Πρέπει τέλος να αναφέρουμε ότι τα κυριότερα αντινεοπλασματικά φάρμακα ή ακόμη και έκδοχά τους, που ενοχοποιούνται για πρόκληση πνευμονικής τοξικότητας, ευθύνονται και για εμφανώς αλλεργικού τύπου αντιδράσεις που εκδηλώνονται κυρίως με βήχα, βρογχόσπασμο και οξεία δύσπνοια και μπορεί να συνοδεύονται από γενικευμένο ερύθημα, υπόταση κ.ά. Οι περιπτώσεις αυτές κατά κανόνα ανταποκρίνονται στη χορήγηση εισπνεόμενων βρογχοδιασταλτικών, κορτικοειδών, αντιισταμινών κ.λπ. και είναι πλήρως αναστρέψιμες^{1,2,5}.

ANTIBIOTIKA

Μπλεομυκίνη

Η μπλεομυκίνη ανήκει στην κατηγορία των αντιβιοτικών πεπτιδίων που έχουν αντινεοπλασματική δράση και χρησιμοποιείται στη θεραπεία του καρκίνου του όρχεος, λεμφωμάτων και καρκινωμάτων από πλακώδη κυτταρά^{5,7,25-27}.

Αν και περιπτώσεις πνευμονικής τοξικότητας του φαρμάκου έχουν περιγραφεί σε χαμηλές δόσεις, της τάξης των 60 mg, η πνευμονική βλάβη είναι συχνότερη σε συνολικές δόσεις μεγαλύτερες των 450 mg, με τη μορφή κυρίως της διάμεσης πνευμονίτιδας και ίνωσης και λιγότερο συχνά πνευμονίτιδας εξ υπερευαισθησίας, μηκαρδιογενούς πνευμονικού οιδήματος, αποφρακτικής βρογχιολίτιδας με οργανούμενη πνευμονία (BOOP) και πλευριτικής συλλογής^{3,5,7,26-28}.

Οι παθογενετικοί μηχανισμοί της πνευμονικής βλάβης περιλαμβάνουν την άμεση κυτταροτοξική δράση στο ενδοθήλιο των πνευμονικών τριχοειδών και στα πνευμονοκύτταρα τύπου I, με πρόκληση οξειδωτικών κυρίως βλαβών, τη συσσώρευση λευκοκυττάρων με επακόλουθη απελευθέρωση πρωτεασών (ελαστάσης, κολλαγενάσης κ.α.) και τέλος τη διέγερση ινοβλαστών με αυξημένη σύνθεση κολλαγόνου και ανάπτυξη πνευμονικής ίνωσης. Επιπλέον, είναι πιθανόν η μπλεομυκίνη να αναστέλλει την ενεργοποίηση του συστήματος των αντιπρωτεασών αυξάνοντας έτσι τη δράση των πρωτεολυτικών ενζύμων^{5,9,26,27}.

Στην όλη διαδικασία της τοξικής βλάβης φαίνεται ότι είναι σημαντικός ο ρόλος διάφορων παραγόντων, όπως είναι ο TGF-β, ο TNF, η ιντερφερόνη-α κ.ά., που συμμετέχουν στη διαδικασία της ίνωσης. Πιθανή ακόμη είναι η συμμετοχή γονιδιακών διαταραχών, όπως αυτές που αφορούν στη λειτουργία της p53 σε επίπεδο κυψελιδικού επιθηλίου και σχετίζονται κυρίως με την έκφραση των πρωτεΐνων του επιφανειοδραστικού παράγοντα, καθώς και η έλλειψη ή η μειωμένη δραστηρότητα της υδρολάσης της μπλεομυκίνης, μιας πεπτιδάσης που απενεργοποιεί το φάρμακο. Υψηλές συγκεντρώσεις του ενζύμου βρίσκονται στο ήπαρ, το σπλήνα, το μυελό των οστών και το έντερο. Αντίθετα, τα επίπεδα του ενζύμου είναι χαμηλά στους πνεύμονες και το δέρμα, γεγονός που ενδεχομένως αντικατοπτρίζει την αυξημένη ευαισθησία αυτών των οργάνων στην τοξική δράση της

μπλεομυκίνης^{9,26,27,29-33}.

Τα παθολογοανατομικά ευρήματα συνίστανται κυρίως σε διάμεσο οιδημα, με παράλληλη παρουσία κυψελιδικού εξιδρώματος, καταστροφή των τύπου I πνευμονοκυττάρων, μεταπλασία των πνευμονοκυττάρων τύπου II, φλεγμονώδη πολυμορφοπυρηνική διήθηση, παραγωγή ινοβλαστών - κολλαγόνου και διάμεση ίνωση. Πρέπει ακόμη να αναφερθεί ότι, σε μερικές περιπτώσεις, η μπλεομυκίνη προκαλεί μια πιθανότερα αλλεργικού τύπου αντίδραση με ηωσινοφιλική διήθηση των κυψελιδικών τουχωμάτων, ηωσινοφιλία και πυρετό^{3,5,7,26,27}.

Η πνευμονική τοξικότητα της μπλεομυκίνης αυξάνεται σημαντικά από την επίδραση μιας σειράς παραγόντων, που αναφέρονται στο παρακάτω πίνακα (Πίνακας 4)^{3,5,7,25-27,34-38}.

Σε ότι αφορά στην οξυγονοθεραπεία, η ουδός συγκέντρωσης του εισπνεόμενου οξυγόνου, η διάρκεια θεραπείας, καθώς και το χρονικό διάστημα που μεσολαβεί από τη θεραπεία με μπλεομυκίνη, προκειμένου να εξαλειφθεί ο κίνδυνος εμφάνισης οξείας πνευμονικής βλάβης από τη χορήγηση οξυγόνου σε μεγάλες συγκεντρώσεις, δεν είναι γνωστά. Συνιστάται πάντως, ιδιαίτερα στις περιπτώσεις χειρουργικών επεμβάσεων σε αισθενείς που έχουν υποβληθεί σε θεραπεία με μπλεομυκίνη, να διατηρείται η παροχή οξυγόνου σε χαμηλά επίπεδα, καθώς και η στενή παρακολούθηση των ασθενών για την ανίχνευση πρώιμων σημείων ARDS^{24,34,35}.

Η συγχορήγηση της μπλεομυκίνης με αυξητικούς παράγοντες των ουδετεροφιλών θεωρείται ότι αυξάνει τον κίνδυνο πνευμονικής τοξικότητας, αν και νεότερες έρευνες αμφισβήτησαν τα αποτελέσματα προηγούμενων μελετών^{39,40}.

Ο ρόλος της μειωμένης νεφρικής λειτουργίας είναι

Πίνακας 4. Παράγοντες που αυξάνουν την πνευμονική τοξικότητα της μπλεομυκίνης.

- Μεγάλη ηλικία (άνω των 70 ετών)
- Συνολική δόση του φαρμάκου (άνω των 450 mg)
- Συνδυασμός με άλλα κυτταροτοξικά
- Ακτινοθεραπεία θώρακα
- Προϋπάρχουσα πνευμονοπάθεια (χρόνια βρογχίτιδα, πνευμονικό εμφύσημα)
- Οξυγονοθεραπεία με υψηλές συγκεντρώσεις οξυγόνου
- Συγκρήτηση με αυξητικούς παράγοντες ή κυτταροκίνες
- Καπνιστική συνήθεια

ραγωγικό και δύσπνοια^{3,5,7,25}.

Τα ακτινολογικά ευρήματα περιλαμβάνουν κυρίως εικόνα αδρής δικτυώσεως και θολερότητας, στα κατώτερα ιδίως πνευμονικά πεδία, ενώ λιγότερο συχνή είναι η παρουσία υπεξωκοτικής συλλογής^{4,28,46}.

Μείωση της DLCO μεγαλύτερη του 20% παρατηρείται στο ένα τέταρτο περίπου των ασθενών μετά από τρείς κύκλους θεραπείας με μιτομυκίνη, χωρίς όμως το γεγονός αυτό να αποτελεί προγνωστικό δείκτη εμφάνισης πνευμονικής τοξικότητας⁴⁹.

Η διακοπή του φαρμάκου και η χορήγηση κορτικοστεροειδών, συνήθως πρεδνιζόνης σε ημερήσια δόση 1mg/Kg, μπορεί να έχουν καλά αποτελέσματα, όμως μεγάλο ποσοστό ασθενών, που φθάνει μέχρι και ποσοστού 60%, παρά την αρχική βελτίωση, παρουσιάζει προοδευτική έκπτωση της αναπνευστικής λειτουργίας^{3,5,44,46}.

Επιπλέον, ένας μικρός αριθμός ασθενών μπορεί να εμφανίσει αιμολυτικό-ουραϊκό σύνδρομο και ARDS. Ο κίνδυνος εμφάνισης του συνδρόμου συνδέεται με τη συνολική δόση του φαρμάκου, ιδιαίτερα εάν αυτή είναι μεγαλύτερη των 40 mg/m² και την προηγηθείσα χορήγηση 5-φθοριουρακιλης ή μεταγγίσεων αίματος. Πιθανότατα οφείλεται σε διάχυτη ενδοθηλιακή βλάβη, λόγω απελευθέρωσης κυτταρικών τοξικών προϊόντων από τη δράση της μιτομυκίνης, με παρουσία ενδαγγειακών θρόμβων. Συνήθως εμφανίζεται κατά τη διάρκεια ή λίγο μετά την ολοκλήρωση της θεραπείας και χαρακτηρίζεται από μικροαγγειοπαθητική αναφορά, θρομβοκυτταροπενία, νεφροπαθούσα και, στο 50% των περιπτώσεων, ARDS^{5,24,25,50,51}.

Η θεραπεία με κορτικοειδή, αιμοδιάλυση ή και πλασμαφαρμέση έχει πιωχά αποτελέσματα και η θνητότητα του συνδρόμου είναι μεγάλη, ιδιαίτερα στους ασθενείς που εμφανίζουν ARDS και στους οποίους φθάνει το 95%, έναντι 50% σε αυτούς που δεν παρουσιάζουν μη-καρδιογενές πνευμονικό οίδημα^{24,50,51}.

ΑΛΚΥΛΙΩΤΙΚΟΙ ΠΑΡΑΓΟΝΤΕΣ

Βουσουλφάνη

Η βουσουλφάνη, η οποία ανήκει στην κατηγορία των αλκυλιωτικών παραγόντων, χρησιμοποιείται στη θεραπεία της χρόνιας μυελογενούς λευχαιμίας και στη προετοιμασία για μεταμόσχευση μυελού των οστών^{5,52,53}.

Ενοχοποιείται κυρίως για πρόκληση διάμεσης πνευμονίτιδας και ίνωσης και σπάνια πλευριτικής συλλογής. Επιβαρυντικοί παράγοντες είναι η ακτινοθεραπεία και ο συνδυασμός με άλλα κυτταροτοξικά. Η πνευμονική τοξικότητα αποδίδεται σε άμεση κυτταροτοξική δράση στα επιθηλιακά κύτταρα του πνεύμονα και η συχνότητά της αυξάνει για συνολικές δόσεις μεγαλύτερες των 500 mg^{3,5,7,25,52,53}.

Τα ιστολογικά ευρήματα είναι η δυσπλασία των πνευμονοκυττάρων, η κυτταρική διήθηση από μονοπύρηνα και η διάμεση ίνωση. Χαρακτηριστική είναι η παρουσία μεγάλων ατύπων μονοπυρήνων, που αποτελούν άλλοιωμένα πνευμονοκύτταρα τύπου II, τα οποία ανευρίσκονται επίσης στα πτύελα και στο BAL των ασθενών^{5,7,25}. Η συχνότητα εμφάνισης της πνευμονικής βλάβης κυμαίνεται περί το 5%. Οι άλινικές εκδηλώσεις εμφανίζονται συνήθως μετά μακρό διάστημα από τη θεραπεία (από 8 μήνες έως και περισσότερο από 10 χρόνια στις αναφερθείσες περιπτώσεις) και περιλαμβάνουν βήχα, δύσπνοια και γενικά συμπτώματα, όπως καταβολή δυνάμεων, απώλεια βάρους και πυρετός^{3,5,25,52,53}.

Η πρόγνωση της νόσου και μετά τη διακοπή του φαρμάκου και τη χορήγηση κορτικοστεροειδών είναι πτωχή. Η διάμεση επιβίωση μετά τη διάγνωση κυμαίνεται περί τους 5 μήνες^{3,5,52}.

Κυκλοφασφαμίδη

Η κυκλοφασφαμίδη είναι αλκυλιωτικό κυτταροστατικό που χρησιμοποιείται ευρέως στη θεραπεία του καρκίνου του μαστού και άλλων συμπαγών όγκων, καθώς επίσης στη θεραπεία αιματολογικών κακοηθειών και αυτοάνοσων νοσημάτων, όπως η κοκκιωμάτωση Wegener, η συστηματική νευρωτική αγγείτιδα κ.ά.^{5,7,9,25}.

Πιθανολογείται ότι η πνευμονική βλάβη είναι το αποτέλεσμα της δράσης οξειδωτικών μεταβολιτών. Σημαντικός επιβαρυντικός παράγοντας είναι η χορήγηση οξυγόνου σε ψηλές συγκεντρώσεις και η συγχρόνηση ακτινοθεραπείας και άλλων κυτταροτοξικών φαρμάκων^{3,5,7,52}.

Τα παθολογοανατομικά ευρήματα περιλαμβάνουν οίδημα του ενδοθηλίου, παρουσία ενδοκυψελοδικού εξιδρόματος, απόπων μορφών κυψελοδικών κυττάρων και τέλος, λεμφοκυτταρική διήθηση και ίνωση^{5,7,25}.

Η συχνότητα εμφάνισης είναι μικρή και κυμαίνεται περί το 1%. Φαίνεται πάντως ότι δεν είναι δοσοεξαρ-

τώμενη, καθώς η χορήγηση μικρών δόσεων, έστω και σπανιότερα, μπορεί να προκαλέσει πνευμονική ίνωση, αν και στις υψηλές δόσεις της μεγαθεραπείας, η πνευμονική τοξικότητα είναι συχνότερη^{3,5,52}.

Η συμπτωματολογία εμφανίζεται συνήθως από ένα μήνα έως και αρκετά χρόνια μετά την έναρξη της θεραπείας. Διακρίνεται μία πρώιμη βλάβη, η οποία παρουσιάζεται 1 έως 6 μήνες μετά τη θεραπεία και μία όψιψη, που εμφανίζεται μετά τους 6 μήνες έως και χρόνια αργότερα και συνήθως συνδέεται με χαμηλών δόσεων μακράς διάρκειας θεραπεία. Τα συμπτώματα περιλαμβάνουν κυρίως βήχα, συνήθως μη παραγωγικό, δύσπνοια και σε ορισμένους ασθενείς πυρετό^{5,7,9,54}.

Η ακτινολογική εικόνα αναδεικνύει αμφοτερόπλευρες δικτυωτές-δικτυοοξύδεις σκιάσεις και σπανιότερα πλευριτική συλλογή ή και αμφοτερόπλευρη πάχυνση του υπεζωκότα^{4,9,28,55}.

Η μείωση της διαχυτικής ικανότητας θεωρείται πρώιμος δείκτης εμφάνισης της πνευμονικής τοξικότητας, δεν σχετίζεται όμως με τη βαρύτητα της νόσου. Αντίθετα, η οξυμετρία κόπωσης φαίνεται να σχετίζεται σε σημαντικό βαθμό με τη βαρύτητα της πνευμονικής βλάβης⁹.

Η διακοπή του φαρμάκου και η χορήγηση κορτικοειδών βελτιώνουν την αναπνευστική λειτουργία στους περισσότερους ασθενείς, συνήθως σε διάστημα δύο εβδομάδων μέχρι δύο μηνών. Όμως, μετά την εγκατάσταση της ίνωσης η πρόγνωση είναι δυσμενής και η θνητότητα ανέρχεται στο 60%^{3,9,44,54}.

ΝΙΤΡΟΖΟΥΡΙΕΣ

Καρμουστίνη

Η καρμουστίνη είναι νιτροζουρία, που χρησιμοποιείται στη θεραπεία των όγκων του εγκεφάλου, των λεμφωμάτων και του μυελώματος και ενοχοποιείται κυρίως για τη πρόκληση διάμεσης πνευμονίτιδας και ίνωσης.

Ο μηχανισμός της πνευμονικής τοξικότητάς της πιθανόν περιλαμβάνει την άμεση κυτταροτοξική επίδραση, καθώς και την αναστολή της αναγωγάσης της γλουταθειόντης στα κυψελιδικά μακροφάγα^{57,58}.

Παθολογοανατομικά αναδεικνύεται η παρουσία κυψελιδίτιδας και ίνωσης και σπανιότερα αγγειοκεντρικών νεκρωτικών κοκκιωμάτων^{5,7,25}.

Ανεξάρτητοι παράγοντες κινδύνου ανάπτυξης πνευμονικής τοξικότητας φαίνεται ότι είναι η συνολική δόση

του φαρμάκου και το γυναικείο φύλο. Πράγματι, η συχνότητα εμφάνισης είναι δοσοεξαρτώμενη. Σε συνολική δόση 1200 mg/m² κυμαίνεται στο 20-30%, ενώ για δόσεις μεγαλύτερες των 1500 mg/m² φθάνει το 50%.

Ασθενείς οι οποίοι έχουν υποβληθεί σε ακτινοθεραπεία θώρακα, μπορεί να παρουσιάσουν πνευμονική τοξικότητα με μικρότερες δόσεις (600 mg/m²) και συνήθως οι ασθενείς αυτοί έχουν δυσμενέστερη έκβαση^{3,5,57,58}.

Η κλινική εικόνα εμφανίζεται με ήπια συμπτώματα συνήθως μέσα σε 1 έως 3 μήνες από τη χορήγηση της θεραπείας, μπορεί όμως να εμφανισθεί και αρκετά χρόνια αργότερα, κυρίως με βήχα και προοδευτικά επιδεινούμενη δύσπνοια. Σπανιότερα μπορεί να εμφανισθεί οξείωση, ακόμη και με την εικόνα ARDS^{5,58,59}.

Η ακτινογραφία θώρακα παρουσιάζει διάχυτη δικτυοοξύδιακή διάστιξη, με χαρακτηριστική εντόπιση στα ανώτερα κυρίως πνευμονικά πεδία^{4,58}.

Η έγκαιρη διακοπή του φαρμάκου μπορεί να οδηγήσει σε σταθεροποίηση ή και βελτίωση μεγάλου ποσοστού των ασθενών (60-80%), ενώ η προφυλακτική χορήγηση κορτικοειδών μπορεί να μειώσει το κίνδυνο εμφάνισης της πνευμονικής τοξικότητας. Η θνητότητα πάντως είναι μεγάλη και κυμαίνεται από 20 έως και 80%^{57,58,60}.

ANTIMETABOLITES

Μεθοτρεξάτη

Η μεθοτρεξάτη είναι αντιμεταβολίτης, ανταγωνιστής του φυλλικού οξέος και χρησιμοποιείται στη θεραπεία λευχαιμίας, λεμφωμάτων, διάφορων συμπαγών όγκων αλλά και μη νεοπλασματικών παθήσεων, όπως είναι η ρευματοειδής αρθρίτιδα, η ψωρίαση κ.ά.^{5,7,25,61}.

Η πνευμονική βλάβη πιθανότατα οφείλεται σε άμεση τη τοξική δράση με διαταραχές της ακεραιότητας της τριχοειδοκυψελιδικής μεμβράνης, οδηγμα και ίνωση. Σε πολλές περιπτώσεις, ιδιαίτερα σε αυτές με οξεία έναρξη, πιθανολογούνται αντιδράσεις υπερευαισθησίας με κυψελιτίδα, λεμφοκυτταρική διήθηση, καθώς και πνευμονική και περιφερική ηωσινοφιλία σε ποσοστό 50% των περιπτώσεων^{7,9,61,62}.

Τα ιστολογικά ευρήματα χαρακτηρίζονται κυρίως από τη παρουσία φλεγμονωδών κυττάρων, ιδίως στο κυψελιδικό χώρο, με αυξημένη παρουσία ηωσινοφιλών και T-λεμφοκυτταρών που ανευρίσκονται και στο βρογ-

χοκυψελιδικό έκπλυμα. Μπορεί ακόμη να παρατηρηθούν μη τυροειδοποιημένα κοκκιώματα^{25,61,62}.

Ο λόγος CD4/CD8 στο BAL των ασθενών παρουσιάζει μεγάλες διακυμάνσεις και εξαρτάται από το διάστημα που μεσολαβεί από τη τελευταία χορήγηση του φαρμάκου και τη παράλληλη χορήγηση κορτικοστεροειδών^{9,61,63}.

Δείκτες διάμεσης πνευμονίτιδας αλλά και παρακολούθησης της νόσου θεωρούνται τα επίπεδα της πρωτείνης- D του επιφανειοδραστικού παράγοντα (SP-D) και της KL-6 στο αίμα⁶⁴.

Η συχνότητα εμφάνισης υπολογίζεται περί το 8%, είναι όμως μεγαλύτερη σε παιδιά με οξεία λεμφοκυτταρική λευχαιμία, που υποβάλλονται σε θεραπεία με υψηλές δόσεις μεθοτρεξάτης^{3,9,61}.

Συνηθέστερη είναι η εμφάνιση διάμεσης πνευμονίτιδας, 10 έως 14 μέρες μετά την έναρξη της θεραπείας και σπανιότερα μετά από μεγάλο χρονικό διάστημα. Παρατηρείται επίσης διάμεση ίνωση, με τη μορφή υποξείας ή χρόνιας νόσου και, λιγότερο συχνά, υπεξωκοτική συλλογή. Σπανιότερα είναι δυνατόν να παρατηρηθεί μη-καρδιογενές πνευμονικό οιδήμα, το οποίο έχει περιγραφεί και σε ασθενείς που υποβλήθηκαν μόνο σε ενδορραχιαία χορήγηση μεθοτρεξάτης^{8,61,62,65}.

Τα συμπτώματα περιλαμβάνουν βήχα, δύσπνοια, πυρετό, θωρακικό άλγος και, αρκετά συχνά, ρίγη και κεφαλαλγία. Χαρακτηριστικά της οξείας εμφάνισης είναι ο πυρετός, που εμφανίζεται στο 76% των περιπτώσεων, η ταχύπνοια και η υποξειγοναιμία, η οποία και θεωρείται αξιόπιστος δείκτης της βαρύτητας της νόσου^{9,61,62}.

Η ακτινολογική εικόνα παρουσιάζει αρχικά διάχυτη δικτυωτή διάστιξη, που γορίγορα μπορεί να εξελιχθεί σε διάχυτη μαζική πνευμονική πύκνωση, ενώ μπορεί να συνυπάρχει και πλευριτική συλλογή και διόγκωση πυλαίων και παρατραχειακών λεμφαδένων^{3,4,9,61,62}.

Η εικόνα αυτή υποχωρεί συνήθως δύο περίπου εβδομάδες μετά τη διακοπή του φαρμάκου, ενώ η χορήγηση κορτικοειδών αυξάνει τα ποσοστά βελτίωσης των ασθενών. Η θνητότητα κυμαίνεται μεταξύ 10-15%^{9,61,62}.

Κυταραβίνη

Η κυταραβίνη είναι τροποποιημένη μορφή κυτοσίνης και χρησιμοποιείται στη θεραπεία της οξείας μυελοβλαστικής και της χρόνιας μυελογενούς λευχαιμίας

και των λεμφωμάτων^{5,25,66}.

Η πνευμονική τοξικότητά της φαίνεται ότι είναι δοσοεξαρτώμενη. Ο μηχανισμός της τοξικής δράσης πιθανότατα συνδέεται με το σύνδρομο τριχοειδικής διαρροΐς που προκαλεί το φάρμακο και το οποίο προσβάλλει όχι μόνο τους πνεύμονες αλλά και τον υπεξωκότα, το περικάρδιο και το γαστρεντερικό σύστημα^{5,66,67}.

Συνήθως η συμπτωματολογία εμφανίζεται λίγες ημέρες μέχρι τρεις εβδομάδες από την έναρξη της θεραπείας με βήχα και δύσπνοια. Στο 15% περίπου των ασθενών μπορεί να εμφανισθεί εικόνα ARDS, ιδιαίτερα ύστερα από χορήγηση υψηλών δόσεων^{5,25,66}.

Η ακτινολογική εικόνα χαρακτηρίζεται από τη παρουσία διάχυτης δικτυοοξιδιακής διάστιξης με κατά τόπους εστιακές διηθίσεις, ενώ σε ποσοστό γύρω στο 10% παρατηρείται υπεξωκοτική συλλογή^{4,28,66}. Η χορήγηση υψηλών δόσεων κορτικοειδών, συνήθως μεθυλπρενιζολόνης, βοηθά στη βελτίωση των περισσότερων ασθενών, η δε θνητότητα φθάνει το 10%^{5,66,67}.

Γεμσιταβίνη

Πρόκειται για ανάλογο της πυριμιδίνης με χημική δομή και μηχανισμό δράσης παρόμιο με αυτόν της κυταραβίνης. Χρησιμοποιείται στη θεραπεία του καρκίνου του παγκρέατος, του ουροεπιθηλιακού καρκίνου, του καρκίνου του μαστού, του πνεύμονα και άλλων συμπαγών όγκων⁶⁸⁻⁷⁰.

Η γεμσιταβίνη φαίνεται ότι προκαλεί άμεση βλάβη των πνευμονικών ενδοθηλιακών κυττάρων και τριχοειδική διαρροή^{68,69,71}. Σημαντικός επιβαρυντικός παράγοντας είναι η προηγηθείσα ακτινοβολία θώρακα και η συγχρόνηση με άλλα κυτταροτοξικά φάρμακα⁶⁸⁻⁷⁰. Η συχνότητα εμφάνισης της πνευμονικής τοξικότητας φθάνει το 7% περίπου. Συνήθως παρατηρείται μετά από αρκετούς κύκλους θεραπείας, αν και σπάνια μπορεί να εμφανισθεί πρωιμότερα, ακόμη και μετά το πρώτο κύκλο^{68,72}.

Η πνευμονική βλάβη εμφανίζεται κυρίως με τη μορφή της διάμεσης πνευμονίτιδας και της πνευμονικής ίνωσης, ενώ σπανιότερα μπορεί να παρατηρηθεί εικόνα αιμοπλευρογενούς πνευμονίας και μη-καρδιογενούς πνευμονικού οιδήματος. Έχει ακόμη αναφερθεί η εμφάνιση αιμολυτικού-ουραρικού συνδρόμου και φλεβοαποφρακτικής πνευμονικής νόσου^{68,69,72-76}. Στους περισσότερους ασθενείς τα συμπτώματα εγκαθίστανται προοδευτικά με βήχα, επιδεινούμενη δύσπνοια και, σε ορισμένες περι-

πτώσεις, πυρετό^{68,69,74,75}. Κορτικοστεροειδή και διουρητικά βοηθούν, σε μεγάλο ποσοστό, στην αντιμετώπιση της νόσου^{69,75,77}.

Φλουδαραβίνη

Είναι φθοριωμένο παράγωγο της βιδαραβίνης και χρησιμοποιείται στη θεραπεία της χρόνιας λεμφογενούς λευχαιμίας, μη-Hodgkin λεμφωμάτων χαμηλού βαθμού κακοήθειας, της λευχαιμίας από τριχωτά κύτταρα κ.α.

Ο μηχανισμός της πνευμονικής τοξικότητας της φλουδαραβίνης δεν είναι σαφής, φαίνεται όμως ότι συνδέεται με τις διεργασίες της οξείας κυτταρικής λύσης^{78,79}.

Τα παθολογοανατομικά ευρήματα περιλαμβάνουν την παρουσία χρόνιας διάμεσης φλεγμονής, ηωσινοφλικής πνευμονίτιδας, πνευμονικής ίνωσης και, σε μερικές περιπτώσεις, φλεγμονωδών κοκκιωμάτων^{5,25,78}.

Η συχνότητα εμφάνισης της πνευμονικής τοξικότητας ανέρχεται στο 8,6%. Συνηθέστερη μορφή είναι η διάμεση πνευμονίτιδα, που μπορεί να εξελιχθεί σε διάμεση ίνωση. Σπανιότερα μπορούν να παρατηρηθούν ηωσινοφλική πνευμονία, καθώς και πολλαπλοί πνευμονικοί δύοι^{78,80,81}.

ΑΛΚΑΛΟΕΙΔΗ ΤΗΣ VINCA

Τα αλκαλοειδή της Vinca βινδεσίνη και βινβλαστίνη, καθώς και η νεότερη βινορελβίνη χρησιμοποιούνται στη θεραπεία λεμφωμάτων, καρκίνου του όρχεος, του νεφρού, του μαστού, του πνεύμονος, του σαρκώματος Kaposi κ.α. Ιδιαίτερα σε συγχορήγηση με μιτομυκίνη, καθώς και με ακτινοθεραπεία, μπορούν να προκαλέσουν κυρίως διάμεση πνευμονίτιδα και πνευμονική ίνωση^{47,48,82}.

Τα συμπτώματα περιλαμβάνουν συνήθως βήχα μη παραγωγικό και προοδευτικά επιδεινούμενη δύσπνοια, ενώ σπανιότερη είναι η οξεία εμφάνιση ακόμη και με τη μορφή ARDS⁸².

Η διακοπή του φαρμάκου και τα κορτικοστεροειδή έχουν συνήθως ικανοποιητικά αποτελέσματα, αν και σε αρκετούς ασθενείς παραμένουν υπολειμματικές βλάβες, με χρόνια έκπτωση της αναπνευστικής λειτουργίας^{48,82}.

ΤΑΞΑΝΕΣ

Οι ταξάνες είναι νεότεροι αντιμιτωτικοί παράγοντες

που χρησιμοποιούνται ευρέως στη θεραπεία του καρκίνου του πνεύμονα, του μαστού, των ωθηκών και άλλων συμπαγών όγκων.

Η πακλιταξέλη, ιδιαίτερα σε δόσεις μεγαλύτερες των 100 mg/m², έχει ενοχοποιηθεί για πρόκληση αντιδράσεων υπερενυασιθησίας με παρουσία παροδικών πνευμονικών διηθήσεων, καθώς και διάμεσης πνευμονίτιδας και ίνωσης, ιδιαίτερα σε συγχορήγηση με ακτινοθεραπεία. Έχει ακόμη αναφερθεί οξεία αμφοτερόπλευρη πνευμονίτιδα, σε ποσοστό περίπου 1%, σε ασθενείς στους οποίους χορήγηθηκε το φάρμακο σε τρίωρη έγχυση και τέλος μη-αρδιογενές πνευμονικό οίδημα σε συγχορήγηση με κυκλοφωσφαμίδη και σισπλατίνη^{25,85-89}.

Ο βήχας και η δύσπνοια είναι τα συνηθέστερα συμπτώματα, ενώ η μείωση της διαχυτικής ικανότητας αποτελεί σημαντικό δείκτη πρόωπης πνευμονικής βλάβης και μπορεί να παρατηρηθεί ακόμη και σε απουσία ακινητών ή ακτινολογικών ευρημάτων^{86,88,90}.

Η δοσιταξέλη έχει επίσης ενοχοποιηθεί για πρόκληση διάμεσης πνευμονίτιδας, πνευμονικής ίνωσης, αναμνηστικής βλάβης από ακτινοθεραπεία και ARDS. Έχουν ακόμη αναφερθεί περιπτώσεις πνευμονικής θρομβομβολικής νόσου, ιδιαίτερα σε συγχορήγηση με θαλιδομίδη σε ασθενείς με καρκίνο του προστάτου⁹¹⁻⁹⁵.

Περισσότερο συχνή είναι η εμφάνιση πλευριτικής συλλογής στο πλαίσιο της κατακράτησης υγρών, λόγω της αιχμημένης αγγειακής διαπερατότητας που μπορεί να προκαλέσει η χορήγηση του φαρμάκου. Η κατακράτηση υγρών αποτελεί συχνό φαινόμενο και αναφέρεται σε ποσοστά που φθάνουν το 52% στους ασθενείς που λαμβάνουν προκαταρκτική αγωγή με κορτικοειδή και το 82% στους ασθενείς χωρίς προκαταρκτική αγωγή. Φαίνεται ότι είναι αθροιστική όσον αφορά τη συχνότητα και τη βαρούτητα, με μέση αθροιστική δόση περί τα 1000 mg/m²^{89,96,97}.

Η εμφάνιση της κατακράτησης υγρών μπορεί να προληφθεί ή να καθυστερήσει με τη χορήγηση προκαταρκτικής αγωγής με δεξαμεθαζόνη ή μεθυλπρεδνίζολόνη. Η πλευριτική συλλογή, με συχνότητα εμφάνισης περίπου 12%, μπορεί να συνοδεύεται από περιφερικό οίδημα, περικαρδιακή συλλογή, ασκήτη και αύξηση βάρους. Η υποστροφή της συνήθως απαιτεί διάστημα αρκετών εβδομάδων μέχρι και μερικών μηνών (μέσος όρος 29 εβδομάδες)^{96,98}.

Η χορήγηση κορτικοστεροειδών είναι απαραίτητη

και για την αντιμετώπιση της πνευμονίτιδας και στις βαριές περιπτώσεις η ημερήσια δοσολογία ανέρχεται στα 1200 mg υδροκορτιζόνης ή 240 mg μεθυλπρεδνιζολόνης⁹¹⁻⁹³.

ΔΙΑΦΟΡΑ

Προκαρβαζίνη

Η υδροχλωρική προκαρβαζίνη είναι παράγωγο της μεθυλυδραζίνης με χρήση κυρίως στη θεραπεία των λεμφωμάτων και όγκων του εγκεφάλου.

Η πνευμονική της τοξικότητα αποδίδεται σε αντιδράσεις υπερευαισθησίας και συνοδεύεται από τη παρουσία ηωσινοφιλίας στο αίμα. Πιθανή είναι επίσης και η δράση της μέσω της παραγωγής ελευθέρων ριξών.^{5,25,99}

Η συμπτωματολογία περιλαμβάνει συνήθως βήχα και δύσπνοια και αρκετά συχνά υψηλό πυρετό με ρίγη^{25,53,99}.

Στην ακτινογραφία θώρακα οι διάχυτες παρεγχυματικές διηθήσεις μπορεί να συνοδεύονται από ετερόπλευρη ή και αμφοτερόπλευρη πλευρική συλλογή^{4,28,99}.

Συνήθης είναι η υποχώρηση της κλινικής και ακτινολογικής εικόνας μερικές μέρες μετά τη διακοπή του φαρμάκου, ενώ και η χορήγηση κορτικοειδών φαίνεται ότι βιοηθά στη βελτίωση των ασθενών^{5,53,99}.

Δοξορουβικίνη

Η δοξορουβικίνη ανήκει στην ομάδα των ανθρακυλινών και έχει ευρεία χρήση στη θεραπεία διαφόρων κακοήθων νόσων, όπως καρκίνου του μαστού, των ωθηκών, του στομάχου, του πνεύμονα και άλλων συμπαγών όγκων, σαρκωμάτων, λεμφωμάτων κ.λπ.^{5,25}

Δεν διαθέτει άμεση πνευμονική τοξικότητα, μπορεί όμως να συμμετέχει στην πρόκληση πνευμονικής βλάβης λόγω της ορατούμητικής της δράσης. Πράγματι, ασθενείς που υποβάλλονται σε θεραπεία με δοξορουβικίνη, μετά από ακτινοθεραπεία στο θώρακα, μπορεί να εμφανίσουν αναμνηστική βλάβη στις ακτινοβοληθείσες περιοχές. Επιβαρυντικός παράγοντας φαίνεται ότι είναι και η συγχορήγησή της με G-CSF^{5,25,100}.

Η συχνότητα εμφάνισης της πνευμονικής τοξικότητας είναι μεγαλύτερη στις περιπτώσεις ταυτόχρονης χορήγησης δοξορουβικίνης και ακτινοθεραπείας στο θώρακα, φθάνοντας το 10% περίπου, ενώ είναι λιγότερο συχνή στις περιπτώσεις διαδοχικής χορήγησης^{5,25}.

Η ακτινογραφία θώρακα αναδεικνύει διάμεσες διηθήσεις, οι οποίες μπορεί να εκτείνονται πέραν των πεδίων ακτινοβόλησης, ενώ συχνή είναι και η παρουσία περικαρδιακής συλλογής, λόγω της καρδιοτοξικότητας του φαρμάκου^{5,25}.

Αναστολείς EGFR

Ο αναστολέας ZD 1839 - Gefinitib (IRESSA), είναι αναστολέας της τυροσινικής κινάσης του υποδοχέα του επιδερμικού αυξητικού παραγόντα (EGFR - epidermal growth factor receptor) και έχει χρησιμοποιηθεί στη θεραπεία του καρκίνου του πνεύμονα, του νεφρού, του προστάτη και άλλων συμπαγών όγκων^{101,102}.

Έχει ενοχοποιηθεί για τη πρόκληση πνευμονίας, διάμεσης πνευμονίτιδας και σπανιότερα διάχυτης κυψελιδικής βλάβης και ARDS. Ο ακριβής μηχανισμός της πνευμονικής τοξικότητάς του δεν είναι γνωστός, πιθανά όμως το φάρμακο αναστέλλει τη φυσιολογική αναπλήρωση των μη-καρκινικών κυττάρων, ιδιαίτερα μετά από προηγηθείσα βλάβη¹⁰²⁻¹⁰⁵.

Οι επιβαρυντικοί παράγοντες σχετίζονται με προηγηθείσα χημειοθεραπεία ή και ακτινοθεραπεία, απομικές διαφοροποιήσεις στο μεταβολισμό του φαρμάκου, καθώς και τη κακή γενική κατάσταση των ασθενών¹⁰²⁻¹⁰⁴.

Σε διάφορες μελέτες η συχνότητα εμφάνισης της πνευμονικής τοξικότητας κυμάνθηκε στο 1-2%, ενώ το ένα τρίτο περίπου των περιπτώσεων είχε θανατηφόρα έκβαση. Πρόσφατα στην Ιαπωνία αναφέρθηκαν 173 θάνατοι από πνευμονική τοξικότητα του φαρμάκου, αριθμός που αντιστοιχεί στο 0,74% των ασθενών στους οποίους χορηγήθηκε, ενώ σε άλλες μελέτες αναφέρονται πολύ μεγαλύτερα ποσοστά πνευμονικής τοξικότητας, που ξεπερνούν το 30%^{102,104}.

Στην Ελλάδα, σε μελέτη των Γεωργούλια και συν, χορηγήθηκε το φάρμακο σε τριάντα έναν προθεραπευμένους ασθενείς με τοπικά εκτεταμένο ή μεταστατικό μη-μικροκυτταρικό καρκίνο του πνεύμονα. Αναφέρθηκαν δύο περιπτώσεις ασθενών (ποσοστό περίπου 6%), οι οποίοι εμφάνισαν πνευμονική βλάβη με τη μορφή πνευμονίας, εκ των οποίων η μια είχε θανατηφόρα έκβαση, χωρίς ωστόσο να αποσαφηνισθεί εάν επρόκειτο για σχετιζόμενη με το φάρμακο τοξικότητα ή οφείλονταν στην υποκείμενη νόσο¹⁰⁶.

Η συμπτωματολογία παρουσιάζεται συνήθως με βήχα και δύσπνοια και σε ορισμένους ασθενείς πυρετό,

ενώ σπάνια είναι η εμφάνιση ARDS^{101-103,107}.

Ρετινοϊκό οξύ

Το all-trans-ρετινοϊκό οξύ (ATRA) ανήκει στη ομάδα των αντινεοπλασματικών παραγόντων, οι οποίοι προάγουν τη διαφοροποίηση των καρκινικών κυττάρων και χρησιμοποιείται στη θεραπεία της οξείας προμυελοκυτταρικής λευχαιμίας^{108,109}.

Πιθανόν το ATRA να διαθέτει και άμεση κυτταροστατική δράση μέσω της ενεργοποίησης του αυξητικού παραγόντα TGF-β και των μηχανισμών της κυτταρικής απόπτωσης. Οι μηχανισμοί της τοξικότητάς του συνδέονται με τη δράση διάφορων μεσολαβητικών ουσιών όπως η καθεψύνη G, μια πρωτεάση που αυξάνει τη τριχοειδική διαπερατότητα, οι ιντεγρίνες CD11a και CD11b, η IL-1β και η IL-6, ο TNF-α κ.ά. Επιπλέον φαίνεται ότι μειώνει τα επίπεδα της πρωτεΐνης p11 στο βρογχικό επιθήλιο, με αποτέλεσμα τον αυξημένο μεταβολισμό και την απελευθέρωση προϊόντων του αραχιδονικού οξείου¹⁰⁸⁻¹¹⁰.

Παθολογοανατομικά παρατηρείται παρεγχυματική διήθηση από λευχαιμικά ή και ώριμα μυελοειδή κύτταρα, διάχυτη πνευμονική τριχοειδίτιδα, ενώ μπορεί να παρατηρηθεί και διάχυτη κυψελιδική αιμορραγία.^{109,111}

Η συχνότητα εμφάνισης της πνευμονικής τοξικότητάς του all-trans-ρετινοϊκού οξείου ανέρχεται περίπου στο 26 % και συνδέεται κυρίως με την εκδήλωση του ομώνυμου "συνδρόμου του ρετινοϊκού οξείου" (RAS-Retinoic Acid Syndrome)^{108,110,112}.

Η συμπτωματολογία εμφανίζεται συνήθως μέσα σε μια έως δύο εβδομάδες από την έναρξη της θεραπείας κυρίως με βήχα, δύσπνοια και πυρετό και μπορεί να συνοδεύεται από υπόταση, αύξηση βάρους, υπερλευκοκυττάρωση, πλευριτική και περικαρδιακή συλλογή, περιφερικά οιδήματα, θρομβοεμβολικά επεισόδια, μειωμένη συστατικότητα των μυοκαρδίου και νεφρική ανεπάρκεια. Να σημειωθεί ότι το σύνδρομο δεν εμφανίζεται κατά τη διάρκεια της θεραπείας συντήρησης^{108,109,112}.

Ακτινολογικά παρατηρούνται αμφοτερόπλευρες διάχυτες διηθήσεις με θολερότητα τύπου "εικόνας θολής υάλου", αύξηση του καρδιοθρακικού δείκτη, πλευριτική και περικαρδιακή συλλογή και λιγότερο συχνά εικόνα πύκνωσης και οξωδών σκιάσεων^{109,113}.

Η θεραπευτική αντιμετώπιση στηρίζεται στη διακοπή του φαρμάκου και τη χορήγηση κορτικοστεροειδών,

συνήθως δεξαμεθαζόνης, ενώ σε ορισμένες περιπτώσεις η λευκαφαίρεση έχει αποδώσει καλά αποτελέσματα.

Η προφυλακτική χορήγηση κορτικοειδών φαίνεται ότι μειώνει τη συχνότητα εμφάνισης και τη βαρύτητα του συνδρόμου^{109,112,114}.

ΒΙΟΛΟΓΙΚΟΙ ΤΡΟΠΟΠΟΙΗΤΕΣ

Η ιντερλευκίνη-2, η οποία χρησιμοποιείται στη θεραπεία του μελανώματος και όγκων του νεφρού, ενοχοποιείται κυρίως για πρόκληση διάμεσης πνευμονίτιδας και ίνωσης, πλευριτικής συλλογής και λιγότερο συχνά μη-καρδιογενούς πνευμονικού οιδήματος.

Ο παθογενετικός μηχανισμός της πνευμονικής τοξικότητάς της συνδέεται με τη διάχυτη τριχοειδική διαρροή, που προκαλεί το φάρμακο, όπου σημαντικό όρόλι φαίνεται πως έχει ο TNF-α¹¹⁵⁻¹¹⁷.

Η συχνότητα εμφάνισης σχετίζεται περισσότερο με την ενδοφλέβια bolus χορήγηση της και λιγότερο συχνά με τη συνεχή ενδοφλέβια έγχυση^{115,118}.

Η ακτινολογική εικόνα είναι αυτή των εστιακών ή διάχυτων παρεγχυματικών διηθήσεων και της συχνής παρουσίας υπεζωκοτικής συλλογής, η συχνότητα της οποίας, σε ορισμένες μελέτες, φθάνει το 52%^{115,116,118,119}.

Συνήθως, μετά τη διακοπή του φαρμάκου, παρατηρείται βελτίωση της κλινικής και ακτινολογικής εικόνας. Όμως η πλήρης αποκατάσταση, σε ποσοστό μέχρι και 17% των ασθενών, απαιτεί διάστημα αρκετών εβδομάδων^{118,119}.

Η ιντερφερόνη χρησιμοποιείται στη θεραπεία της χρόνιας μυελογενούς λευχαιμίας, της λευχαιμίας από τριχωτά κύτταρα, του μεταστατικού αδενοκαρκινώματος του νεφρού, του μελανώματος, καθώς και διαφόρων μη κακοήθων νόσων.

Ενοχοποιείται για πρόκληση διάμεσης πνευμονίτιδας, πλευριτικής συλλογής και σπανιότερα αποφρακτικής βρογχιολίτιδας όπως και μη καρδιογενούς πνευμονικού οιδήματος¹²⁰⁻¹²⁴.

Οι παθογενετικοί μηχανισμοί της πνευμονικής βλάβης πιθανόν σχετίζονται με διαταραχές της κυτταρικής ανοσίας ή και με αυτοάνοσες αντιδράσεις^{120,122}.

Μείωση της διαχυτικής ικανότητας μπορεί να παρατηρηθεί και επί απουσίας ακτινολογικών ευρημάτων.¹²⁰⁻¹²²

Ο αυξητικός παραγών GCSF (granulocyte colony stimulating factor), έχει ευρεία εφαρμογή στην αποκα-

τάσταση της ουδετεροπενίας μετά από χημειοθεραπεία, στη μεταμόσχευση στελεχαιών κυττάρων κ.λπ.

Μπορεί να προκαλέσει η ωστινοφίλική πνευμονία, διάμεση πνευμονίτιδα και ίνωση. Σπανιότερα έχει ενοχοποιηθεί για πρόκληση ARDS, καθώς και εξιδρωματικής πλευριτικής συλλογής, η οποία χαρακτηρίζεται από τη παρουσία μεγάλου αριθμού κυττάρων, μεταξύ των οποίων πρώιμες, αλλά και ώριμες μιορφές μυελοειδών κυττάρων¹²⁵⁻¹²⁸.

Φαίνεται ότι ο GCSF αυξάνει τη πνευμονική τοξικότητα διάφορων κυτταροτοξικών φαρμάκων, όπως της μπλεομυκής, της δοξορούβικής, της κυκλοφωσφαμίδης κ.α., αν και υπάρχουν αντικουουδιμενες απόψεις επί του θέματος¹²⁹⁻¹³².

Ο συνήθως μη παραγωγικός βήχα, η δύσπνοια και σε ορισμένες περιπτώσεις ο πυρετός, είναι τα συχνότερα συμπτώματα.

Διάχυτες διάμεσες διηθήσεις και λιγότερο συχνά η παρουσία υπεξωκοτικής συλλογής χαρακτηρίζουν την

ακτινολογική εικόνα¹²⁵⁻¹²⁷.

Συμπεράσματα

Η πνευμονική τοξικότητα των αντινεοπλασματικών φαρμάκων είναι αρκετά συχνή λόγω του διαρκώς αυξανόμενου αριθμού και της ευρύτερης χοήσης των φαρμάκων αυτών στη θεραπεία νεοπλασματικών αλλά και μη κακοήθων παθήσεων.

Η κλινική και ακτινολογική εικόνα επιβάλλει τη διαφορική διάγνωση από άλλες παθήσεις, επίσης συχνές στους ασθενείς αυτούς.

Η αντιμετώπιση στηρίζεται κυρίως στη διακοπή του φαρμάκου και τη χορήγηση κορτικοστεροειδών.

Είναι ιδιαίτερα σημαντικό να τεθεί η υποψία της παρουσίας πνευμονικής τοξικότητας από κυτταροτοξικά φάρμακα, ώστε να οδηγηθούμε στη κατά το δυνατό πρωιμότερη διάγνωση και την έγκαιρη διακοπή του ενοχοποιούμενου φαρμάκου, πρίν την εγκατάσταση μη αναστρέψιμων πνευμονικών βλαβών.

SUMMARY

Pulmonary toxicity of antineoplastic drugs

Marketos Ch.D.

Pulmonary toxicity resulting from treatment with antineoplastic drugs is common because of the wide use of such drugs in the treatment of malignant and other diseases. It is estimated that approximately 10% of patients receiving cytotoxic drugs will develop pulmonary toxicity. The risk of toxicity increases in the presence of other factors. The diagnostic approach includes the history and clinical examination, chest radiography, high resolution computed tomography, lung function studies, bronchoscopy with transbronchial biopsy and bronchoalveolar lavage and finally open lung biopsy. It is important to exclude other conditions such as progression of the primary disease, lower respiratory tract infections, and radiation-induced lung injury. The management of antineoplastic drug related pulmonary toxicity is based on clinical suspicion, discontinuation of the drug and administration of corticosteroids. Mortality varies among different drugs, and even with early treatment there may be residual lung damage. Pneumon 2004; 17(2):120-137.

Key words: antineoplastic drugs, pulmonary toxicity

ΒΙΒΛΙΟΓΡΑΦΙΑ

1. Ozkan M, Dwek R, Ahmad M. Drug induced pulmonary toxicity. Cleve Clin J Med 2001; 9:782-95.
2. Stover DE, Kaner RJ. Pulmonary complications in cancer patients. CA Cancer J Clin 1996; 46:303-320.
3. Αγγελίδου Μ. Φαρμακευτική πνευμονοπάθεια σε θε-
- ραπεία νεοπλάσματος. Στο "Επιπτώσεις των κακοήθων νεοπλασιών και της θεραπείας τους στα διάφορα συστήματα". Εκδ. I.E.A. Αθήνα 1995; (I.I):21-27.
4. Rossi SE, Erasmus JJ, McAdams HP, Sporn TA, Goodman PC. Pulmonary drug toxicity: Radiologic and pathologic manifestations. Radiographics 2000; 20:1245-1249.

5. Φούντζηλας Γ, Μπαρμπούνης Β. Βασικές αρχές θεραπείας του καρκίνου. Εκδ. University Studio Press Θεσσαλονίκη 1997; 9:189-194.
6. British Thoracic Society, Standards of Care Committee. The diagnosis, assessment and treatment of diffuse parenchymal lung disease in adults. *Thorax* 1999; 54(Suppl. 1):S1-S28.
7. Πολυξωγόπουλος Δ., Πολυχρονόπουλος Β. Κλινική Πνευμονολογία Εκδ. Πασχαλίδη Αθήνα 1993; τόμος Γ' σε: 1901-1938.
8. Briassoulis E, Pavlidis N. Non-cardiogenic pulmonary edema: An unusual and serious complication of anticancer therapy. *Oncologist* 2001; 6(2):153-61.
9. Λουκίδης Σ. Φαρμακογενείς διάμεσες πνευμονοπάθειες. Στο "Διάχυτες Διάμεσες Πνευμονοπάθειες" Εκδ. Ε.Π.Ε. Αθήνα 2003;(47):624-638.
10. Logan PM, Primack SL, Staples C, Miller RR, Muller NL. Acute lung disease in the immunocompromised host. Diagnostic accuracy of the chest radiograph. *Chest* 1995; 108:1283-1287.
11. Mayaudo C, Cadranel J. A persistent challenge: the diagnosis of respiratory disease in the non-AIDS immunocompromised host. *Thorax* 2000; 55(6):511-17.
12. Akira M, Ishikawa H, Yamamoto S. Drug-induced pneumonitis: Thin-Section CT findings in 60 patients. *Radiology* 2002; 224: 852-60.
13. Μαλαγάρη Κ, Λιάπτη Ε. Ακτινολογικά πρότυπα ΔΔΠ. Στο "Διάχυτες Διάμεσες Πνευμονοπάθειες" εκδ. Ε.Π.Ε. Αθήνα 2003; 8:108-128.
14. Costabel V, Guzman J. Bronchoalveolar lavage in interstitial lung diseases. *Curr Opin Pulm Med* 2001; 7(5):255-261.
15. Akoun GM, Cadranel JL, Milleron BJ, D'Ortho MP, Mayaudo CM. Bronchoalveolar lavage cell data in 19 patients with drug-associated pneumonitis (except amiodarone). *Chest* 1991; 99:98-104.
16. Vaughan WP, Linder J, Robbins R, Arneson M, Rennard SI. Pulmonary surveillance using bronchoscopy and bronchoalveolar lavage during high dose antineoplastic therapy. *Chest* 1991; 99:105-111.
17. Eisner MD, Parsons P, Matthay MA, Ware L, Greene K. Plasma surfactant protein levels and clinical outcomes in patients with acute lung injury. *Thorax* 2003; 58:983-988.
18. Ohnishi H, Yokoyama A, Yasuhara Y, Watanabe A, Naka T, Hamada H, Abe M, Nishimura K, Higaki J, Ikekoe J, Kohno N. Circulating KL-6 levels in patients with drug induced pneumonitis. *Thorax* 2003; 58(10):872-5.
19. Jain P, Sandur S, Meli Y, Arroliga AC, Stoller JK, Mehra AC. Role of flexible bronchoscopy in immunocompromised patients with lung infiltrates. *Chest* 2004; 125:712-722.
20. Cazzadore A, Di Pierri G, Todeschini G, Luzzati R, Boschiero L, Perona G, Concia E. Transbronchial biopsy in the diagnosis of pulmonary infiltrates in immunocompromised patients. *Chest* 1995; 107:101-106.
21. Ferson PF, Landreneau RJ. Thoracoscopic lung biopsy or open lung biopsy for interstitial lung disease. *Chest Surg Clin N Am* 1998; 8(4):749-762.
22. Krasna MJ, White CS, Aisner SC, Templeton PA, McLaughlin JS: The role of thoracoscopy in the diagnosis of interstitial lung disease. *Ann Thorac Surg* 1995; 59(2):348-351.
23. Yamaguchi M, Yoshino I, Suemitsu R, Osoegawa A, Kameyama T, Tagawa T, Fukuyama S, Machara Y. Elective video-assisted thoracoscopic lung biopsy for interstitial lung disease. *Asian Cardiovasc Thorac Ann* 2004; 12:65-68.
24. Limper AH, Rosenow EC. Πνευμονικές νόσοι προκαλούμενες από φάρμακα. Στο Polly E. Parsons-John E. Heffner: Secrets Πνευμονολογίας και θεραπείας του αναπνευστικού. Εκδ. Πασχαλίδη Αθήνα 2003; 55:486-491.
25. Ratain J. Pharmacology of cancer chemotherapy. Στο "Cancer Principles and Practice of Oncology". V.T. De Vita, S. Hellman, S.A. Rosenberg. Eds. Philadelphia Lippincott Williams and Wilkins 2001; pp. 335-459.
26. Sleijfer S. Bleomycin-induced pneumonitis. *Chest* 2001; 120:617-624.
27. Jules-Elysee K, White DA. Bleomycin induced pulmonary toxicity. *Clin Chest Med* 1990; 11:1-20.
28. Morelock SY, Sahn SA. Drugs and the pleura. *Chest* 1999; 116(1):212-221.
29. Sleijfer S, Vujaskovic Z, Limburg PC, Schraffordt Koops H, Mulder NH. Induction of tumor necrosis factor-alpha as a cause of bleomycin-related toxicity. *Cancer* 1998; 82(5):970-974.
30. Phan SH and Kunkel SL. Lung cytokine production in bleomycin-induced pulmonary fibrosis. *Exp Lung Res* 1992; 18(1):29-43.
31. Mishra A, Doyle NA, Martin II WJ. Bleomycin-mediated pulmonary toxicity. Evidence for a p53-mediated response. *Am J Respir Cell Mol Biol* 2000; 22(5):543-549
32. Ghosh S, Mendoza T, Ortiz LA, Hoyle GW, Fermin CD, Brody AR, Friedman M, Morris GF. Bleomycin sensitivity of mice expressing dominant-negative p53 in the lung epithelium. *Am J Respir Crit Care Med* 2002; 166:890-897
33. Zheng W, Johnston SA. The nucleic acid binding activ-

- ity of bleomycin hydrolase is involved in bleomycin detoxification. *Mol Cell Biol* 1998; 18(6):3580-85
34. O'Sullivan JM, Huddart RA, Norman AR, Nicholls J, Dearnaley DP, Horwich A. Predicting the risk of bleomycin lung toxicity in patients with germ-cell tumours. *Ann Oncol* 2003; 14:91-96.
 35. Ingrassia TS 3rd, Ryu JH, Trastek VF, Rosenow EC 3rd. Oxygen-exacerbated bleomycin pulmonary toxicity. *Mayo Clin Proc* 1991; 66(2):173-178.
 36. Senan S, Paul J, Thomson N, Kaye SB. Cigarette smoking is a risk factor for bleomycin-induced pulmonary toxicity. *Eur J Cancer* 1992; 28A: 2084.
 37. Kawai K, Hinotsu S, Tomobe M, Akaza H. Serum creatinine level during chemotherapy for testicular cancer as a possible predictor of bleomycin-induced pulmonary toxicity. *Jpn J Clin Oncol* 1998; 28(9):546-550.
 38. Sleijfer S, van der Mark TW, Schraffordt Koops H, Mulder NH. Enhanced effects of bleomycin on pulmonary function disturbances in patients with decreased renal function due to cisplatin. *Eur J Cancer* 1996; 32(3):550-52.
 39. Adachi K, Suzuki M, Sugimoto T, Yorozu K, Takai H, Uetsuka K, Nakayama H, Doi K. Effects of granulocyte colony stimulating factor (GCSF) on bleomycin-induced lung injury of varying severity. *Toxicologic Patho* 2003; 31(6):665-673.
 40. Saxman SB, Nichols CR, Einhorn LH. Pulmonary toxicity in patients with advanced-stage germ cell tumors receiving bleomycin with and without granulocyte colony stimulating factor. *Chest* 1997; 111:657-660.
 41. Villani F, Bacchella L, Bulgheroni A, Pizzini L, Galimberti M, Aprile C, Luisetti M. Study of functional and biochemical indicators of subclinical lung damage in bleomycin-treated patients. *Respir Med* 1992 86(4):327-33
 42. Sleijfer S, van der Mark TW, Schraffordt Koops H, Mulder NH. Decrease in pulmonary function during bleomycin-containing combination chemotherapy for testicular cancer: not only a bleomycin effect. *Br J Cancer* 1995; 71(1):120-23
 43. Maher J, Daly P. Severe bleomycin lung toxicity reversal with high dose corticosteroids. *Thorax* 1993; 48:92-94
 44. Jantz MA, Sahn SA. Corticosteroids in acute respiratory failure. *Am J Respir Crit Care Med* 1999; 160(4):1079-1100.
 45. Ciri S, Wany Q. Taurine and niacin offer a novel therapeutic modality in prevention of chemically- induced pulmonary fibrosis in hamsters. *Adv Exp Med Biol* 1992; 315:329-40.
 46. Burkes RL, Ginsberg RJ, Shepherd FA, Blackstein ME, Goldberg ME, Waters PF, Patterson GA, Todd T, Pearson FG, Cooper JD. Induction chemotherapy with mitomycin, vindesine and cisplatin for stage III unresectable non- small-cell lung cancer: results of the Toronto Phase II Trial. *J Clin Oncol* 1992; 10:580-586.
 47. Rivera MP, Kris MG, Gralla RJ, White DA. Syndrome of acute dyspnea related to combined mitomycin plus vinca alkaloid chemotherapy. *Am J Clin Oncol* 1995; 18(3):245-250.
 48. Rouzaud P, Estivals M, Pujozon MC, Carles P, Lauque D: Respiratory complications of the vinorelbine-mitomycin combination. *Rev Mal Respir* 1999; 16(1):81-84.
 49. Castro M, Veeder MH, Mailliard JA, Tazelaar HD, Jett JR. A prospective study of pulmonary function in patients receiving mitomycin. *Chest* 1996; 109:939-944.
 50. Groll JA, Kozak M, Boehmer JP, Demko TM, Diamond SR. Endotheliopathy: a continuum of hemolytic uremic syndrome due to mitomycin therapy. *Am J Kidney Dis* 1997; 29(2):280-284.
 51. Gundappa RK, Sud K, Kohli HS, Gupta KL, Joshi K, Sakhuja V. Mitomycin-C induced haemolytic uremic syndrome: a case report. *Ren Fail* 2002; 24(3):373-377.
 52. Morgan M, Dodds A, Atkinson K, Szer J, Dows K, Biggs J. The toxicity of busulfan and cyclophosphamide as preparative regimen for bone marrow transplantation. *Br J Haematol* 1991; 77:529-534.
 53. Foucher P, Biour M, Blayac JP, Godard P, Sgro C, Kuhn M, Vergnon JM, Vervloet D, Pfizenmeyer P, Ollagnier M, Mayaud C, Camus P. Drugs that may injure the respiratory system. *Eur Respir J* 1997; 10(2):265-279.
 54. Malik SW, Myers JL, DeRemee RA, Specks U. Lung toxicity associated with cyclophosphamide use: two distinct patterns. *Am J Respir Crit Care Med* 1996; 154:1851-1856.
 55. Hamada K, Nagai S, Kitaichi M, Jin G, Shigematsu M, Nagao T, Satoru Y, Mishima M. Cyclophosphamide-induced late-onset lung disease. *Intern Med* 2003; 42(1):82-87.
 56. Schaap N, Raymakers R, Schattenberg A, Ottevanger JP, de Witte T. Massive pleural effusion attributed to high-dose cyclophosphamide during conditioning for BMT. *Bone Marrow Transplant* 1996; 18(1):247-48.
 57. Alessandrino EP, Bernasconi P, Colombo A, Caldera D, Martinelli G, Vitulo P, Malcovati L, Nascibene C, Varettoni M, Volpini E, Klersy-Bernasconi C. Pulmonary toxicity following carmustine-based preparative regimens and autologous peripheral blood progenitor cell transplantation in hematological malignancies. *Bone Marrow Transplant* 2000; 25(3):309-13.

58. Schmitz N, Diehl V. Carmustine and the lungs. *Lancet* 1997; 349:1712-1713.
59. O'Driscoll BR, Hasleton PS, Taylor PM, Poulter LW, Gattamneni HR and Woodcock AA: Active lung fibrosis up to 17 years after chemotherapy with BCNU in childhood. *N Engl J Med* 1990; 323:378-383.
60. Kalaycioglu M, Kavuru M, Tuason L, Bolwell B. Empiric prednisone therapy for pulmonary toxic reaction after high-dose chemotherapy containing carmustine (BCNU). *Chest* 1995; 107:482-487.
61. Cannon GW. Methotrexate pulmonary toxicity. *Rheum Dis Clin North Am* 1997; 23:917-937.
62. Imokawa S, Colby TV, Leslie KO, Helmers RA. Methotrexate pneumonitis: review of the literature and histopathological findings in nine patients. *Eur Respir J* 2000; 15:373-381.
63. Fuhrman C, Parrot A, Wislez M, Prigent H, Boussaud V, Bernaudin J-F, Mayaud C, Cadran J. Spectrum of CD4 to CD8 T-Cell ratios in lymphocytic alveolitis associated with Methotrexate-induced pneumonitis. *Am J Respir Crit Care Med* 2001; 164(7):1186-1191.
64. Miyata M, Sakuma F, Fukaya E, Kobayashi H, Rai T, Saito H, Kasukawa R, Suzuki S: Detection and monitoring of methotrexate associated lung injury using serum markers KL-6 and SP-D in rheumatoid arthritis. *Intern Med* 2002; 41(6):467-473.
65. Dai MS, Ho CL, Chen YC, Kao WY, Chao TY. Acute respiratory distress syndrome following intrathecal methotrexate administration: a case report and review of literature. *Ann Hematol* 2000; 79(12):696-699.
66. Leng PH, Murillo B, Fraire A. Acute interstitial pneumonitis occurring after consolidation chemotherapy with high-dose cytarabine for acute myelogenous leukaemia. *Chest* 1999; 116:409-410.
67. Larouche G, Denault A, Prenovault J. Corticosteroids and serious cytarabine-induced pulmonary edema. *Pharmacotherapy* 2000; 20:1396-1399.
68. Gupta N, Ahmed I, Steinberg H, Patel D, Nissel-Horowitz S and Mehrotra B. Gemcitabine-induced pulmonary toxicity. *Am J Clin Oncol* 2002; 25:96-100.
69. Sauer-Heilborn A, Kath R, Schneider CP, Hoffken K. Severe non haematological toxicity after treatment with gemcitabine. *J Cancer Res Clin Oncol* 1999; 125(11): 637-640.
70. Friedberg JW, Neuberg D, Kim H, Miyata S, McCauley M, Fisher DC, Takvorian T, Canellos GP. Gemcitabine added to doxorubicin, bleomycin, and vinblastine for the treatment of de novo Hodgkin disease. Unacceptable acute pulmonary toxicity. *Cancer* 2003; 98(5):978-82.
71. De Pas T, Curigliano G, Franceschelli L, Catania C, Spagiani L, de Braud F. Gemcitabine induced systemic capillary leak syndrome. *Ann Oncol* 2001; 12(11):1651-52.
72. Linskens RK, Golding RP, van Groeningen CJ, Giaccone G: Severe acute lung injury induced by gemcitabine. *Neth J Med* 2000; 56(6):232-235.
73. Fung MC, Storniolo AM, Nguyen B, Arning M, Brookfield W, Vigil J: A review of haemolytic uremic syndrome in patients treated with gemcitabine therapy. *Cancer* 1999; 85(9):2023-2032.
74. Attar EC, Ervin T, Janicek M, Deykin A and Godleski J. Side effects of chemotherapy. Case 3: Acute interstitial pneumonitis related to gemcitabine. *J Clin Oncol* 2000; 18(3):697-698.
75. Pavlakis N, Bell DR, Millward MJ, Levi JA. Fatal pulmonary toxicity resulting from treatment with gemcitabine. *Cancer* 1997; 80(2):286-291.
76. Vansteenkiste JF, Bomans P, Ver Beken EK. Fatal pulmonary veno-occlusive disease possibly related to gemcitabine. *Lung Cancer* 2001; 31:81-85.
77. Vander Els NJ, Miller V. Successful treatment of gemcitabine pulmonary toxicity with a brief course of oral corticosteroid therapy. *Chest* 1998; 114(6):1779-81.
78. Helman DL, Byrd JC, Ales NC, Shorr AF. Fludarabine related pulmonary toxicity. *Chest* 2002; 121:1-8.
79. Frame JN, Dahut WL, Crowley S. Fludarabine and acute tumor lysis in chronic lymphocytic leukaemia. *N Engl J Med* 1992; 327(19):1396-97.
80. Trojan A, Meier R. Eosinophilic pneumonia after administration of fludarabine for the treatment of non-Hodgkin's lymphoma. *Ann Hematol* 2002; 81(9):535-537.
81. Garg S, Garg MS, Basmaji N. Multiple pulmonary nodules: an unusual presentation of fludarabine pulmonary toxicity: case report and review of literature. *Am J Hematol* 2002; 70:241-245.
82. Figueredo AT, Jones G, Kay MJ, Higgins D, Young JEM. Kaposi's sarcoma of the lung. Remission followed by fatal pneumonitis after vinblastine and thoracic irradiation. *Acta Oncol* 1995; 34:532-533.
83. Cattan CE, Oberg KC. Vinorelbine tartrate-induced pulmonary edema confirmed on rechallenge. *Pharmacotherapy* 1999; 19: 992-994.
84. Kouroukis C, Hings I. Respiratory failure following vinorelbine tartrate infusion in a patient with non-small lung cancer. *Chest* 1997; 112:846-848.
85. Rowinsky EK, Donehower RC. Paclitaxel (TAXOL) *N Engl J Med* 1995; 332:1004-14.
86. Rowinsky EK, Eisenhauer EA, Chandhry V, Arbuch SG and Donehower RC: Clinical toxicities encountered with

- Paclitaxel. *Semin Oncol* 1993; 20:1-15.
87. Ramanathan R, Belani C, Reddy V. Transient pulmonary infiltrates: A hypersensitivity reaction to paclitaxel. (letter) *Ann Intern Med* 1996; 124(2):278.
 88. Goldberg HL, Vannice SB. Pneumonitis related to treatment with paclitaxel. *J Clin Oncol* 1995; 13: 534-535.
 89. Stemmer SM, Cagnoni PJ, Shpall EJ, Bearman SI, Matthes S, Dufton C, Day T, Taffs S, Hami L, Martinez C, Purdy MH, Arron J, Jones RB. High-dose paclitaxel, cyclophosphamide, and cisplatin with autologous hematopoietic progenitor-cell support: a case I trial. *J Clin Oncol* 1996; 14:1463-1472.
 90. Dimopoulos I, Galani H, Dafni U, Samakovli A, Rousos C, Dimopoulos MA. A prospective study of pulmonary function in patients treated with paclitaxel and carboplatin. *Cancer* 2002; 94(2):452-58.
 91. Read WL, Mortimer JE, Picus J. Severe interstitial pneumonitis associated with docetaxel administration. *Cancer* 2002; 94:847-853.
 92. Wang GS, Yang KY, Perng RP. Life threatening hypersensitivity pneumonitis induced by docetaxel. *Br J Cancer* 2001; 85(9):1247-50.
 93. Merad M, Le Cesne A, Baldeyrou P, Mesurolle B, Le Chevalier T. Docetaxel and interstitial pulmonary injury. *Ann Oncol* 1997; 8(2):191-194.
 94. Behrens RJ, Gulley JL, Dahut WL. Pulmonary toxicity during prostate cancer treatment with docetaxel and thalidomide. *Am J Ther* 2003; 10(3):228-232.
 95. Horne MK 3rd, Figg WD, Arlen P, Gulley J, Parker C, Lakhani N, Parnes H, Dahut WL. Increased frequency of venous thromboembolism with the combination of docetaxel and thalidomide in patients with metastatic androgen-independent prostate cancer. *Pharmacotherapy* 2003; 23(3):315-318.
 96. Piccart MJ, Gore M, Ten Bokkel-Huinink W, Van Oosterom A, Verweij J, Wanders J, Franklin H, Bayssas M, Kaye S. Docetaxel: an active new drug for treatment of advanced epithelial ovarian cancer. *J Natl Cancer Inst* 1995; 87:676-81.
 97. Semb KA, Aamdal S, Oian P. Capillary protein leak syndrome appears to explain fluid retention in cancer patients who receive doxetaxel treatment. *J Clin Oncol* 1998; 16:3426-3432.
 98. Piccart MJ, Klijn J, Paridaens R, Nooij M, Mauriac L, Coleman R, Bontenbal M, Awada A, Selleslags J, Van Vreckem A, Van Glabbeke M. Corticosteroids significantly delay the onset of docetaxel-induced fluid retention: final results of a randomised study of the European Organization for Research and Treatment of Cancer Investigational Drug Branch for Breast Cancer. *J Clin Oncol* 1997; 15:3149-3155.
 99. Mahmood T, Mudad R. Pulmonary toxicity to procarbazine. *Am J Clin Oncol* 2002; 2:187-188.
 100. Eisenbeis CF, Winn D, Poelman S, Polksy CV, Rubenstein SH, Olopade OI. A case of pulmonary toxicity associated with G-CSF and doxorubicin administration. *Ann Hematol* 2001; 80:121-123.
 101. Baselga J, Averbuch SD. ZD 1839 - IRESSA as an anti-cancer agent. *Drugs* 2000 60:33-40.
 102. Inoue A, Saijo Y, Maemondo M, Gomi K, Tokue Y, Kimura Y, Ebina M, Kiku chi T, Moriya T, Nukiwa T. Severe acute interstitial pneumonia and gefinitib. *Lancet* 2003; 361:137-139.
 103. Ieki R, Saitoh E, Shibuya M. Acute lung injury as a possible adverse drug reaction related with gefinitib. *Eur Respir J* 200; 22(1):179-181.
 104. Cappuzzo F, Bartolini S, Ceresoli ML, Tamperi S, Spreafico A, Lombardo L, Gregorc V, Toschi L, Calandri C, Villa E, Crinü L. Efficacy and tolerability of gefinitib in pretreated elderly patients with advanced non-small-cell lung cancer (NSCLC). *Br J Cancer* 2004; 90:82-86.
 105. Okamoto I, Fujii K, Matsumoto M. Diffuse alveolar damage after ZD-1839 therapy in a patient with non small cell lung cancer. *Lung Cancer* 2003; 40(3):339-42.
 106. Πάλλης ΑΓ, Μαυρουδής Δ, Μποζιονέλου Β, Ξενίδης Ν, Μηλάκη Γ, Βαρδάκης Ν, Γεωργούλιας Β. Χορήγηση ZD1839 ενός αναστολέα της τυροσινικής κινάσης του επιδερμικού αυξητικού παράγοντα, ως θεραπεία διάσωσης σε ασθενείς με εκτεταμένο μη-μικροκυτταρικό καρκίνο του πνεύμονα. Η εμπειρία της Ογκολογικής Κλινικής του Πανεπιστημιακού Νοσοκομείου Ηρακλείου. *Βήμα Κλινικής Ογκολογίας* 2002; 1(4):208-219
 107. FDA Drug Approval Summary. Gefinitib ZD 1839 (IRESSA) *The Oncologist* 2003; 8(4):303-306.
 108. Douer D, Estey E, Santillana S, Bennet JM, Lopez-Bernstein G, Boehm K, Williams T, on behalf of the ATRAGEN study group. Treatment of newly diagnosed and relapsed acute promyelocytic leukemia with intravenous liposomal all-trans retinoic acid. *Blood* 2001; 97(1):73-80.
 109. De Botton S, Dombret H, Sanz M, San Miguel J, Caillot D, Zittoun R, Gardembas M, Stamatoulas A, Conde E, Guerci A, Gardin C, Geiser K, Cony Makhoul D, Reman O, de la Serna J, Leflere F, Chomienne C, Chastang C, Degos L, Fenaux P, the European APL Group. Incidence, clinical features and outcome of all-trans-retinoic acid syndrome in 413 cases of newly diagnosed acute promyelocytic leukaemia. *Blood* 1998; 92(8):2712-18.

110. Gladwin MT, Yao XL, Cowan M, Huang XL, Schneider R, Grant LR, Logun C, Shalhamer JH. Retinoic acid reduces p11 protein levels in bronchial epithelial cells by a posttranslational mechanism. *Am J Physiol Lung Cell Mol Physiol* 2000; 279(6):L1103-L1109.
111. Nicolls MR, Terada LS, Tuder RM, Prindiville SA, Schwarz MI. Diffuse alveolar hemorrhage with underlying pulmonary-capillaritis in the Retinoic Acid Syndrome. *Am J Respir Crit Care Med* 1998; 158(4):1302-1305.
112. Tallman MS, Andersen JW, Schiffer CA, Appelbaum FR, Feusner JH, Ogden A, Shepherd L, Rowe JM, Francois C, Larson RS, Wiernik PH. Clinical description of 44 patients with acute promyelocytic leukaemia who developed the retinoic acid syndrome. *Blood* 2000; 95(1):90-95.
113. Im Jung J, Eun Choi J, Tai Hahn S, Ki Min C, Choo Kim C, Hee Park S. Radiologic features of all-trans-retinoic acid syndrome *AJR* 2002; 178:475-480.
114. Wiley JS, Firkin FC. Reduction of pulmonary toxicity by prednisolone prophylaxis during all-trans retinoic acid treatment of acute promyelocytic leukaemia. Australian Leukemia Study Group. *Leukemia* 1995; 9(5):774-778.
115. Saxon RR, Klein JS, Bar MH, Blanc P, Gamsu G, Webb WR, Aronson FR. Pathogenesis of pulmonary edema during interleukin-2 therapy: correlation of chest radiographic and clinical findings in 54 patients. *AJR* 1991; 156:281-5.
116. Mann H, Ward JH, Samlowski WE. Vascular leak syndrome associated with interleukin-2: chest radiographic manifestations. *Radiology* 1990; 176:191-94.
117. Dubinett SM, Huang M, Lichtenstein A, McBride WH, Wang J, Markowitz G, Kelley D, Grody WW, Mintz LE, Dhanani S. Tumor necrosis factor-alpha plays a central role in interleukin -2 induced pulmonary vascular leak and lymphocyte accumulation. *Cell Immunol* 1994; 157(1):170-80.
118. PJ Vogelzang, SM Bloomn, JW Mier, MB Atkins. Chest roentgenographic abnormalities in IL-2 recipients. Incidence and correlation with clinical parameters. *Chest* 1992; 101:746-752.
119. Κωσταδήμα Ε, Μανόγου Ε. Πλευριτίδες από φάρμακα. *Πνεύμων* 2000; 13:36-41.
120. Anderson P, Hoglund M, Rodger S. Pulmonary side effects of interferon - therapy in patients with haematological malignancies. *Am J Hematol* 2003; 73(1):54-58.
121. Chin K, Tabata C, Satake N, Nagai S, Moriyasu F, Kuno K. Pneumonitis associated with natural and recombinant interferon-alfa therapy for chronic hepatitis C. *Chest* 1994; 105:939-941.
122. Abi-Nassif S, Marck EJ, Fogel RB, Hallisey RK. Pegylated interferon and ribavirin-induced interstitial pneumonitis with ARDS. *Chest* 2003; 124:406-410.
123. Ogata K, Koga T, Yagawa K: Interferon-related bronchiolitis obliterans organizing pneumonia. *Chest* 1994; 106(2):612-613.
124. Takeda A, Ikegami K, Kimura Y, Ogawa H, Kanazawa S, Nakamura H. Pleural effusion during interferon treatment for hepatitis C. *Hepato-Gastroenterology* 2000; 47:1431-1435.
125. M Katoh, M Takada, M Nakayama, M Umeda. Pulmonary toxicity during granulocyte colony stimulating factor administration and neutrophils. *Chest* 1996; 110:576-577.
126. Niitsu N, Iki S, Muroi K, Motomura S, Murakami M, Takeyama H, Ohsaka A, Urabe A. Interstitial pneumonia in patients receiving GCSF during chemotherapy. Survey in Japan 1991-1996. *Br J Cancer* 1997; 76:1661-66.
127. Busmanis IA, Beaty AE, Bassar RL. Isolated pleural effusion with hematopoietic cells of mixed lineage in a patient receiving granulocyte-colony-stimulating factor after high-dose chemotherapy. *Diagn Cytopathol* 1998; 18(3):204-7.
128. Demuynck H, Zachee P, Verhoef GE, Schetz M, Van den Berghe G, Lauwers P, Boogaerts MA. Risks of rhG-CSF treatment in drug-induced agranulocytosis. *Ann Hematol* 1995; 70(3):143-147.
129. Azoulay E, Attalah H, Harf A, Schlemmer B, Delclaux C. Granulocyte colony-stimulating factor or neutrophil-induced pulmonary toxicity: myth or reality?: Systematic review of clinical case reports and experimental data. *Chest* 2001; 120(5):1695-1701.
130. Couderc LJ, Stelianides S, Frachon I, Stern M, Epardeau B, Baumelou E, Caubere I, Hermine O. Pulmonary toxicity of chemotherapy and G-GM-CSF: Report of 5 cases. *Respir Med* 1999; 93(1):65-68.
131. Van Woensel JBM, Knoester H, Leeuw JA, van Aalderen WM. Acute respiratory insufficiency during doxorubicin-cyclophosphamide and GCSF therapy. *Lancet* 1994; 344:759-60.
132. Iki S, Yoshinaga K, Ohbayashi Y, Urabe A. Cytotoxic drug-induced pneumonia and possible augmentation by G-CSF. Clinical attention. *Ann Hematol* 1993; 66(4): 217-218.

Η πολυσωματοκαταγραφική μελέτη ύπνου (πολυνυπνογραφία) και το εργαστήριο ύπνου

Εμμ. Βαγιάκης

Κλινική Εντατικής Θεραπείας Πανεπιστημίου Αθηνών, Εργαστήριο 'Υπνου, Νοσοκομείο "Ο Ευαγγελισμός"

Λέξεις κλειδιά: Εργαστήριο ύπνου, πολυσωματοκαταγραφική μελέτη ύπνου, τιτλοποίηση πιέσεως CPAP, ανάλυση καταγραφής ύπνου, ενδείξεις μελέτης ύπνου

ΠΕΡΙΛΗΨΗ. Το εργαστήριο ύπνου περιλαμβάνει ήσυχο, μονοχλινό δωμάτιο που κοιμάται ο εξεταζόμενος και ξεχωριστό χώρο που βρίσκονται τα καταγραφικά μηχανήματα και το προσωπικό που παρακολουθεί την καταγραφή. Από τους διάφορους τύπους μελέτης ύπνου η κλασσική πολυσωματοκαταγραφική μελέτη, δηλαδή αυτή που καταγράφει, εκτός των αναπνευστικών παραμέτρων, και τις παραμέτρους σταδιοποίησης του ύπνου (το ηλεκτροεγκεφαλογράφημα, το ηλεκτρομυογράφημα και το ηλεκτροοφθαλμογράφημα) είναι η πιο αξιόπιστή εξέταση και θεωρείται ως η εξέταση αναφοράς. Το αποτέλεσμα της μελέτης ύπνου δεν πρέπει να βασίζεται στην αυτόματη ανάλυση των δεδομένων από το πρόγραμμα ανάλυσης αλλά χρειάζεται οπωσδήποτε διόρθωση της αυτόματης ανάλυσης από έμπειρο προσωπικό για την αποφυγή σοβαρών σφαλμάτων. Η συνταγογράφηση της συσκευής CPAP προϋποθέτει μελέτη ύπνου με τη συσκευή για την τιτλοποίηση της κατάλληλης πίεσης. Η χρήση της συσκευής μια νύχτα στο νοσοκομείο είναι χρήσιμη και για την ασφάλεια του ασθενούς διότι αν εμφανιστούν επιπλοκές θα επιλυθούν σε ελεγχόμενο και ασφαλή χώρο. Η πολυσωματοκαταγραφική μελέτη ύπνου στην Ελλάδα, σύμφωνα με το ΦΕΚ που την προσδιορίζει, περιλαμβάνει και τις παραμέτρους σταδιοποίησης του ύπνου (ηλεκτροεγκεφαλογράφημα, κ.λπ.). Η μελέτη πρέπει να εκτελείται σε εξειδικευμένες κλινικές νοσοκομείων που διαθέτουν την απαραίτητη υποδομή και στελεχώνονται από ιατρούς με αποδεδειγμένη εμπειρία στο συγκεκριμένο αντικείμενο. Η αποδεδειγμένη εμπειρία, διεθνώς, προϋποθέτει εκπαίδευση έξι ως 18 μηνών. Πνεύμων 2004, 17(2):138-144.

Αλληλογραφία:
Εμμ. Βαγιάκης
Κλινική Εντατικής Θεραπείας,
ΓΝΑ "Ο Ευαγγελισμός",
Υψηλάντου 45, Αθήνα 106 76

ΤΟ ΕΡΓΑΣΤΗΡΙΟ ΥΠΝΟΥ

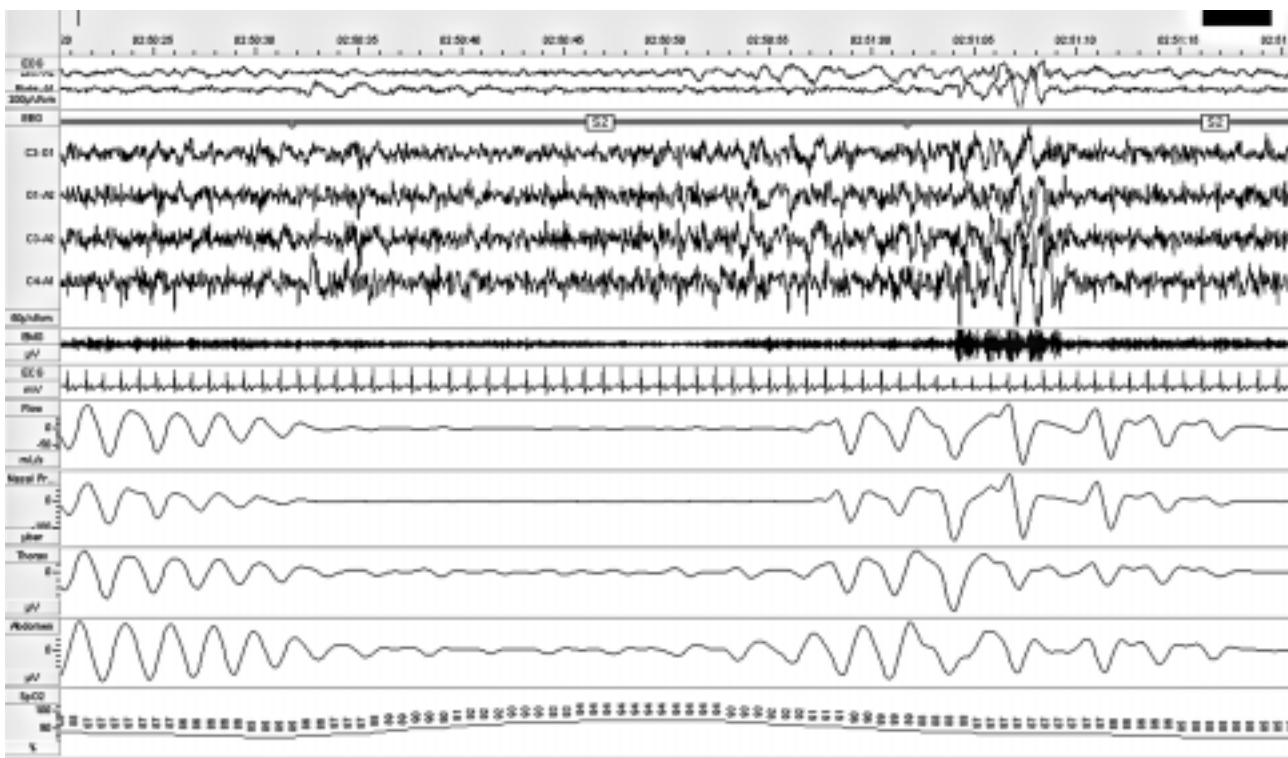
Το εργαστήριο ύπνου είναι ο χώρος που πραγματοποιείται η μελέτη ύπνου, η οποία κατά κανόνα γίνεται κατά κανόνα κατά τη διάρκεια του

Άλλο μειονέκτημα της απλοποιημένης μελέτης ύπνου, είναι ότι δεν μπορεί να χρησιμοποιηθεί για τη διάγνωση άλλων παθήσεων που προκαλούν υπνηλία (ναρκοληψία, νυχτερινές μυοκλονίες, σύνδρομο αυξημένων αντιστάσεων των ανώτερων αεραγωγών) λόγω περιορισμένου αριθμού καναλιών καταγραφής των απαραίτητων παραμέτρων^{5,6}. Στο σύνδρομο αυξημένων αντιστάσεων των ανώτερων αεραγωγών (upper airway resistance), δεν έχουμε τις τυπικές άπνοιες ή υπόπνοιες. Η αυξημένη όμως εισπνευστική προσπάθεια που απαιτείται για τη δίοδο του αέρα από τους μισοφραγμένους αεραγωγούς προκαλεί ΗΕΓ γραφικές αφυπνίσεις.

Κατά τον τελευταίο και επικρατέστερο ορισμό, υπόπνοια είναι η μείωση της ροής του αέρα ή των αναπνευστικών κινήσεων κατά 30% τουλάχιστον επί 10 sec ή και περισσότερο που οδηγεί σε αποκορεσμό της αιμοσφαιρίνης κατά 4% τουλάχιστον.⁹

Επειδή η ανάλυση της καταγραφής είναι εργώδης διαδικασία, όλα τα καταγραφικά μηχανήματα έχουν προγράμματα αυτόματης ανάλυσης μέσω ηλεκτρονικού υπολογιστή, αν και δυστυχώς, κανένα μέχρι στιγμής πρόγραμμα δεν είναι πλήρως οξιόπιστο. Τα συχνότερα λάθη της αυτόματης ανάλυσης αφορούν κυρίως στον διαχωρισμό του ύπνου REM από την εγρήγορση και τη διάκριση των κεντρικών από τις αποφρακτικές άπνοιες. Για τους λόγους αυτούς, η αυτόματη ανάλυση χρειάζεται οπωσδήποτε διορθώσεις (manual scoring). Ιδιαίτερη προσοχή χρειάζεται σε ήπιες και μέσης βαρύτητας περιπτώσεις και σε ασθενείς με χρόνια αναπνευστική ανεπάρκεια, οι οποίοι, λόγω χαμηλού κορεσμού της αιμοσφαιρίνης, μπορούν λανθασμένα να εκληφθούν ως πάσχοντες.

Μια μελέτη ύπνου, οφείλει στο πόρισμά της να αναφέρει ποιές παράμετροι μετρήθηκαν.¹ Ένα δείγμα της



Εικόνα 1. Τυπική εικόνα άπνοιας στην πολυσωματοκαταγραφική μελέτη ύπνου. Στην παραπάνω εικόνα απεικονίζονται κατά σειρά το οφθαλμογράφημα του αριστερού και δεξιού οφθαλμού, τηλεκτροεγκεφαλογράφημα τεσσάρων απαγωγών, το ηλεκτρομυογράφημα των υπογενειδίων, το ηλεκτροκαρδιογράφημα, η ροή αέρος από τη μύτη και το στόμα, οι κινήσεις του θώρακα και της κοιλιάς, ο κορεσμός της αιμοσφαιρίνης και το οξυληπτό. Ο ασθενής εμφανίζει αποφρακτικού τύπου άπνοιες και παράδοξη αναπνοή (αντίθετες κινήσεις θώρακος- κοιλιάς) κατά την διάρκεια των απνοιών. Η άπνοια τελειώνει με ηλεκτροεγκεφαλική αφύπνιση.

καταγραφής όπου φαίνονται τα παθολογικά ευρήματα και ιδίως οι καρδιακές αρρυθμίες, είναι χρήσιμο να συνοδεύει το πόρισμα. (βλέπε δείγματα καταγραφής, Εικόνα 1).

ΜΕΛΕΤΗ ΥΠΝΟΥ ΓΙΑ ΤΗΝ ΤΙΤΛΟΠΟΙΗΣΗ (TITRATION) ΤΗΣ ΠΙΕΣΗΣ CPAP

Εφόσον η πρώτη μελέτη ύπνου επιβεβαιώσει τη διάγνωση του συνδρόμου άπνοιας στον ύπνο και ο θεράπων ιατρός εκτιμήσει ότι ο ασθενής έχει ένδειξη να αντιμετωπισθεί με συσκευή συνεχούς θετικής πίεσης εισπνοής (continuous positive airway pressure, CPAP) απαιτείται να πραγματοποιηθεί μια δεύτερη μελέτη ύπνου για δοκιμή εφαρμογής της CPAP. Στη δεύτερη αυτή μελέτη, ο ασθενής συνδέεται με το καταγραφικό μηχάνημα και φοράει τη συσκευή CPAP.

Η πολυσωματοκαταγραφική μελέτη ύπνου είναι στην περίπτωση αυτή απαραίτητη διότι πρέπει να ελεγχθεί εάν οι άπνοιες διορθώνονται σε όλα τα στάδια και θέσεις του ύπνου και να επιβεβαιωθεί ότι αποκαθίσταται η αρχιτεκτονική του ύπνου χωρίς ηλεκτρογκεφαλογραφικές αφυπνίσεις^{2,3}. Πράγματι, αφυπνίσεις μπορεί να εμφανίζονται παρά τη διόρθωση των απνοιών και των υποξαφιών λόγω έντονων εισπνευστικών προσπαθειών. Η καταγραφή παρακολουθείται και γίνεται βαθμαία αύξηση της πίεσης της CPAP μέχρις ότου να εξαφανισθούν οι άπνοιες, οι υπόπνοιες και το ροχαλητό σε όλες τις θέσεις και τα στάδια του ύπνου. Με την αποκατάσταση της αναπνοής αποκαθίσταται και ο ύπνος και δεν παρατηρούνται ηλεκτρογκεφαλογραφικές αφυπνίσεις. Η χαμηλότερη πίεση με την οποία επιτυγχάνονται τα παραπάνω, αναφέρεται ως η άριστη πίεση (optimum pressure) και αυτή χρησιμοποιείται για την κατ' οίκον θεραπεία.

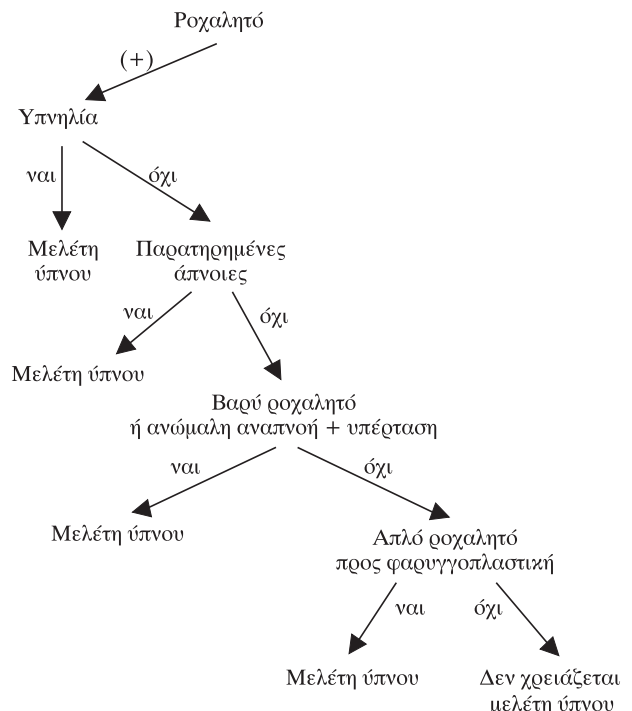
Η χρησιμοποίηση αυτόματων συσκευών που ρυθμίζουν μόνες τους την πίεση σε συνδυασμό με παρακολούθιμενη ή μη παρακολουθίμενη μελέτη ύπνου δεν είναι αποδεκτή μέθοδος για την τιτλοποίηση (titration) της κατάλληλης πίεσης της συσκευής CPAP.⁷ Πάντα η τιτλοποίηση της πίεσης πρέπει να γίνεται από τον ειδικό, με άμεση παρακολούθηση της πολυσωματοκαταγραφικής μελέτης ύπνου.

ΕΝΔΕΙΞΕΙΣ ΓΙΑ ΤΗΝ ΠΟΛΥΣΩΜΑΤΟΚΑΤΑΓΡΑΦΙΚΗ ΜΕΛΕΤΗ ΥΠΝΟΥ¹⁻³

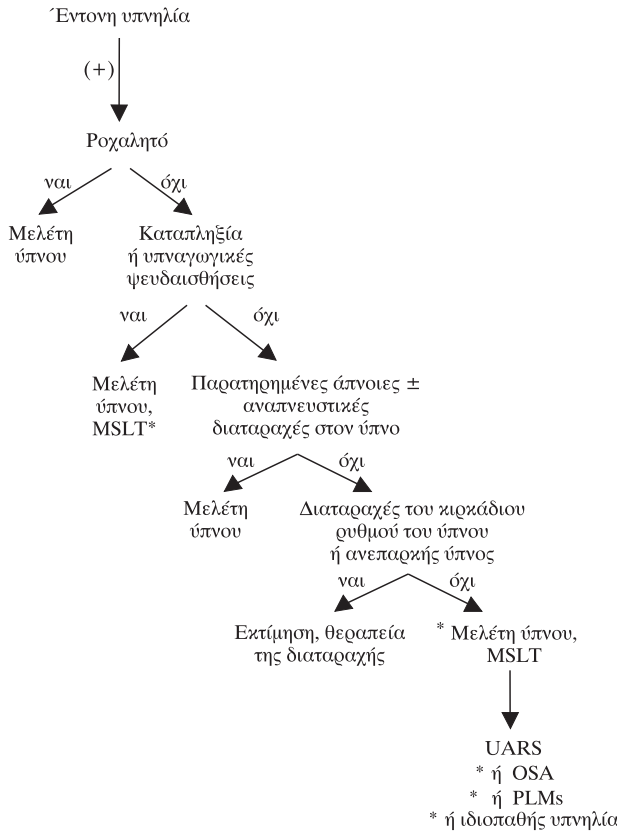
Η πολυσωματοκαταγραφική μελέτη ύπνου ενδείκνυται για τη διάγνωση των αναπνευστικών διαταραχών που σχετίζονται με τον ύπνο. Υποψήφιοι είναι: α) ασθενείς με συμπτώματα ενδεικτικά της υπνικής άπνοιας, όπως χρόνιο ροχαλητό με παύσεις, αφυπνίσεις με αίσθημα ασφυξίας, νυχτερινή συχνούροια, αυξημένες νυχτερινές εφιδρώσεις, αναγωγές γαστρικού περιεχομένου κατά τον ύπνο, πρωινοί πονοκέφαλοι και καρδιβαρία, ημερήσια υπνηλία, μείωση μνήμης, προσοχής και παρατηρητικότητας, β) ασθενείς με χρόνια αναπνευστική ανεπάρκεια, οι οποίοι παρουσιάζουν δεξιά καρδιακή ανεπάρκεια ή πολυευθρούμα που δεν δικαιολογείται από την ημερήσια PaO_2 ($\text{PaO}_2 > 55 \text{ mmHg}$), γ) ασθενείς που παρουσιάζουν κατά τη διάρκεια του ύπνου εναλλαγές βραδυκαρδίας-ταχυκαρδίας, διαταραχές της κολποκοιλιακής αγωγιμότητας και έκτοπες κοιλιακές συστολές που είναι περισσότερες στον ύπνο από ότι στην εγρήγορση και η δ) ασθενείς με υπέρταση και ροχαλητό ακόμα και αν ελλείπει οποιοδήποτε άλλο σύμπτωμα.

Για την καλύτερη κατανόηση των ενδείξεων υλοποίησης της μελέτης ύπνου, θεωρούμε χρήσιμη την παράθεση των παρακάτω δύο αλγορίθμων

Αλγόριθμος Α: Ξεκινώντας από το ροχαλητό



Αλγόριθμος Β: Ξεκινώντας από την υπνηλία



***MSLT (multiple sleep latency test):** Εξέταση κατά την οποία ο ασθενής παραμένει στο εργαστήριο ύπνου κατά τη διάρκεια της ημέρας και αφήνεται ήρεμος επί 20 λεπτά να κοιμηθεί. Αυτό επαναλαμβάνεται 4 φορές, κάθε 2 ώρες π.χ. 8:00 π.μ., 10:00 π.μ., 12:00 το μεσημέρι και 02:00 μ.μ.

***UARS (upper-airway resistance syndrome):** Εμφάνιση υπνηλίας σε άτομα που ροχαλίζουν λόγω ηλεκτροεγκεφαλικών αφυπνίσεων που οφείλονται σε έντονες εισπνευστικές προσπάθειες χωρίς να υπάρχουν οι τυπικές άπνοιες και υπόπνοιες

***PLMs (periodic limb movements):** Περιοδικές κινήσεις των ποδιών που προκαλούν ηλεκτροεγκεφαλογραφικές αφυπνίσεις και πιθανόν υπνηλία.

***OSA (obstructive sleep apnea).**

ΘΕΣΜΙΚΟ ΠΛΑΙΣΙΟ ΛΕΙΤΟΥΡΓΙΑΣ ΕΡΓΑΣΤΗΡΙΩΝ ΥΠΝΟΥ ΣΤΗΝ ΕΛΛΑΔΑ

Η πολυσωματοκαταγραφική μελέτη ύπνου (standard polysomnography) έλαβε το όνομα αυτό και θεσμοθετήθηκε το 1991 (ΦΕΚ 156Α Π.Δ. 427 11/10/1991), είχε δε κοστολογηθεί στις 50.000 δραχμές (147 Ευρώ), πο-

σόν που παραμένει έως σήμερα. Στην πρώτη αυτή εκδοχή συμπεριελάμβανε και μέτρηση της οισοφάγειας πίεσης. Το 1994 το Κ.Ε.Σ.Υ. (Αριθμός Απόφασης 5 της 105^{ης} ολομέλειας 4/3/1994) αποφάσισε ότι: Οι εξετάσεις πολυσωματοκαταγραφικής μελέτης ύπνου, θα πρέπει να εκτελούνται σε εξειδικευμένες κλινικές νοσοκομείων που διαθέτουν την απαραίτητη υποδομή, από Ειδικούς Πνευμονολόγους με ανάλογη εμπειρία.

Με την απόφαση 16 της ολομέλειας του Κ.Ε.Σ.Υ. 20-7-1995 που ισχύει έως σήμερα, η πολυσωματοκαταγραφική μελέτη ύπνου περιλαμβάνει:

- Ηλεκτροεγκεφαλογράφημα δυο απαγωγών
- Ηλεκτροοφθαλμογράφημα δυο απαγωγών
- Ηλεκτρομυογράφημα υπογενειδίου μυός
- Ηλεκτρομυογράφημα πρόσθιου κνημιαίου μυός
- Ηλεκτροκαρδιογράφημα μιας απαγωγής
- Ροή αέρος στη μύτη και στο στόμα
- Κίνηση θωρακικού τοιχώματος
- Κίνηση κοιλιακού τοιχώματος
- Κορεσμός αιμοσφαιριδίνης σε οξυγόνο.

Στην ίδια απόφαση αναφέρεται ότι: "Η πολυσωματοκαταγραφική μελέτη ύπνου να γίνεται σε εξειδικευμένες κλινικές νοσοκομείων που διαθέτουν την απαραίτητη υποδομή" αλλά τώρα "από έμπειρους ιατρούς πνευμονολόγους ή νευρολόγους ή ψυχίατρους ή νευρολόγους ψυχίατροι". Επίσης τονίζει πάλι ότι: "Οι γιατροί που ασχολούνται με την μελέτη ύπνου πρέπει να έχουν αποδεδειγμένη εμπειρία στο συγκεκριμένο αντικείμενο". Δυστυχώς μέχρι σήμερα, παρά τις προσπάθειες των αρμοδίων Ιατρικών Εταιρειών Ύπνου και τις προτάσεις προς το ΚΕΣΥ, δεν έχει ξεκαθαριστεί ποιά είναι η "αποδεδειγμένη εμπειρία στο συγκεκριμένο αντικείμενο" ούτε ποιά είναι "η απαραίτητη υποδομή". Στο πλαίσιο αυτής της σύγχυσης λειτουργούν "εργαστήρια" ύπνου, κυρίως στον ιδιωτικό τομέα, από πνευμονολόγους, χωρίς την κατάλληλη εξειδικευση στο συγκεκριμένο αντικείμενο, χωρίς ούτε την κατάλληλη υποδομή χώρων ούτε καταγραφικών μηχανημάτων.

Οι απαντήσεις των εξετάσεων τέτοιων εργαστηρίων δίδονται στους ασθενείς χωρίς να προηγηθεί ανάλυση της καταγραφής (scoring) και συχνά οι εξετάσεις γίνονται με καταγραφή μόνον των παραμέτρων του αναπνευστικού (παράτυπο, διότι η περιγραφή της εξετάσεως στο ΦΕΚ προβλέπει και ηλεκτροεγκεφαλογράφημα, ηλε-

κτροοφθαλμογράφημα και ηλεκτρομυογράφημα και βάσει αυτής υπογράφονται οι συμβάσεις με τα ασφαλιστικά ταμεία).

Η αδυναμία των Πευμονολόγων και των θεσμικών τους οργάνων να επιβάλλουν ξεκάθαρο θεσμικό πλαίσιο (όπως π.χ. στην απαραίτητη εκπαίδευση) έχει οδηγήσει τις ιατρικές εταιρείες άλλων ειδικοτήτων, κυρίως των ατορινολαρυγγολόγων, να διεκδικούν το δικαίωμα πραγματοποίησης μελετών ύπνου.

Η γνώμη όλων σχεδόν των ειδικών στην Ελλάδα αλλά και παγκοσμίως, είναι ότι για την ανάληψη ευθύνης γνωμάτευσης των μελετών ύπνου και χειρισμό των ασθενών αυτών είναι απαραίτητη τουλάχιστον εξάμηνη εκπαίδευση, μετά την ειδικότητα, σε ειδικό κέντρο ύπνου. Σε χώρες του εξωτερικού η εκπαίδευση αυτή είναι από 6 έως 18 μήνες (π.χ. Γερμανία 18 μήνες) και συχνά απαιτούνται εξετάσεις για την αναγνώριση της (π.χ. ΗΠΑ).

Ιδιαίτερα χρήσιμες πληροφορίες μπορεί να βρει κανείς στο κείμενο της American Academy of Sleep Medicine, με τίτλο "Standards for accreditation of a sleep-related breathing laboratory" έκδοση Μαρτίου 2002 (e-mail: aasm@aasmnet.org).

Τέλος, η ανάληψη δαπάνης από Ασφαλιστικούς φορείς της προμήθειας συσκευών CPAP έγινε με απόφαση του Κ.Ε.Σ.Υ το 1991 (Αριθμός Απόφασης 17 της 90^{ης} ολομέλειας 5/12/1991) και με υπουργική απόφαση που επακολούθησε, στην απόφαση μεταξύ άλλων αναφέρεται ότι: "Λόγω του υψηλού κόστους της συσκευής, η γνωμάτευση για τη χρήση CPAP πρέπει να συνοδεύεται από αναλυτική έκθεση από την πρώτη και δεύτερη πολυσωματοκαταγραφική μελέτη ύπνου στην οποία θα είναι εμφανής η σταδιοποίηση του ύπνου, ο ποσοτικός προσδιορισμός της αναπνευστικής λειτουργίας και η διόρθωση των διαταραχών με τη χρήση της συσκευής CPAP".

SUMMARY

Polysomnography sleep study and the sleep laboratory

Vagiakis Em.

The sleep laboratory consists of the patient testing area, the attending personnel and the recording apparatus. Among the various types of sleep studies, standard polysomnography, which records parameters of sleep and respiration, is considered as the gold standard. Manual scoring is necessary, additional to the automated scoring in order to avoid serious mistakes. Before the use of CPAP at home, a sleep study titration of the optimum pressure and control of possible side effects should be performed. In Greece, polysomnography obligatorily includes parameters of sleep and respiration. The sleep laboratories must reside in hospitals and the physician running a sleep lab must have a proved training and experience in this field. Pneumon 2004; 17(2):138-144.

Key words: *Sleep laboratory, polysomnography, CPAP titration, sleep study, manual scoring, sleep study, indications*

ΒΙΒΛΙΟΓΡΑΦΙΑ

1. American Thoracic Society. Medical Section of the American Lung Association. Indications and Standards for Cardiopulmonary Sleep Studies. Am Rev Respir Dis 1989;559-568
2. Practice Parameters for the Indications for Polysomnography and Related Procedures. American Sleep Disorders Association Standards of Practice Committee. Sleep 1997; 20(6):406-422.
3. Chesson AL Jr., Ferber RA, Fry JM et al. The Indica-tions for Polysomnography and Related Procedures. An American Sleep Disorders Association Review. Sleep 1997; 20(6):423-487.
4. Sleep-Related Breathing Disorders in Adults. Recom-mendations for Syndrome Definition and Measurement Techniques in Clinical Research. American Academy of Sleep Medicine. Sleep 1999; 22(5):667-689.
5. American Sleep Disorders Association Standards of Practice: Practice parameters for the use of portable re-cording in the assessment of obstructive sleep apnea.

- Sleep 1994; 17:372-377.
6. Ferber R, Millman R, Coppola M, et al. American Sleep Disorders Association Standards of Practice: Portable recording in the assessment of obstructive sleep apnea. Sleep 1994; 17:378-392.
 7. Berry RB, Parish JM, Hartsek M, et al. The use of autotitrating continuous positive airway pressure for treatment of adult obstructive sleep apnea. An American Academy of Sleep Medicine Review. Sleep 2002; 25:148-73.
 8. Rechtschaffen A, Kales A. A manual of standardized terminology, techniques and scoring systems for sleep stages of human subjects. Washington, DC. National Institute of Health 1968; Publ No 204.
 9. Meoli AL, Casey KR, et al. Hypopnea in Sleep-Disordered Breathing in Adults. Sleep 2001; 24(4):469-70.

Ρύθμιση της αλλεργίας και του άσθματος από τους υποπληθυσμούς Vβ των T-λεμφοκυττάρων

Π. Μπακάκος,
Γ. Χειλάς

Κέντρο Αναπνευστικής Ανεπάρκειας, Π.Γ.Ν.Ν.Θ.Α
“ΣΩΤΗΡΙΑ”

Λέξεις κλειδιά: T-λεμφοκύτταρα, Vβ-υποπληθυσμοί, άσθμα, αλλεργία

ΠΕΡΙΛΗΨΗ. Ο ρόλος των T-λεμφοκυττάρων στη ρύθμιση της παραγωγής των αντισωμάτων είναι καλά τεκμηριωμένος, και τώρα πλέον αντιλαμβανόμαστε με ποιό τρόπο τα ειδικά T-λεμφοκύτταρα συνεργάζονται με τα ειδικά B-λεμφοκύτταρα. Τα T-κύτταρα διαθέτουν πολύ ακριβή συστήματα αντιγονικής αναγνώρισης και αναγνωρίζουν τα αντιγόνα μέσω ενός υποδοχέα, του υποδοχέα των T-κυττάρων. Ο υποδοχέας αυτός αποτελείται από δυο αλυσίδες α- και β-. Είναι γνωστό ότι, μέσω της παραγωγής κυτταροκινών, τα T-λεμφοκύτταρα παίζουν σημαντικό ρόλο στη ρύθμιση της φλεγμονής των αεραγωγών στο βρογχικό άσθμα. Μελέτες σε πειραματόζωα και σε ανθρώπους σχετικά με τη λειτουργικότητα υποπληθυσμών T-λεμφοκυττάρων, όπως αυτοί καθορίζονται από τη β-αλυσίδα του υποδοχέα τους, έχουν δείξει οι υπάρχουν λειτουργικές διαφορές μεταξύ αυτών των υποπληθυσμών. Στον ανθρώπινο οργανισμό, η ανάλυση της χρησιμοποίησης των υποπληθυσμών των T-λεμφοκυττάρων σε περιοχές φλεγμονής, όπως οι αεραγωγοί, μπορεί να ρίξει φως στους μηχανισμούς οι οποίοι οδηγούν στην παθογένεια της φλεγμονής. Αυτές οι μελέτες προσφέρουν περαιτέρω ενθάρρυνση σε εκείνους, που πιστεύουν στη σημασία των T-λεμφοκυττάρων στην παθογένεση του άσθματος και δημιουργούν νέες προοπτικές στην έρευνα της φλεγμονής και των υποκείμενων μηχανισμών της. *Πνεύμων 2004, 17(2):145-149.*

Ο ρόλος των T-λεμφοκυττάρων στη ρύθμιση της παραγωγής των αντισωμάτων είναι καλά τεκμηριωμένος, και τώρα πλέον αντιλαμβανόμαστε πολλά σχετικά με το πώς τα ειδικά για ένα αλλεργιογόνο T-λεμφοκύτταρα αλληλεπιδρούν με τα ειδικά B-λεμφοκύτταρα, οδηγώντας στην παραγωγή της IgE^{1,2}.

Πιο αναλυτικά, υπάρχουν ισχυρές ενδείξεις ότι το άσθμα χαρακτηρίζεται από αυξημένους αριθμούς ενεργοποιημένων T-λεμφοκυττάρων στο βρογχικό βλεννογόνο και στο βρογχοκυψελιδικό έκπλυμα(BAL)^{3,4}. Όπως ακριβώς η IL-4 εμπλέκεται σε αλλαγή ισοτύπων προς την IgE, τα T-λεμ-

Αλληλογραφία:
Π. Μπακάκος
Κέντρο Αναπνευστικής Ανεπάρκειας Ν.Ν.Θ.Α.
Μεσογείων 152, Αθήνα

φοκύτταρα παράγουν έναν αριθμό άλλων κυτταροκινών οι οποίες εμπλέκονται στην παθογένεση της φλεγμονής των αεραγωγών.

Ειδικότερα, η IL-5 είναι μια κρίσιμη κυτταροκίνη για τη διαφοροποίηση, ενεργοποίηση και επιβίωση των ηωσινοφίλων⁵. Η IL-5 καθώς και η mRNA έκφρασή της αυξάνονται στους αεραγωγούς των ασθματικών^{6,7}, ενώ η εισπνοή ανασυνδυασμένης ανθρώπειας IL-5 προκαλεί ηωσινοφίλα στα πτύελα και αυξημένη μη ειδική βρογχική υπεραντιδραστικότητα στους ασθματικούς⁸.

Η κυτταροκίνη των T-λεμφοκυττάρων ιντερφερόντη γ (IFN-γ) αναστέλλει τις δράσεις της IL-4 στα T- και B- λεμφοκύτταρα⁹, αλλά έχει προφλεγμονώδεις δράσεις στα μακροφάγα, ηωσινόφιλα, ενδοθηλιακά κύτταρα και σε άλλα συστατικά των αεραγωγών¹⁰⁻¹².

Αν και η IFN-γ θεωρήθηκε πως ήταν η γνήσια αντι-αλλεργική κυτταροκίνη, και οτι η αλλεργία και το άσθμα πιθανώς να οφείλονται σε μείωση στην παραγωγή της, στην πραγματικότητα τα T-λεμφοκύτταρα, στο BAL ασθενών με άσθμα, έχουν μία αυξημένη ικανότητα για παραγωγή IFN-γ¹³ και η θεραπεία με υποδερμική ή εισπνεόμενη ανασυνδυασμένη IFN-γ δεν έχει κανένα ευεργετικό αποτέλεσμα στο κορτικοεξαρτώμενο άσθμα, αν και μειώνει την ηωσινοφίλα στο αίμα¹⁴.

Όταν μελετάμε το ρόλο των T-λεμφοκυττάρων στο άσθμα, είναι σημαντικό να θυμόμαστε οτι τα T-κύτταρα διαθέτουν πολύ ακριβή συστήματα αντιγονικής αναγνώρισης. Τα T-λεμφοκύτταρα αναγνωρίζουν τα αντιγόνα μέσω ενός υποδοχέα, του υποδοχέα των T-κυττάρων (T-cell receptor-TCR) ο οποίος συνεργάζεται αυστηρά με τις γ, δ, ε και ζ αλυσίδες των CD3 μορίων επιφανείας και ο οποίος λειτουργεί ως ένας μετατροπέας σήματος στο εσωτερικό των T-κυττάρων. Οι TCRs είναι ετεροδιψερή αποτελούμενα είτε από α/β είτε από γ/δ αλυσίδες, κάθε μία κωδικοποιημένη (όπως ακριβώς οι ανοσοσφαιρίνες στα B-κύτταρα) από V, D, J, C {variable (V), diversity (D), joining (J), constant (C)} γονιδιακά τμήματα τα οποία υφίστανται σωματική μετάλλαξη κατά τη διάρκεια της εξέλιξης του T-κυττάρου¹⁵.

Οι αλυσίδες του CD3 δεν παρουσιάζουν διαφορές αμινοξέων σε διαφορετικά T-λεμφοκύτταρα κι έτσι δεν επηρεάζουν την ποικιλία τη σχετιζόμενη με τους TCRs. Τα Va και Vβ γονιδιακά τμήματα μπορούν να ομαδοποιηθούν σε οικογένειες, με βάση τις ομοιότητες της νουκλεοτιδικής αλληλουχίας και τα πρωτεΐνικά τους προϊό-

ντα μπορούν να ταυτοποιηθούν με αντισώματα ειδικά για τις οικογένειες αυτές. Μέχρι σήμερα, 30 Va και 24 Vβ οικογένειες έχουν ταυτοποιηθεί στον άνθρωπο. Κατά συνέπεια, η ποικιλία που παράγεται από τον τυχαίο συνδυασμό των Va και Vβ γονιδίων επιτρέπει τη δημιουργία 720 πιθανών ζευγών. Η ποικιλομορφία που απαιτείται για την αναγνώριση της πληθώρας των αντιγόνων αυξάνεται περαιτέρω με την ευκαμψία των δεσμών μεταξύ των γονιδιακών τμημάτων και την ποικιλία της περιοχής N (δηλαδή την προσθήκη νουκλεοτίδων που δεν ανήκουν στο γονιδίωμα στα σημεία σύνδεσης), η οποία συμβαίνει κατά τη διάρκεια της διαδικασίας της σωματικής μετάλλαξης. Η υπερομεταβλητότητα της V(D)J διαδικασίας οδηγεί σε μία σχεδόν αμετρητή κλίμακα πιθανών αλληλουχιών αμινοξέων στο σημείο αναγνώρισης του αντιγόνου και συνεπώς στην ικανότητα αναγνώρισης μιας σχεδόν ατελείωτης ποικιλίας αντιγόνων. Οι TCR α και β αλυσίδες έχουν έκαστη τοίχα σημεία επαφής με το σύμπλεγμα αντιγόνου –πεπτιδίου μεγίστου συμπλέγματος ιστοσυμβατότητας (MHC). Αυτές ονομάζονται περιοχές καθοριστικές της συμπληρωματικότητας (Complementarity Determining Regions-CDR). Οι CDR1 και CDR2 περιοχές συνδέονται με τις πολυμορφικές περιοχές του μορίου MHC, ενώ η περιοχή CD3 αποτελεί το σημείο σύνδεσης του αντιγόνου. Σε γενικές γραμμές, οι CDR1 και CDR2 περιοχές προέρχονται γενετικά από τις περιοχές του τμήματος V ενώ οι CDR3 περιοχές προέρχονται από τις περιοχές σύνδεσης Va –Ja και Vβ-Dβ-Jβ.

Η απάντηση των T-λεμφοκυττάρων ενός ατόμου στα αντιγόνα εξαρτάται από τους διαφορετικούς υποπληθυσμούς των T- κυττάρων, οι οποίοι είναι γνωστό ότι επηρεάζονται από τους απλότυπους HLA του ατόμου, αλλά και από περιβαλλοντικούς παράγοντες, όπως η έκθεση σε αντιγόνα ή υπεραντιγόνα¹⁶. Τα αντιγόνα που έχουν πολύ περιορισμένο εύρος επιπόπων, μπορεί να αναγνωριστούν από πολύ συγκεκριμένους TCRs.

Σε ένα μοντέλο αλλεργικού άσθματος στα ποντίκια, βρέθηκε οτι η ανοσολογική απάντηση αλλεργιογόνου OVA (ovalbumin) εμπλέκει κυρίως Vβ8 T-λεμφοκύτταρα (δηλαδή T-λεμφοκύτταρα που εκφράζουν στον υποδοχέα τους το Vβ8 γονίδιο) και λιγότερο Vβ2 T-λεμφοκύτταρα¹⁷⁻¹⁸. Στο μοντέλο αυτό, η in vitro παραγωγή της IgE από τα B-λεμφοκύτταρα ενεργοποιείται μόνο υπό την παρουσία των Vβ8 T-λεμφοκυττάρων. Αντίθετα, τα

Vβ2 T-λεμφοκύτταρα, όχι μόνο δεν διεγείρουν, αλλά φαίνεται οτι μπορεί και να αναστέλουν την παραγωγή της IgE¹⁷. Επιπρόσθετα, παθητική μεταφορά ενεργοποιημένων Vβ8 T-λεμφοκυττάρων σε υγιή μη ευασθητοποιημένα ποντίκια προκαλεί παραγωγή της ειδικής IgE *in vivo*¹⁸. Στο ίδιο πειραματικό μοντέλο, άλλοι ερευνητές αργότερα βρήκαν οτι θεραπεία με αντι-Vβ8 αντισώματα αναστέλλει την ηωσινοφιλική διήθηση και την υπεραντιδραστικότητα των αεραγωγών¹⁹. Τα ευρήματα αυτών των μελετών δείχνουν το σημαντικό ρόλο των Vβ8 T-λεμφοκυττάρων στη σύνθεση της IgE στα ποντίκια και επιβεβαιώνουν τη σημασία των T-λεμφοκυττάρων στην αλλαγή ισοτύπου προς την IgE. Ωστόσο, δημιουργείται εύλογα το ερώτημα γιατί T-λεμφοκύτταρα που αναγνωρίζουν διαφορετικούς επίτοπους του ιδίου μορίου διαφέρουν στην ικανότητά τους να ελέγχουν την παραγωγή της IgE. Μια πιθανή εξήγηση είναι οτι η διαφοροποίηση των T-λεμφοκυττάρων, ανάλογα με τον υποπληθυσμό που ανήκουν, μπορεί να ευνοεί την εμφάνιση Th2 φαινοτύπου. Υπέρ αυτής της άποψης συνηγορεί το γεγονός οτι τα Vβ8 T-λεμφοκύτταρα βρέθηκε να παράγουν περισσότερη IL-4 και λιγότερη IFN-γ συγκριτικά με τα Vβ2 T-λεμφοκύτταρα²⁰.

Στον ανθρώπινο οργανισμό, η ανάλυση της χοησιμοποίησης των οικογενειών των TCRs σε περιοχές φλεγμονής, όπως οι αεραγωγοί, μπορεί να φέξει φως στους μηχανισμούς οι οποίοι οδηγούν στο σχηματισμό των διαφορετικών υποπληθυσμών των T-κυττάρων²¹. Στο περιφερικό αίμα, το ρεπερτόριο των TCRs, μέσα σε μία δεδομένη Vβ οικογένεια, είναι πρακτικά πάντοτε πολυκλωνικό, αλλά μονοκλωνικοί T-πληθυσμοί έχουν ταυτοποιηθεί στους αεραγωγούς τόσο σε υγιείς όσο και σε ασθενείς²²⁻²⁶. Αυτό το είδος της ανάλυσης μας επέτρεψε να ανιχνεύσουμε κλωνική ανάπτυξη T-λεμφοκυττάρων στους αεραγωγούς στη σαρκοείδωση^{22,23}, στην εξωγενή αλλεργική κυψελοδίτιδα^{25,26} και στο άσθμα. Η κλωνική αυτή ανάπτυξη μπορεί επίσης να καθορίσει εάν η ενεργοποίηση των T-κυττάρων που παρατηρείται στους ασθματικούς αεραγωγούς είναι ένα ειδικό ή μη ειδικό φαινόμενο. Είναι ενδιαφέρον οτι η πρόκληση με αντιγόνο στους ανθρώπινους αεραγωγούς μπορεί να οδηγήσει στην εμφάνιση νέων κλωνικών υποπληθυσμών T-λεμφοκυττάρων που δεν είναι παρόντες αρχικώς και δεν διαπιστώνονται μετά από πρόκληση με φυσιολογικό οξό²⁶. Σε άλλη μελέτη, βρέθηκε οτι ασθματικοί ασθε-

νείς με σοβαρό μη ελεγχόμενο άσθμα, εμφανίζουν στο βρογχοκυψελιδικό τους έκπλυμα (BAL) αυξημένο αριθμό Vβ8 T-λεμφοκυττάρων, σε σύγκριση με ήπιους ασθματικούς και υγιείς²⁷. Τέλος, σε ήπιους ασθματικούς βρέθηκε οτι υποπληθυσμοί T-λεμφοκυττάρων που καθορίζονται από διαφορετικά Vβ γονίδια (εκφράζουν διαφορετική β-αλυσίδα στον υποδοχέα τους) στο BAL, εμφανίζουν διαφορές στην ικανότητα τους να παράγουν Th1 ή T_H2 κυτταροκίνες²⁸.

Αυτές οι μελέτες προσφέρουν περαιτέρω ενθάρρυνση σε εκείνους που πιστεύουν στη σημασία των T-λεμφοκυττάρων στην παθογένεση του άσθματος και υποστηρίζουν την άποψη οτι θα έπρεπε να στοχεύουμε περισσότερο στη λειτουργία των T-κυττάρων και των προασθματικών κυτταροκινών, όπως η IL-5, παρά στους μηχανισμούς που εμπλέκονται στην αποπική ευασθητοποίηση, όπως η IL-4 και η IgE. Η περιορισμένη χρήση των γονιδίων της TCR V περιοχής, προκειμένου να αναγνωρίσουμε συγκεκριμένους επιτόπους, μπορεί επίσης να επιτρέψει την εφαρμογή μεμονωμένων στρατηγικών ειδικής ανοσοπαθέμβασης για τις αλλεργίες εκείνες στις οποίες εμπλέκεται ένας περιορισμένος αριθμός αντιγόνων.

Ένα παράδειγμα της δυναμικής αυτής της προσέγγισης είναι το μοντέλο της βασικής πρωτεΐνης της μυελίνης (Myelin Basic Protein-MBP) που προκαλεί πειραματική αλλεργική εγκεφαλομυελίτιδα (ΕΑΕ) στα ποντίκια. Η νόσος αυτή θεωρείται οτι αποτελεί παράδειγμα αυτοάνοσης νόσου που υποκινείται από τα T-λεμφοκύτταρα και έχει αξιοσημείωτες ομοιότητες στην παθολογία ανατομία της με την πολλαπλή σκλήρυνση στον άνθρωπο. Η κύρια T-κυτταρική απάντηση στην MBP περιλαμβάνει κύτταρα που εκφράζουν είτε το Vβ8 ή το Vβ13 γονιδιακό τμήμα και έχει αποδειχθεί οτι η θεραπεία με ένα συνδυασμό αντι-Vβ8 και αντι-Vβ13 αντισωμάτων μπορεί ταυτοχρόνως να προλάβει ή να θεραπεύσει την ΕΑΕ²⁹. Οι θεραπευτικές στρατηγικές, που θα χορηγούνται αντιδιοτυπικά αντισώματα ή αντισώματα ειδικά έναντι κάποιας οικογένειας TCR, θα μπορούν να έχουν το θεωρητικό πλεονέκτημα οτι καταστρέφουν μόνο πολύ ειδικά υποσύνολα T-κυττάρων, σε αντίθεση με στρατηγικές που κατευθύνονται έναντι στο CD4 ή άλλους περισσότερο ευρέως εκφρασμένους δείκτες επιφανείας. Παρόλα αυτά, αυτή η προσέγγιση περιορίζεται από την ανάγκη να παραχθούν αντι-Vβ ή

αντι-ιδιοτυπικά αντισώματα που θα μπορούν να αντιδράσουν με τα σχετικά T-λεμφοκύτταρα ατόμων με διαφορετικούς MHC απλότυπους καθότι, όπως ήδη ανα-

φέρθηκε, το αντιγόνο δεν αναγνωρίζεται από το T-λεμφοκύτταρο μόνο του, αλλά ως σύμπλεγμα με το μόριο του μεγίστου συμπλέγματος ιστοσυμβατότητας (MHC).

SUMMARY

Allergy and asthma regulation by T cells V_β subsets

Bakakos P., Cheilas G.

The importance of T cells in regulating antibody production is well established and we understand a great deal about the mechanism that allergen-specific T cells interact with allergen specific B cells. T cells have very precise antigen recognition requirements. It is well known that T cells play a major role in the regulation of inflammation in bronchial asthma, possibly through the production of cytokines. It has been demonstrated in animal models, but also in humans that T cell subsets, defined by a different β-chain, show functional differences. In the human context, analysis of TCR family usage at sites of inflammation such as the airways, can yield insight into the forces that drive the formation of TCR repertoire and the pathogenesis of inflammation. These studies provide further encouragement to those who believe in the importance of T cells in the pathogenesis of asthma and create new perspectives in the understanding of the mechanisms that underlie inflammation. Pneumon 2004; 17(2):145-149.

Key words: *T lymphocytes, V_β subsets, asthma, allergy*

ΒΙΒΛΙΟΓΡΑΦΙΑ

1. Grabstein KH, Maliszewski CR, Shanebeck K et al. The regulation of T-cell-dependent antibody formation in vitro by CD40 ligand and IL-2. *J Immunol* 1993; 150:3141-7.
2. Punnonen J, Aversa G, Cocks BG, De Vries JE. Role of IL-4 and IL-13 in synthesis of IgE and expression of CD23 by human B-cells. *Allergy* 1994; 49:576-86.
3. Robinson DS, Bentley AM, Hartnell A, Kay AB, Durham SR. Activated memory T helper cells in bronchoalveolar lavage fluid from patients with atopic asthma: relation to asthma symptoms, lung function and bronchial responsiveness. *Thorax* 1993; 48:26-32.
4. Wilson JW, Djukanovic R, Howarth PH, Holgate ST. Lymphocyte activation in bronchoalveolar lavage and peripheral blood in atopic asthma. *Am Rev Respir Dis* 1992; 145:958-60.
5. Sanderson CJ, Campbell HD, Young IG. Molecular and cellular biology of eosinophil differentiation factor (interleukin-5) and its effect on human and mouse B cells. *Immunol Rev* 1988; 102:2:50.
6. Hamid Q, Azzawi M, Ying S et al. Expression of mRNA for interleukin-5 in mucosal bronchial biopsies from asth-
ma. *J Clin Invest* 1991; 87:1541-6.
7. Sur S, Gleich GJ, Swanson MC, Bartemes KR, Broide DH. Eosinophilic inflammation is associated with elevation of interleukin-5 in the airways of patients with spontaneous symptomatic asthma. *J Allergy Clin Immunol* 1995; 96:661-8.
8. Shi H-Z, Xiao C-Q, Zhong D et al. Effect of inhaled IL-5 on airway hyperreactivity and eosinophilia in asthmatics. *Am J Respir Crit Care Med* 1998; 157:204-9.
9. Maggi E, Parronchi P, Manetti R et al. Reciprocal regulatory effects of IFN-γ and IL-4 on the in vitro development of human Th1 and Th2 clones. *J Immunol* 1992; 148:2142-7.
10. Schreiber RD, Celada A, Buchmeier N. The role of interferon-gamma in the induction of activated macrophages. *Ann Inst Pasteur Immunol* 1986; 148:2142-7.
11. Valerius T, Repp R, Kalden JR, Platzer E. Effect of interferon on human eosinophils in comparison with other cytokines. *J Immunol* 1990; 145:2950-8.
12. Thornhill MH, Wellcome SM, Mahiousz DL et al. Tumor necrosis factor combines with IL-4 or IFN-gamma to selectively enhance endothelial cell adhesiveness for T cells. The contribution of vascular cell adhesion mole-

- cule-1-dependent and -independent binding mechanisms. *J Immunol* 1991; 146:592-8.
13. Krug N, Madden J, Redington AE et al. T-cell cytokine profile evaluated at the single cell level in BAL and blood in allergic asthma. *Am J Respir Crit Care Med* 1996; 14:319-26.
 14. Boguniewicz M, Schneider LC, Milgrom H et al. Treatment of steroid-dependent asthma with recombinant interferon-gamma. *Clin Exp Allergy* 1993; 23:785-90.
 15. Alt FW, Oltz EM, Young F et al. VDJ recombination. *Immunol Today* 1992; 13:306-14.
 16. Akolkar PN, Gulwani-Akolkar B, Pergolizzi R, Bigler RD, Silver J. Influence of HLA genes on T cell receptor V segment frequencies and expression levels in peripheral blood lymphocytes. *J Immunol* 1993; 150:2761-73.
 17. Renz H, Bradley KL, Marrack P, Gelfand EW. T cells expressing variable elements of T-cell receptor β 8 and β 2 chain regulate murine IgE production. *Proc Natl Acad Sci USA* 1992; 89:6438-42.
 18. Renz H, Bradley KL, Saloga J et al. T cells expressing specific V β elements regulate immunoglobulin E production and airways responsiveness in vivo. *J Exp Med* 1993; 177:1175-80.
 19. Hofstra CL, Van Ark I, Savelkoul HFJ et al. V β 8 T lymphocytes are essential in the regulation of airway hyperresponsiveness and bronchoalveolar eosinophilia but not in allergen-specific IgE in a murine model of allergic asthma. *Clin Exp Allergy* 1998; 28:1571-80.
 20. Renz H, Bradley K, Gelfand EW. Production of IL-4 and IFN- γ by TCR-V β -expressing T-cell subsets in allergen-sensitized mice. *Am J Respir Cell Mol Biol* 1996; 14:36-43.
 21. Pannetier C, Even J, Kourisky P. T-cell repertoire diversity and clonal expansions in normal and clinical samples. *Immunol Today* 1995; 16:176-81.
 22. Grunewald J, Janson CH, Eklund A et al. Restricted Valpha 2.3 gene usage by CD4 T lymphocytes in bronchoalveolar lavage fluid from sarcoidosis patients correlates with HLA-DR3. *Eur J Immunol* 1992; 22:129-33.
 23. Trentin L, Zambello R, Facco M et al. Selection of T-lymphocytes bearing limited TCR-V β regions in the lung of hypersensitivity pneumonitis and sarcoidosis. *Am J Respir Crit Care Med* 1997; 155:587-96.
 24. Wahlstrom J, Berlin M, Lundgren R et al. Lung and blood T-cell receptor repertoire in extrinsic allergic alveolitis. *Eur Respir J* 1997; 10:772-7.
 25. Gelder CM, Peters MJ, O'Connor BJ et al. Restriction of endobronchial T-cell Va gene usage in atopic asthma. *Thorax* 1993; 48:458P.
 26. Dasmahapatra J, Hodges E, Smith JL et al. T-cell receptor V β gene usage in bronchoalveolar lavage and peripheral blood T-cells from asthmatic and normal subjects. *Clin Exp Immunol* 1998; 112: 363-374.
 27. Hauk PJ, Wenzel SE, Trumble AE, Szeffler SJ, Leung DY. Increased T-cell receptor V beta 8+ T cells in bronchoalveolar lavage fluid of subjects with poorly controlled asthma: a potential role for microbial superantigens. *J Allergy Clin Immunol* 1999; 104:37-45.
 28. Bakakos P, Pickard C, Smith JL, Frew AJ. TCR usage and cytokine expression in blood and BAL T cells. *Clin Exp Immunol* 2002; 128:295-301.
 29. Zaller DM, Osman G, Kanagawa O, Hood L. Prevention and treatment of murine experimental allergic encephalomyelitis with T cell receptor V β -specific antibodies. *J Exp Med* 1990; 171:1943-1955.

Νεώτερες εξελίξεις στη διαγραμματική διάγνωση των διαταραχών της οξεοβασικής ισορροπίας

Ν. Θεάκος¹,
Α. Λούκος²,
Μ. Βασιλείου³,
Π. Μπεχράκης¹

¹Εργαστήριο Πειραματικής Φυσιολογίας, Ιατρική Σχολή Πανεπιστημίου Αθηνών, ²Μονάδα Εντατικής Θεραπείας, Νοσοκομείο “Ερυθρός Σταυρός”, ³Πνευμονολογική Κλινική, Ιατρική Σχολή Πανεπιστημίου Ιωαννίνων

Λέξεις κλειδιά: Αέρια αρτηριακού αίματος, Διαταραχές της οξεοβασικής ισορροπίας, Διάγραμμα οξεοβασικής ισορροπίας, Διάγραμμα Grogono, Διάγραμμα Siggaard-Andersen, Λογισμικό πρόγραμμα Oxygen Status Algorithm

ΠΕΡΙΛΗΨΗ. Σκοπός της εργασίας ήταν ο έλεγχος της αξιοπιστίας ενός νέου διαγράμματος για τη διάγνωση των διαταραχών των αερίων αίματος που κατασκευάστηκε από τον A. Grogono. Στη μελέτη συμμετείχαν 114 ασθενείς που νοσηλεύτηκαν σε Μονάδα Εντατικής Θεραπείας (ΜΕΘ) από τους οποίους ελήφθησαν 3122 δείγματα αερίων αρτηριακού αίματος, που διαγνώστηκαν από το διάγραμμα Grogono, το διάγραμμα Siggaard-Andersen (S-A), το λογισμικό πρόγραμμα “Oxygen Status Algorithm” (O.S.A.), καθώς και από δύο έμπειρους εντατικολόγους ιατρούς. Τα αποτελέσματα της εργασίας έδειξαν ότι: 1) Το διάγραμμα Grogono παρουσίασε την υψηλότερη διαγνωστική συμφωνία με τις υπόλοιπες μεθόδους που κυμάνθηκε από 59,7% έως 72,5%. 2) Το ποσοστό συμφωνίας του διαγράμματος Grogono με το λογισμικό πρόγραμμα “O.S.A.” (70,5%) ήταν σημαντικά μεγαλύτερο ($p < 0,001$) συγκριτικά με το αντίστοιχο ποσοστό συμφωνίας του με το διάγραμμα “S-A” (59,7%). 3) Τα ποσοστά συμφωνίας του διαγράμματος Grogono με τους δύο ειδικούς ιατρούς (72,5% και 62,1% αντίστοιχα) ήταν σημαντικά μεγαλύτερα ($p < 0,001$) συγκριτικά με τα αντίστοιχα ποσοστά συμφωνίας του διαγράμματος “S-A” (48,3% και 56,4% αντίστοιχα). 4) Οι ειδικοί ιατροί διαφώνησαν μεταξύ τους περίπου στο 1/3 των συνόλου των δειγμάτων αερίων αίματος. Επιπρόσθετα, παρουσίασαν σημαντική συγκριτική διαφοροποίηση ($p < 0,001$) απέναντι στις υπόλοιπες διαγνωστικές μεθόδους. Συμπερασματικά, παρόλη τη διαγνωστική υπεροχή που παρουσιάζει το νέο προτεινόμενο διάγραμμα Grogono έναντι του κλασσικού διαγράμματος “S-A”, εντούτοις, τα επιμέρους ποσοστά συμφωνίας του με τις υπόλοιπες διαγνωστικές μεθόδους κυμαίνονται κάτω από 75%. Συνεπώς, το νέο διάγραμμα δεν μπορεί να διεκδικήσει τον τίτλο της “πρότυπης διαγνωστικής μεθόδου” και να χρησιμοποιηθεί με ασφάλεια στη διάγνωση των διαταραχών της οξεοβασικής ισορροπίας. *Πνεύμων 2004, 17(2):150-158.*

Αλληλογραφία:
Νικόλαος Θεάκος,
Κοσμά Αιτωλού 3, Μαρούσι, Τ.Κ. 151 25,
Τηλέφωνα: 210-6198528, 6972 016995
e-mail: ntheakos@hotmail.com

με το μέχρι σήμερα ευρέως, και για ιδιαίτερα μακρό χρονικό διάστημα, χρησιμοποιούμενο διάγραμμα Siggaard-Andersen. Ιδιαίτερα το νέο προτεινόμενο διάγραμμα Grogono, παρουσιάζει τα υψηλότερα ποσοστά διαγνωστικής συμφωνίας σε αρκετές από τις συγκρίσεις του με τις υπόλοιπες διαγνωστικές μεθόδους, αλλά και με τους δύο ειδικούς ιατρούς. Παρόλη όμως τη σημαντική πρόοδο που έχει επιτευχθεί στον τομέα της διαγνωστικής διάγνωσης των διαταραχών των αερίων αίματος, εντούτοις, καμία μέθοδος δεν παρουσιάζει εξαιρετικά μεγάλη διαγνωστική υπεροχή έναντι των υπολοίπων μεθόδων, έτσι ώστε να συγκεντρώνει την καθολική αποδοχή της από τους κλινικούς ιατρούς, γεγονός που θα την καθιστούσε αυτόματα ως την “πρότυπη διαγνωστική μέθοδο” στη διάγνωση των διαταραχών της οξεοβασικής ισορροπίας.

Η παρατήρηση αυτή μας οδηγεί στο συμπέρασμα ότι, για να αυξηθεί η διαγνωστική ικανότητα των προτεινόμενων μεθόδων, δεν απαιτείται αποκλειστικά και μόνον η χρησιμοποίηση των κατάλληλων μαθηματικών εξισώσεων που να περιγράφουν με όσο το δυνατόν μεγαλύτερη ακρίβεια τις διαταραχές της οξεοβασικής ισορροπίας, αλλά επιβάλλεται πλέον η αναθεώρηση ολόκληρης της μέχρι σήμερα χρησιμοποιούμενης διαγνωστικής μεθοδολογίας. Συγκεκριμένα, όλες οι μέχρι σήμερα προτεινόμενες διαγνωστικές μεθόδους, είτε πρόκειται για απλά διαγράμματα, είτε για λογισμικά προγράμματα^{4-6,9,11,12,25,26}, εμφανίζουν δύο κύρια μειονεκτήματα:

1. Προτείνουν μόνο διάγνωση για κάθε δείγμα αερίων αίματος, χωρίς να παρέχουν τη δυνατότητα μίας ή και περισσοτέρων πιθανών, **εναλλακτικών** διαγνώσεων. Η ύπαρξη εναλλακτικών διαγνώσεων, ιδιαίτερα σε ορισμένες σύνθετες περιπτώσεις, αρίνεται επιβεβλημένη. Δεν θα πρέπει να ξεχνάμε άλλωστε, ότι όλες οι διαγνωστικές μέθοδοι δεν έχουν ως σκοπό να αντικαταστήσουν διαγνωστικά τον κλινικό ιατρό, ούτε να θέσουν κατηγορηματικές και χωρίς αντίρρηση διαγνώσεις. Αντίθετα, στοχεύουν στην παροχή των κατάλληλων ερεθισμάτων στον θεράποντα ιατρό, ο οποίος σε συνδυασμό με τη θεωρητική κατάρτιση και εμπειρία του, τον υπόλοιπο

εργαστηριακό έλεγχο, την κλινική εξέταση και την παρακολούθηση της κλινικής πορείας του ασθενούς, να είναι σε θέση να επιλέξει την καταλληλότερη από τις παρεχόμενες διαγνώσεις.

2. Είναι δισδιάστατες, δηλαδή χρησιμοποιούν μόνο δύο παραμέτρους της οξεοβασικής ισορροπίας, χωρίς να λαμβάνουν υπόψη τους την τρίτη και σημαντικότερη διάσταση που είναι ο χρόνος^{11,27}. Κάθε δείγμα αερίων αίματος, δηλαδή, διαγιγνώσκεται ως ανεξάρτητο δείγμα χωρίς να λαμβάνονται υπόψη τα προηγούμενα δείγματα και κατά συνέπεια οι σχετικές μεταβολές της οξεοβασικής ισορροπίας του ασθενή.

Συμπερασματικά, μετά από αρκετά χρόνια στασιμότητας στη διεθνή βιβλιογραφία, παρουσιάζεται ένα νέο διαξονικό διάγραμμα το οποίο έρχεται να επιβεβαιώσει τη γενικότερα αποδεκτή μέχρι σήμερα άποψη, ότι η στατική διαγραμματική διάγνωση των διαταραχών της οξεοβασικής ισορροπίας έχει φθάσει στο μέγιστο των δυνατοτήτων της και δεν μπορεί να βοηθήσει σημαντικά στην περαιτέρω διάγνωση των διαταραχών των αερίων αίματος. Με βάση τα αποτελέσματα της παρούσας μελέτης, φαίνεται ότι το νέο προτεινόμενο διάγραμμα από τον A.W. Grogono παρόλο που παρουσιάζει μεγαλύτερη διαγνωστική συμφωνία, συγκριτικά με το κλασικό διάγραμμα του Siggaard-Andersen, εντούτοις, δεν υπερέχει έναντι του λογισμικού προγράμματος “Oxygen Status Algorithm”.

Συνεπώς, η αναθεώρηση ολόκληρης της μέχρι σήμερα χρησιμοποιούμενης διαγνωστικής μεθοδολογίας καθίσταται πλέον επιβεβλημένη. Οι μειονωμένες προσπάθειες δημιουργίας νέων λογισμικών προγραμμάτων διάγνωσης των διαταραχών της οξεοβασικής ισορροπίας, με βάση τη δυναμική καταγραφή των μεταβολών των πρωτογενών παραμέτρων σε συνάρτηση με τον χρόνο, καθώς και η παροχή μιας ή και περισσοτέρων εναλλακτικών διαγνώσεων σύμφωνα με την πολυπλοκότητα της περιπτωσης, δείχνουν τις αλλαγές που έχουν ήδη δρομολογηθεί στον τομέα αυτό και θα μας απασχολήσουν στο άμεσο μέλλον.

SUMMARY

Latest developments in graphic diagnostic approach of arterial blood gases disturbances

Theakos N, Loukos A, Vassiliou M, Behrakis P.

*The objective of the present study was to investigate the diagnostic validity of a new diagrammatic approach to the diagnosis of acid-base balance disorders as proposed by A. Grogono. In order to examine the diagnostic validity of the proposed diagram, 3,122 arterial blood gas samples were drawn from 114 ICU patients and were interpreted using the Grogono diagram and the following approaches as comparators: 1. The Siggaard-Andersen (S-A) chart, 2. The "Oxygen Status Algorithm" (OSA) software and 3. Two physicians with more than 10 years of experience in ICU, considered experts in acid-base balance disorders. Our results showed that: 1. The Grogono diagram presents the higher diagnostic agreement with the other methods ranging from 59.7% to 72.5%; 2. The diagnostic agreement between the Grogono diagram and the OSA software (70.5%) is significantly higher ($p < 0.001$) in comparison to that between the Grogono diagram and the S-A chart (59.7%); 3. The ratios of diagnostic agreement between the Grogono diagram and each one of the two experts (72.5% and 62.1%, respectively) are significantly higher ($p < 0.001$) than those calculated for the "S-A chart" (48.3% and 56.4%, respectively); 4. The two expert physicians disagreed with each other in the diagnosis of 1/3 of the cases of arterial blood gases disturbances. Moreover, they presented significant diagnostic variation in the comparisons with the other methods. In conclusion, the Grogono diagram, although superior to the S-A chart, cannot be safely used for the diagnosis of acid-base balance disorders in everyday clinical practice, because it has been shown to provide inaccurate diagnoses in at least 25% of the cases. *Pneumon* 2004; 17(2):150-158.*

Key words: Arterial blood gases, acid-base disturbances, acid-base diagram, Grogono diagram, Siggaard-Andersen chart, Oxygen Status Algorithm software.

ΒΙΒΛΙΟΓΡΑΦΙΑ

1. Astrup P, Severinghaus J: The History of Blood Gases, Acids and Bases. 1st Edition, Munksgaard, Denmark, 1986; 264-295.
2. Williamson JC. Acid-base disorders: classification and management strategies. Am Fam Physician 1995; 52(2):584.
3. Fall PJ. A stepwise approach to acid-base disorders. Practical patient evaluation for metabolic acidosis and other conditions. Postgrad Med 2000; 107:249-258.
4. Siggaard-Andersen O: An acid-base chart for arterial blood with normal and pathophysiological reference areas. Scand J Clin Lab Invest 1971; 27:239-245.
5. Davenport HW. The ABC of acid - base chemistry. 6th edition, The University of Chicago Press, Chicago, 1974.
6. Winters RW, Dell RB. Acid - Base Physiology in Medicine. 3d Edition, Little Brown and Company, Boston, Massachusetts, 1978.
7. Theakos N, Loukos A, Vassiliou M, Moukas M, Zaka M, Behrakis P. A simplified pH-logPaCO₂ diagram for the diagnostic approach of simple acid-base disorders. Current Contents 1998; 27-31.
8. Loukos A, Theakos N, Vassiliou M, Fragoulidou E, Zaka M, Behrakis P. A simplified pH-logPaCO₂ diagram for the diagnostic approach of mixed alkalemic acid-base disorders. Current Contents 1998; 41-45.
9. Loukos A, Theakos N, Vassiliou M, Fragoulidou E, Moukas M, Behrakis P. A simplified logPaCO₂ diagram for the diagnostic approach of mixed acidemic acid-base disorders. Current Contents 1998; 47-51.
10. Θεάκος Ν, Λουκός Α, Βασιλείου Μ, Μπεχράκης Π. Αξιοποιητία και πρακτικότητα ενός νέου απλοποιημένου διαγράμματος pH-PaCO₂ για τη διάγνωση των διαταραχών της οξεοβασικής ισοδροπίας. ΠΝΕΥΜΩΝ 1998; 11:133-143.
11. Schlichtig R, Grogono A, Severinghaus J. Human PaCO₂ and standard base excess compensation for acid-base imbalance. Crit Care Med 1998; 26:1173-1179.
12. Grogono A. <http://www.acid-base.com/homepage.html>, 2002.

13. Harsten A, Berg B, Inerot S, Muth L. Importance of correct handling of samples for the results of blood gas analysis. *Acta Anaesthesiol Scand* 1988; 32:365-368.
14. Ng R, Dennis R, Yeston N, McNamara-Ward J, Statland B. Factitious cause of unexpected arterial blood-gas results. *N Engl J Med* 1984; 310:1189-1190.
15. AARC clinical practice guideline. Sampling for arterial blood gas analysis. American Association for Respiratory Care. *Respir Care* 1992; 37:913-917.
16. AARC clinical practice guideline. In-vitro pH and blood gas analysis and hemoximetry. American Association for Respiratory Care. *Respir Care* 1993; 38:505-510.
17. Wooten E. Analytic calculation of physiological acid-base parameters in plasma. *J Appl Physiol* 1999; 86:326-334.
18. Maassen N, Boning D. Blood osmolality in vitro: dependence on base addition, buffer value and temperature. *J Appl Physiol* 1987; 62:2174-2179.
19. Siggaard-Andersen O, Wimberley P, Fogh-Andersen N, Gothgen I. Measured and derived quantities with modern pH and blood gas equipment: calculation algorithms with 54 equations. *Scand J Clin Lab Invest* 1988; 48:7-15.
20. Siggaard-Andersen O, Wimberley P, Gothgen I, Fogh-Andersen N, Rasmussen J. Variability of the temperature coefficients for pH, PCO₂, and PO₂ in blood. *Scand J Clin Lab Invest* 1988; 48:85-88.
21. Severinghaus J. Acid-base balance nomogram -a Boston-Copenhagen detente. *Anesthesiology* 1976; 45:539-541.
22. Siggaard-Andersen O, Siggaard-Andersen M. The oxygen status algorithm: a computer program for calculating and displaying pH and blood gas data. *Scand J Clin Lab Invest Suppl* 1990; 203:29-45.
23. Siggaard-Andersen M, Siggaard-Andersen O. Oxygen status algorithm, version 3, with some applications. *Acta Anaesthesiol Scand Suppl* 1995; 107:13-20.
24. Larsen V, Siggaard-Andersen O. The Oxygen Status Algorithm on-line with the pH-blood gas analyzer. *Scand J Clin Lab Invest Suppl* 1996; 224:9-19.
25. Hekking M, Lindemans J, Gelsema E. A computer program for the multivariate and graphical monitoring of acid-base data in an intensive care unit. *Proc Ann Symp Comput Appl Med Care* 1995; 52-56.
26. Williams A. ABC of oxygen: assessing and interpreting arterial blood gases and acid-base balance. *BMJ* 1998; 317:1213-1216.
27. Sasse S, Chen P, Mahutte C. Variability of arterial blood gas values over time in stable medical ICU patients. *Chest* 1994; 106:187-193.

Η συμμόρφωση των ασθενών με Σύνδρομο Άπνοιας στη θεραπεία με CPAP

Ε. Δασκαλοπούλου¹,
Θ. Χαινοπούλου²,
Χ. Κουρτίδου-Παπαδέλη³,
Δ. Παπαδόπουλος⁴,
Μ. Στίγγα⁵,
Ε. Βλαχογιάννης⁶

¹Πνευμονολόγος, ²Νοσηλεύτρια ΤΕ, ³Πνευμονολόγος, ⁴ειδικευόμενος Παθολόγος, ⁵ειδικευόμενη Ψυχίατρος, ⁶Παθολόγος, Εργαστήριο Ύπνου, Παθολογική Κλινική, Γ. Ν “Άγιος Παύλος”, Θεσσαλονίκη

Λέξις κλειδιά: Σύνδρομο Άπνοιας-Υπόπνοιας, θεραπεία με CPAP, συμμόρφωση, προσαρμοσμένη συμμόρφωση, επιπλοκές, φύλο

ΠΕΡΙΛΗΨΗ. Σκοπός της μελέτης ήταν η διερεύνηση της συμμόρφωσης των ασθενών μας που πάσχουν από Σύνδρομο Άπνοιας -Υπόπνοιας Ύπνου (ΣΑΥ) στη θεραπεία με τη συσκευή CPAP καθώς και των παραγόντων που επηρεάζουν τη συμμόρφωση αυτή. Μελετήθηκαν 138 συνεχείς ασθενείς (114 άνδρες και 24 γυναίκες), μέσης ηλικίας 52 ± 10 (SD) οι οποίοι προσήλθαν, στον προγραμματισμένο επανέλεγχο, τους τρεις τελευταίους μήνες του 1999. Μοναδικό κριτήριο επιλογής τους ήταν η παρουσία ωρομετρητή στη συσκευή. Από την ανάλυση των ερωτηματολογίων που συμπλήρωσαν οι ασθενείς καταγράφηκε και αναλύθηκε η συχνότητα των επιπλοκών ή άλλων προβλημάτων από τη χρήση της CPAP, ενώ από τον αριθμό των αναγραφόμενων ωρών στη συσκευή, υπολογίσθηκαν οι ώρες λειτουργίας ημερησίως (ΩΛΗ) και η προσαρμοσμένη συμμόρφωση (ΠΣ). Διαπιστώσαμε ότι το 77,5% των ασθενών χρησιμοποιούσε τη συσκευή >4 ώρες ημερησίως ενώ η ΠΣ ήταν $77\% \pm 28$. Ο Απνοϊκός-Υποπνοϊκός Δείκτης της διαγνωστικής μελέτης ήταν η μοναδική παράμετρος που συσχετίσθηκε θετικά με τις ΩΛΗ ($p < 0,01$) και την ΠΣ ($p < 0,03$), ενώ ο χρόνος διάρκειας της θεραπείας επηρέασε αρνητικά την ΠΣ ($p < 0,02$). Διαπιστώθηκε ότι οι γυναίκες είχαν λιγότερες ΩΛΗ, στατιστικά σημαντικά μικρότερη ΠΣ ($p < 0,02$) και ανέφεραν στατιστικά σημαντικά συχνότερα προβλήματα σε σχέση με το σύντροφό τους απ' ότι οι άνδρες. Γενικά τα αποτελέσματα της συμμόρφωσης των ασθενών μας μπορούν να θεωρηθούν ικανοποιητικά και είναι παρόμοια με αυτά μεγάλων οργανωμένων κέντρων. *Πνεύμων 2004, 17(2):167-176.*

Αλληλογραφία:
Ε. Δασκαλοπούλου,
Οικισμός Λήδα-Μαρία,
Άλκηστρης II, 57001 Θέρμη, Θεσσαλονίκη,
Τηλ: 2310 473618,
e-mail:efimagra@otenet.gr

ΕΙΣΑΓΩΓΗ

Η συσκευή CPAP, από το 1981 που δημοσιεύτηκε στο Lancet¹ η πρώτη σχετική μελέτη, αποτελεί την κύρια θεραπευτική μέθοδο για την αντιμετώπιση του Συνδρόμου της Άπνοιας-Υπόπνοιας (ΣΑΥ) και πολλές φορές

τη θεραπευτική λύση που επιλέγεται για την αντιμετώπιση του συνδρόμου της Αυξημένης Αντίστασης των Ανώτερων Αεροφόρων οδών² ή των Συνδρόμων Υποαερισμού στη διάρκεια του ύπνου. Τα τελευταία χρόνια οι θεραπευτικές εφαρμογές της CPAP διευρύνονται και σε άλλα νοσήματα όπως η καρδιακή ανεπάρκεια και η αναπνοή Cheyne-Stokes³.

Στην περίπτωση του ΣΑΥ, η CPAP αποτελεί μια “τεχνική” λύση για ένα μηχανικό πρόβλημα. Είναι μια θεραπεία με υψηλό ποσοστό αποτελεσματικότητας και ελάχιστες αντικειμενικές επιπλοκές. Ωστόσο για να διατηρηθεί το θεραπευτικό αποτέλεσμα επιβάλλεται η καθημερινή χρήση της, στην πλειονότητα των ασθενών, εφόρου ζωής. Το γεγονός αυτό αποτελεί το μόνο ουσιαστικό μειονέκτημα της CPAP, διότι απαιτεί την πλήρη συμμόρφωση του ασθενούς προς τις οδηγίες που του έχουν δοθεί από το Εργαστήριο Ύπνου. Είναι γνωστό ότι στα χρόνια νοσήματα η συμμόρφωση των ασθενών στις υποδειχθείσες θεραπείες, είναι μικρή διεθνώς. Ειδικότερα στα χρόνια αναπνευστικά νοσήματα, έχει καταδειχθεί ότι η συμμόρφωση των ασθενών στη χρόνια οξυγονοθεραπεία κυμαίνεται από 50-65%, στη χρήση των νεφελοποιητών από 50-57%⁵ και στη χρήση των εισπνεομένων φαρμάκων από 48-67%⁶.

Μολονότι η CPAP αποτελεί μια δαπανηρή θεραπευτική λύση, έχει αποδειχθεί ότι το καθαρό όφελος για τον ασθενή, την κοινωνία και την οικονομία της υγείας είναι πολλαπλάσιο του κόστους⁷. Είναι συνεπώς πολύ

σημαντικό να ελέγχεται η συμμόρφωση των ασθενών στη θεραπεία με CPAP, η οποία αποτελεί και δείκτη της αποτελεσματικότητας ενός Εργαστηρίου Ύπνου.

Στη μελέτη αυτή εξετάσθηκαν η συμμόρφωση των ασθενών του Εργαστηρίου μας στη θεραπεία τους με τη CPAP, καθώς και οι παράγοντες που επηρεάζουν τη χρήση της συσκευής. Εξ όσων γνωρίζουμε, η παρούσα μελέτη αποτελεί την πρώτη δημοσίευση που αφορά σε ελληνικό πληθυσμό.

ΑΣΘΕΝΕΙΣ ΚΑΙ ΜΕΘΟΔΟΙ

Μελετήθηκαν 138 συνεχείς ασθενείς (Πίνακας 1) οι οποίοι χρησιμοποιούσαν τη συσκευή CPAP και οι οποίοι προσήλθαν, κατά τον προγραμματισμένο επανέλεγχό τους, στο Εργαστήριο Ύπνου κατά τους τρεις τελευταίους μήνες του 1999. Απαραίτητη προϋπόθεση ήταν η παρουσία ωρομετρητή στη συσκευή CPAP. Οι 136 ασθενείς έπασχαν από ΣΑΥ και οι 2 από σύνδρομο αυξημένης αντίστασης των ανώτερων αεροφόρων οδών. Η διάγνωση είχε τεθεί μετά από πολυκαταγραφική μελέτη στο παρελθόν (38 μέρες έως 76 μήνες πριν). Όλοι οι ασθενείς είχαν απλή CPAP, πλην τριών που είχαν αυτο-CPAP και επίσης τριών με συσκευή BiPAP λόγω δυσανοχής των υψηλών εκπνευστικών πιέσεων της απλής CPAP. Κανένας από τους ασθενείς δεν χρειάζονταν συμπληρωματική χορήγηση οξυγόνου. Σύμφωνα με τις αρχές λειτουργίας του Εργαστηρίου μας, κατά την τιτλοποίη-

Πίνακας 1. Τα ανθρωπομετρικά χαρακτηριστικά των ασθενών και στοιχεία από τις πολυπαραμετρικές καταγραφές.

	Άνδρες N=114	Γυναίκες N=24	P
Ηλικία (χρόνια)	50,31±10,18	58,96±8,86	<0,000
BMI (kg/m ²)	34,68±5,45	41,46±6,44	<0,000
Οικογενειακή κατάσταση (E)	105 (92%)	21 (87%)	<0,01
Εκπαίδευση (χρόνια)	10,7±3,77	7,75±3,49	<0,003
Κάπνισμα	44 (38,6%)	6 (25%)	NS
Αλκοόλ	27	0	<0,000
Απνοϊκ.-Υποπν. Δείκτη	62,36±25,29	53,59±27,32	NS
Απνοϊκός Δείκτης	37,61±25,82	22,3±19,09	<0,003
Μέση τιμή SaO ₂ %	90,0±4,41	89,4,92±4,29	NS
Ελάχιστη τιμή SaO ₂ %	62,9±14,04	61,55±16,57	NS
Δείκτης αποκορεσμού	51,1±25,5	52,6±26,39	NS

BMI= Δείκτης μάζας σώματος, Αλκοόλ= τουλάχιστον μια μονάδα (9gr) καθημερινά, Απνοϊκός-Υποπνοϊκός Δείκτης= αριθμός απνοιών και υποπνοιών ανά ώρα ύπνου, Δείκτης αποκορεσμού= αριθμός των επεισοδίων πτώσης του SaO₂ κατά 4% τουλάχιστον από τη βασική τιμή ανά ώρα ύπνου, E= έγγαμοι.

ση της πίεσης και τις ημέρες που ακολουθησαν έγινε προσπάθεια ώστε να επιλυθούν τα τυχόν προβλήματα και να εκπαιδευτούν οι ασθενείς. Αξιοσημείωτο είναι ότι προσήλθαν για μελέτη όλοι οι προγραμματισθέντες ασθενείς. Αναλύθηκαν τα ερωτηματολόγια συμμόρφωσης των ασθενών. Τα ερωτηματολόγια αυτά καταρτίσθηκαν από το Εργαστήριο μας βάσει της βιβλιογραφίας⁸ και εμπλουτίσθηκαν με επιπλέον ερωτήσεις. Αποτελούνται από ερωτήσεις που διερευνούν προβλήματα και συμπτώματα των ασθενών που προκύπτουν από τη χρήση της CPAP. Δεκατέσσερις ερωτήσεις αφορούν στις ανώτερες αεροφόρους οδούς και στα όργανα που έχουν σχέση με την αναπνευστική οδό, 10 ερωτήσεις αφορούν στις εντυπώσεις και στις απόψεις των ασθενών για τη συσκευή και στην επίδρασή της στην ποιότητα του ύπνου, 5 ερωτήσεις στην επίδραση της συσκευής CPAP στις σχέσεις με το σύντροφο και τέλος 5 ερωτήσεις για τις ώρες του ύπνου τους καθώς και για τις ώρες και μέρες ανά μήνα εφαρμογής της συσκευής. Τα ερωτηματολόγια συμπληρώνονται από τους ασθενείς μας με NAI ή OXI κάθε φορά, κατά τους επανελέγχους τους στο Εργαστήριο Ύπνου.

Ο υπολογισμός των πραγματικών ωρών λειτουργίας της CPAP ημεροής (ΩΛΗ) έγινε με τη διαίρεση των ωρών των καταγεγραμμένων στον ωρομετρητή δια του αριθμού των ημερών, από την ημερομηνία της αγοράς (Α). Ο έλεγχος της ακρίβειας της αναφοράς (ΑΑ) των ασθενών σχετικά με τις μέρες και ώρες που χρησιμοποιούνται τη CPAP έγινε με την αφαίρεση του γινομένου του αριθμού των ημερών ενός μηνός επί τον αριθμό των ωρών χρήσης (όπως αναφέρθηκαν) από το γινόμενο των πραγματικών ωρών λειτουργίας (ΩΛΗ) επί το 30 (Β). Επίσης υπολογίσθηκε η προσαρμοσμένη συμμόρ-

φωση (ΠΣ%) δηλαδή το ποσοστό του ύπνου στη διάρκεια του οποίου οι ασθενείς χρησιμοποιούσαν τη συσκευή CPAP σε σχέση με τη συνολική διάρκεια του ύπνου το 24ωρο (όπως αναφέρθηκε από τους ασθενείς), για τις ημέρες του μήνα κατά τις οποίες τη χρησιμοποιούσαν (Γ).

Συγκεκριμένα:

1. ΩΛΗ= ώρες του ωρομετρητή/ημέρες κατοχής του CPAP.
2. ΑΑ=[ημέρες (το μήνα)* ώρες ύπνου] - ΩΛΗ *30.
3. ΠΣ=[ΩΛΗ 30/ημέρες (το μήνα) *ώρες ύπνου]*100
Η στατιστική ανάλυση έγινε με το πακέτο SPSS.

ΑΠΟΤΕΛΕΣΜΑΤΑ

Διαπιστώθηκε στατιστικά σημαντική διαφορά μεταξύ ανδρών και γυναικών ως προς την ηλικία, το BMI, τα χρόνια εκπαίδευσης, τη χρήση αλκοόλ και τον απνοϊκό δείκτη (Πίνακας 1). Τα αποτελέσματα της συμμόρφωσης στη θεραπεία αναλύθηκαν συνολικά αλλά και ως προς το φύλο.

Οι ασθενείς κατείχαν τη CPAP (Πίνακας 2) από 20 έως 2.315 μέρες ($x = 562 \pm 505$ μέρες διάμεσος 379 μέρες). Οι συνολικές ώρες λειτουργίας ήταν από 57 έως 14.388 ($x = 2.911 \pm 2771$ ώρες, διάμεσος 1733) ενώ οι ώρες λειτουργίας ημεροής (ΩΛΗ) κυμάνθηκαν από 0,429 έως 10,08 ($x = 5,37 \pm 2,00$, διάμεσος 5,54 ώρες/ημέρα).

Σύμφωνα με τις απαντήσεις των ασθενών οι 3 (2%) χρησιμοποιούσαν τη CPAP μέχρι και 10 ημέρες το μήνα, οι 6 (4%) από 11-20 μέρες, οι 9 (7%) από 21-25 ημέρες και οι 120 (87%) περισσότερες από 25 μέρες. Με τον υπολογισμό των ΩΛΗ (ανεξάρτητα από τον αριθμό των

Πίνακας 2. Στοιχεία από τη χρήση της συσκευής CPAP

	Σύνολο N=138	Άνδρες N=114	Γυναίκες N=24	p
Ημ.κατοχής CPAP	562±505	530±485	708±581	NS
Ώρες ύπνου/24ωρο*	7,32±1,21	7,24±1,10	7,73±1,62	NS
Ώρες χρήσης/24ωρ*	6,18±1,45	6,69±1,36	7,21±1,82	NS
Ημέρες/μήνα*	28,67±3,91	28,47±4,19	29,58±2,04	NS
Ένδειξη ωρομετρητή	2.911± 2.771	2.799±2.756	3.473±2.842	NS
ΩΛΗ	5,37±2,00	5,44±1,92	5,02±2,37	NS
Προσαρμ. συμμόρφωση (%)	77±28	80±28	64±27	<0,02
Πίεση CPAP	10,85±2,49	10,94±2,51	10,29±2,43	NS

*Ώρες και ημέρες, όπως τις ανέφεραν οι ασθενείς

γία του και να αποτραπεί ο καρδιαγγειακός κίνδυνος, δεν έχει δοθεί απάντηση. Υπάρχουν διάφορες μελέτες που εξετάζουν τη σχέση συμμόρφωσης και βελτίωσης των συμπτωμάτων. Βελτίωση της υποκειμενικής αίσθησης της υπνηλίας, των γνωσιακών λειτουργιών, του βαθμού κατάθλιψης και των παραμέτρων της ποιότητας ζωής (χλίμακα SF36) αναφέρθηκε από τους Engleman και συν σε ασθενείς με ήπιο ΣΑΥ¹⁸ και μέση ημερήσια χρήση της CPAP $2,8 \pm 2,1$ ώρες, βελτίωση της υποκειμενικής αίσθησης της υπνηλίας με χρήση $4,8 \pm 2,4$ ώρες από τους Kingshott και συν¹⁹, ενώ οι Bennett και συν²⁰ διαπίστωσαν ότι δεν υπήρχε συσχέτιση μεταξύ της συμμόρφωσης (διάμεσος 5, εύρος 1,2-7,2 ωρ/ημ) και της βελτίωσης της κλίμακας SF-36.

Για να θεωρηθεί οτι ο ασθενής έχει επαρκή συμμόρφωση, το κατώτερο όριο των ωρών της μέσης ημερήσιας χρήσης της CPAP διαφέρει σημαντικά στις διάφορες μελέτες. Υπάρχουν κέντρα που χρησιμοποιούν ως όριο τη <1 ώρα¹⁵ ή τις ≤ 2 ώρες ημερήσιας χρήσης της συσκευής¹⁰ για να ζητήσουν την επιστροφή της. Το συνηθέστερα αποδεκτό όριο ικανοποιητικής συμμόρφωσης είναι οι 4 ώρες¹³. Ωστόσο το όριο αυτό είναι αυθαίρετο. Στη βιβλιογραφία υπάρχουν μελέτες που θεωρούν ικανοποιητική τη χρήση της συσκευής επί 2 ώρες/ημ.¹⁰, άλλες που χρησιμοποιούν ως ελάχιστο όριο τις 4 ώρες για 5 μέρες την εβδομάδα (δηλ. μέση ημερήσια χρήση 2,8 ώρες)²⁰, άλλες ≥ 4 ώρες για ≥ 5 μέρες εβδομαδιαίως¹⁵, άλλες τις 5 ή περισσότερες ώρες ημερησίως²². Έτσι, το ποσοστό των ασθενών που συμμόρφωνται με τη θεραπεία, στοιχείο που αποτελεί και μέτρο εκτίμησης της αποτελεσματικότητας ενός Εργαστηρίου Ύπνου, είναι δύσκολο να συγκριθεί μεταξύ των διαφόρων κέντρων.

Το 77,5% των ασθενών μας χρησιμοποιούσε τη συσκευή >4 ώρες/ημέρα, το 86,9% για >3 ώρες/ημέρα και το 94,2% για >2 ώρες/ημέρα. Στη μελέτη των Popescu και συν τα αντίστοιχα ποσοστά των 128 ασθενών τους, στο τέλος του πρώτου χρόνου χρήσης της CPAP, ήταν 70,4%, 78,4% και 82,4%¹⁰.

Η παράμετρος ίμας που έχει ουσιαστική αξία είναι η προσαρμοσμένη συμμόρφωση (adjusted compliance)²³, δηλαδή το ποσοστό του ύπνου στη διάρκεια του οποίου ο ασθενής χρησιμοποιεί τη συσκευή. Η προσαρμοσμένη συμμόρφωση (ΠΣ) εξαποικεύει το πρόβλημα και προσαρμόζει τη συμμόρφωση στις συνήθειες και στις ανάγκες του ασθενούς. Σύμφωνα με τους συγγραφείς

που εισήγαγαν τον όρο, η μέση ημερήσια ΠΣ, των ασθενών τους ήταν 66%. Στη δική μας μελέτη η μέση ημερήσια ΠΣ ήταν $77 \pm 28\%$. Ένα σημαντικό εύρημα ήταν η στατιστικά σημαντική διαφορά μεταξύ ανδρών ($80 \pm 28\%$) και γυναικών ($64 \pm 27\%$) ως προς την προσαρμοσμένη συμμόρφωση αν και η διάρκεια θεραπείας δεν διέφερε μεταξύ των δύο ομάδων. Η διάρκεια της θεραπείας των ασθενών μας δεν φάνηκε να επηρέασε στατιστικά σημαντικά τις ΩΛΗ, πιθανόν λόγω του μικρού αριθμού των ασθενών που χρησιμοποιούσαν τη συσκευή περισσότερο από τρία χρόνια, επηρέασε ίμας στατιστικά σημαντικά την ΠΣ.

Διάφοροι ερευνητές εξέτασαν τις παραμέτρους που επηρεάζουν τη μακροχρόνια χρήση της συσκευής. Στη μεγάλη μελέτη των Mc Ardle και συν⁹, οι παράμετροι που συσχετίσθηκαν με τη μακροχρόνια χρήση της CPAP ήταν το ροχαλητό, η ημερήσια υπνηλία και ο ΑΥΔ $>30/\text{ώρα}$, ιδιαίτερα παρουσία υψηλής βαθμολογίας (≥ 10) στην κλίμακα Epworth. Στην ίδια μελέτη αποδείχθηκε οτι η χρήση της συσκευής για ≥ 2 ώρες/ημέρα τους τρεις πρώτους μήνες, μπορεί να προδικάσει τη μακροχρόνια χρήση της CPAP. Ο κίνδυνος να διακοπεί η θεραπεία μελλοντικά από τα άτομα που κάνουν χρήση της συσκευής μικρότερη των 2 ωρών κατά το προαναφερθέν διάστημα, είναι 12,7.

Οι μελέτες που ασχολήθηκαν με τους παράγοντες που επηρεάζουν την ημερήσια χρήση της συσκευής έχουν συχνά αντικρουόμενα αποτελέσματα. Μεταξύ των παραγόντων που εξετάσθηκαν είναι το υποκειμενικό ή αντικειμενικά μετρούμενο μέγεθος της υπνηλίας¹⁴, η προν από τη θεραπεία αντίληψη για τη συνολική κατάσταση της υγείας (κλίμακα SF-36)²⁰, παράμετροι της αναπνευστικής λειτουργίας^{15,16} και της πολυκαταγραφικής μελέτης του ύπνου¹³⁻¹⁶. Η γενικότερη ικανοποιήση από τη θεραπεία^{10,21,22} καθώς και οι συνήθειες του ύπνου¹² φαίνεται οτι παίζουν σημαντικό ρόλο. Στη δική μας μελέτη διαπίστωσαμε οτι τόσο οι ΩΛΗ ($p < 0,01$) όσο και η προσαρμοσμένη συμμόρφωση ($p < 0,03$) συσχετίζονται θετικά με τον αρχικό ΑΥΔ. Η διαπίστωση αυτή συμφωνεί με τα ευρήματα και ορισμένων άλλων συγγραφέων^{13,16,23}.

Θα αναμένονταν οτι οι επιπλοκές από τη χρήση της συσκευής θα επηρέαζαν αρνητικά τη συμμόρφωση. Ωστόσο, η πλειονότητα των μελετών υποστηρίζει οτι η συμμόρφωση είναι ανεξάρτητη των επιπλοκών. Η συχνότητα των επιπλοκών και των προβλημάτων που πα-

SUMMARY

Compliance with CPAP treatment of patients with Sleep Apnea Syndrome.

*Daskalopoulou H., Hainopoulou Th., Kourtidou-Papadeli Ch.,
Papadopoulos D., Stigga M., Vlachogiannis E.*

The objective of this study was to evaluate compliance with the use of the CPAP machine in a sample of Greek patients with SAHS, as well as to investigate which factors influence compliance in these patients. We studied 138 consecutive patients (114 men, 24 women, mean age±SD: 52±10 years) who were scheduled for a follow up visit in the last 3 months of the year 1999. The single one eligibility criterion was the presence of an integral time clock in the CPAP machine. The patients had the machine in their possession for 20 to 2,315 days (mean value: 379 days). The total time of CPAP use was 57 to 14,388 hours (mean value: 1733 hours), while daily CPAP use varied from 0.429 to 10.08 hours (mean: 5.54 h/day). Analysis of study data showed that 77.5% of the patients used the CPAP machine for more than 4 hours daily; adjusted compliance was 77%. Apnea/hypopnea index (AHI) was the only parameter that correlated with daily use ($p<0.01$) and adjusted compliance ($p<0.03$). An inverse significant correlation between adjusted compliance and duration of CPAP treatment was found. Women used the CPAP machine for a shorter daily time, showed lower adjusted compliance [64±27 vs. 80±28 ($p<0.02$)] and reported more problems with their partners ($p=0.0014$) compared to men. Conclusively, the studied sample of Greek SAHS patients shows a generally satisfactory compliance with CPAP therapy, which is similar to that reported in the literature. However, women adduce a variety of reasons to justify their low CPAP use, even though they have accepted this treatment. Pneumon 2004, 17(2):167-176.

Key words: *Sleep Apnea-Hypopnea Syndrome, CPAP treatment, compliance, adjusted compliance, complications, gender*

ΒΙΒΛΙΟΓΡΑΦΙΑ

1. Sullivan CE, Issa F, Berthon-Jones M. Reversal of obstructive sleep apnea by continuous positive airway pressure applied through the nares. Lancet 1981; 1:862-865.
2. American Thoracic Society. Indications and standards for use of nasal continuous positive airway pressure (CPAP) in sleep apnea syndromes. Am J Respir Crit Care Med 1994; 150:1738-1745.
3. Krachman SL, D' Alonzo GE, Berger TJ, Eisen HJ. Comparison of oxygen therapy with nasal continuous positive airway pressure on Cheyne-Stokes respiration during sleep in congestive heart failure. Chest 1999; 116:1550-1557.
4. Ringbaek T, Lange P, Viskum K. Compliance with LTOT and consumption of mobile oxygen. Respir Med 1999 May; 93(5): 333-7.
5. Turner J, Wright E, Mendella L, Anthonisen N. Predictors of patient adherence to long-term home nebulizer therapy for COPD. The Intermittent Positive Pressure Breathing (IPPB) Study Group. Chest 1995; 108:394-400.
6. Rand CS, Nides M, Cowles MK, Wise RA, Connell J. Long-term metered-dose inhaler adherence in a clinical trial. The Lung Health Study Research Group. Am J Respir Crit Care Med 1995; 152:580-8.
7. Fischer J, Raschke F. Economic and medical significance of sleep related breathing disorders. Respiration 1997, 64(suppl1)39-44.
8. Hoffstein V, Viner S, Mateika S, Conway J. Treatment of obstructive sleep apnea with nasal continuous positive airway pressure. Patient compliance, perception of benefits, and side effects. Am Rev Respir Dis 1992; 145:841-845.
9. McArdle N, Devereux G, Heidarnejad H, Engleman HM, Mackay TW, Douglas NJ. Long-term use of CPAP therapy for sleep apnea/hypopnea syndrome. Am J Respir Crit Care Med 1999; 159:1108-1114.
10. Popescu G, Latham M, Allgar V, Elliott MW. Continuous positive airway pressure for sleep apnoea/hypopnoea syndrome: usefulness of a 2 week trial to identify factors

- associated with long term use. Thorax 2001; 56:727-733.
11. Meslier N, Lebrun T, Griller-Lanoir V, Rolland N, Hen derick C, Sailly J-C, Racineux J-L. A French survey of 3.225 patients treated with CPAP for obstructive sleep apnoea: benefits, tolerance, compliance and quality of life. Eur Respir J 1998; 12:185-192.
 12. Noseda A, Jann E, Hoffmann G, Linkowski P, Kerkhofs M. Compliance with nasal continuous positive airway pressure assessed with a pressure monitor: pattern of use and influence of sleep habits. Respir Med 2000; 94:76-81.
 13. Hui DS, Choy D, Li TS, Ko FW, Wong KK, Chan JK, Lai CK. Determinants of continuous positive airway pressure compliance in a group of chinese patients with ob structive sleep apnea. Chest 2001; 120:170-176.
 14. Engleman H, Martin S, Douglas N. Compliance with CPAP therapy in patients with the sleep apnoea/hypop noea syndrome. Thorax 1994; 49:263-266.
 15. Pépin JL, Krieger J, Rodenstein D, Cornette A, Sforza E, Delguste P, Deschaux C, Grillier V, Lévy P. Effective compliance during the first 3 months of continuous positive airway pressure. A European prospective study of 121 patients. Am J Respir Crit Care Med 1999; 160:1124-1129.
 16. Krieger J, Kurtz D, Petiau C et al. Long-term compli ance with CPAP therapy in obstructive sleep apnea pa tients and in snorers. Sleep 1996; 19:S136-S143
 17. Young T, Peppard P. Sleep-disordered breathing and cardiovascular disease: epidemiologic evidence. Sleep 2000; 23(Supp. 4):S122-126.
 18. Engleman HM, Kingshott RN, Wraith PK, MacKay TW, Deary IJ, Douglas NJ. Randomized placebo-controlled crossover trial of continuous positive airway pressure for mild sleep apnea/hypopnea syndrome. Am J Respir Crit Care Med 1999; 159:461-467.
 19. Kingshott RN, Vennelle M, Hoy CJ, Engleman HM, Deary IJ, Douglas NJ. Predictors of improvements in daytime function outcomes with CPAP therapy. Am J Respir Crit Care Med 2000; 161:866-871.
 20. Bennett LS, Barbour C, Langford B, Stradling JR, Davies RJ. Health status in obstructive sleep apnea: relation ship with sleep fragmentation and daytime sleepiness, and effects of continuous positive airway pressure treat ment. Am J Respir Crit Care Med 1999; 159:1884-1890.
 21. Kribbs NB, Pack AI, Kline LR, Smith PL, Schwartz AR, Schubert NM, Redline S, Henry JN, Getsy JE, Dinges DF. Objective measurement of patterns of nasal CPAP use by patients with sleep apnea. Am Rev Respir Dis 1993; 147:887-895.
 22. Grote L, Hedner J, Grunstein R, Kraiczi H. Therapy with nCPAP: incomplete elimination of sleep related breath ing disorder. Eur Respir J 2000; 16:921-927.
 23. Reeves-Hoche MK, Meck R, Zwillich CW. Nasal CPAP: an objective evaluation of patients compliance. Am J Respir Crit Care Med 1994, 149:149-154.
 24. Likar LL, Panciera TM, Erickson AD, Rounds S. Group education sessions and compliance with nasal CPAP therapy. Chest 1997; 111:1273-77.
 25. Hoy CJ, Venelle M, Kingshott RN, Engleman HM, Douglas NJ. Can intensive support improve continuous positive airway pressure use in patients with the sleep apnea/hypopnea syndrome? Am J Respir Crit Care Med 1999; 159:1096-1100.

Μελέτη της πακλιταξέλης σε δύο δοσολογικούς συνδυασμούς με καρβοπλατίνη στην αντιμετώπιση του μικροκυτταρικού καρκίνου του πνεύμονος

Κ. Ζαρογουλίδης,
Θ. Κοντακιώτης,
Π. Χατζηποστόλου,
Α. Παπαγάννης,
Ι. Γουτσίκας,
Α. Ξαφένιας,
Π. Κώτσης,
Δ. Πατάκας

Μονάδα Έρευνας Νεοπλασιών Πνευμόνων, Πνευμονολογική Κλινική, Αριστοτέλειο Πανεπιστήμιο Θεσσαλονίκης, Γ.Π.Ν. "Γ. Παπανικολάου", 570 10 Θεσσαλονίκη

Λέξεις κλειδιά: Πακλιταξέλη, καρβοπλατίνη, μικροκυτταρικός καρκίνος πνεύμονος, χημειοθεραπεία

Αλληλογραφία:
Κώστας Ζαρογουλίδης,
Μονάδα Έρευνας Νεοπλασιών Πνευμόνων,
Πνευμονολογική Κλινική, Α.Π.Θ.,
Γ.Π.Ν. Γ. Παπανικολάου,
570 10 Θεσσαλονίκη,
Τηλ. & Fax: 2310 992433

ΠΕΡΙΛΗΨΗ. Οι ταξάνες χρησιμοποιούνται όλο και περισσότερο στην αντιμετώπιση του μικροκυτταρικού καρκίνου του πνεύμονος (ΜΚΠ), αλλά η ιδεώδης δόση και ο κατάλληλος συνδυασμός με άλλα αντινεοπλασματικά φάρμακα είναι ακόμη υπό διερεύνηση. Χρησιμοποιήσαμε δυο διαφορετικές δόσεις πακλιταξέλης (Π) σε συνδυασμό με καρβοπλατίνη (Κ) σε 148 μη προθεραπευμένους ασθενείς με ΜΚΠ (ηλικία μέχρι 75 ετών, λειτουργική ικανότητα κατά WHO 0-1) που χωρίσθηκαν σε δύο ομάδες. Όλοι οι ασθενείς έλαβαν Κ (AUC=6) με Π 175mg/m² (Ομάδα Α, 76 ασθενείς [68 άνδρες]) ή 190mg/m² (Ομάδα Β, 78 ασθενείς [73 άνδρες]), την 1^η ημέρα θεραπείας. Το σχήμα επαναλαμβανόταν κάθε 28 ημέρες, μέχρις ολοκλήρωσης 8 κύκλων. Οι ασθενείς που ανταποκρίθηκαν στη θεραπεία υποβλήθηκαν σε ακτινοθεραπεία της πρωτοπαθούς εστίας (48 Gy σε 4 εβδομάδες) μεταξύ των κύκλων 6 και 8. Οι ασθενείς με πλήρη ανταπόκριση έλαβαν επιπλέον και προφυλακτική ακτινοθεραπεία εγκεφάλου (PCI). Η ολική ανταπόκριση (OR) ήταν 63,1% στην Ομάδα Α (LD: 81,1%, ED: 60%) και 66,6% στην Ομάδα Β (LD: 77,5%, ED: 58,3%) [μη σημαντική διαφορά]. Η διάμεση επιβίωση ήταν 270 ημέρες στην Ομάδα Α (95% CI: 222-318) και 300 ημέρες στην Ομάδα Β (95% CI: 247-352) [p=0,05]. Ο διάμεσος χρόνος μέχρι την εξέλιξη της νόσου ήταν 200 ημέρες και στις δύο ομάδες. Τοξικότητα: Ουδετεροπενία βαθμού 3/4: 6,5% στην Ομάδα Α, 14,1% στην Ομάδα Β. Αναιμία βαθμού 3/4: 5,2% και 10,2%. Θρομβοπενία βαθμού 3: 5,2% και 1,2%. Νευροτοξικότητα βαθμού 1/2: 27% και 16,6%, αντίστοιχα. Συμπεραίνουμε ότι ο συνδυασμός ΙΙ και Κ είναι εξίσου δραστικός με πιο παραδοσιακά σχήματα χημειοθεραπείας στην αντιμετώπιση του ΜΚΠ, με ανεκτή τοξικότητα. Δεν υπήρξε σημαντική διαφορά στην ανταπόκριση ή την επιβίωση με την υψηλότερη δόση της ΙΙ, όπως αυτή χρησιμοποιήθηκε στην παρούσα εργασία. *Πνεύμων 2004, 17(2):186-194.*

ΕΙΣΑΓΩΓΗ

Λόγω της πρώιμης διασποράς του, ο μικροκυτταρικός καρκίνος πνεύμονος (ΜΚΠ) γενικά θεωρείται συστηματική νόσος. Πράγματι, κατά τον χρόνο της διάγνωσης τα δυο τρίτα των ασθενών παρουσιάζουν απομακρυσμένες μεταστάσεις¹. Η χημειοθεραπεία θεωρείται η βάση της αντιμετώπισης του ΜΚΠ, ιδίως στην εκτεταμένη νόσο. Ωστόσο, παρά την αποδειγμένη ευαισθησία του όγκου σε διάφορα χημειοθεραπευτικά φάρμακα και την παράταση της επιβίωσης των ασθενών με τη χοήση συνδυασμένης χημειοθεραπείας, η πρόγνωση των ασθενών με εκτεταμένο ΜΚΠ παραμένει γενικά πτωχή (διάμεση επιβίωση 7-9 μήνες) και το ποσοστό των ασθενών που επιβιώνει περισσότερο από 2 έτη δεν υπερβαίνει το 10%²⁻⁵.

Για να βελτιώσουμε την ανταπόκριση στη θεραπεία και τη διάρκεια της ύφεσης και τελικά να αυξήσουμε την επιβίωση των θεραπευομένων ασθενών με ΜΚΠ, χρειαζόμαστε νέα φάρμακα με σημαντική αντινεοπλασματική δράση κατά του όγκου αυτού. Η πακλιταξέλη (Π) ήταν το πρώτο δραστικό φάρμακο με μοναδικό μηχανισμό κυππαροτοξικότητας που εμφανίσθηκε τα τελευταία χρόνια. Σε προκλινικά πρότυπα όγκων, τόσο *in vitro* όσο και *in vivo*, η (Π) έχει δείξει σημαντική αντικαρκινική δραστικότητα^{6,7}. Σε μη προθεραπευμένους ασθενείς με εκτεταμένο ΜΚΠ, η Π ως μονοθεραπεία έδωσε ποσοστά ανταπόκρισης 34% και 68% σε μελέτες της Eastern Co-operative Oncology Group (ECOG) και της North Central Cancer Treatment Group, αντίστοιχα^{8,9}. Η Π έχει επίσης αποδειχθεί δραστική σε συνδυασμό με καρβοπλατίνη (Κ) σε προχωρημένο μη μικροκυτταρικό καρκίνο πνεύμονος (ΜΜΚΠ)¹⁰ και σε τριπλό συνδυασμό με Κ και ετοποσίδη σε ΜΚΠ¹¹.

Αν και η χημειοθεραπεία (Χ/Θ) στον εκτεταμένο ΜΚΠ θεωρείται παρογγορητική μάλλον παρά ριζική, στην παρούσα μελέτη Φάσης II επιχειρήσαμε να δώσουμε πλήρη Χ/Θ σε επιλεγμένους ασθενείς με ΜΚΠ (καλή λειτουργική κατάσταση) που δέχθηκαν να υποβληθούν στη θεραπεία αυτή. Σκοπός της μελέτης ήταν να εκτιμήσει την επιβίωση των ασθενών και την τοξικότητα ενός χημειοθεραπευτικού σχήματος με δυο διαφορετικές δόσεις Π σε συνδυασμό με σταθερή δόση Κ.

ΑΣΘΕΝΕΙΣ ΚΑΙ ΜΕΘΟΔΟΣ

Για τη μελέτη επιλέχθηκαν ασθενείς με αποδεδειγμένο ΜΚΠ, ηλικίας μέχρις 75 ετών, που είχαν καλή λειτουργική κατάσταση (ECOG 0-1), χωρίς σημαντική καρδιακή ανεπάρκεια και με φυσιολογική νεφρική και ηπατική λειτουργία. Τα χαρακτηριστικά των ασθενών φαίνονται στον Πίνακα 1 και οι κλινικές τους εκδηλώσεις κατά τη διάγνωση στον Πίνακα 2. Όλοι οι ασθενείς έδωσαν συγκατάθεση πριν από την εισαγωγή τους στη μελέτη. Κατά την ένταξη στη μελέτη λαμβανόταν πλήρες ιστορικό και γινόταν κλινική εξέταση, καθώς και γενικός αιματολογικός και βιοχημικός έλεγχος, ηλεκτροκαρδιογράφημα, ακτινογραφίες θώρακος, αξονικές τομογραφίες θώρακος και άνω κοιλίας, αξονική (ή σε ειδικές περιπτώσεις μαγνητική) τομογραφία εγκεφάλου, και σπινθηρογράφημα οστών, καθώς και ινοβρογχοσκόπηση. Οι εντοπίσεις των μεταστάσεων κατά τον χρόνο της διάγνωσης φαίνονται στον Πίνακα 3. Κανείς ασθενής με ηπατικές μεταστάσεις δεν είχε διαταραχή των ηπατικών ενζύμων κατά την ένταξη.

Το χημειοθεραπευτικό σχήμα περιλάμβανε Κ σε

Πίνακας 1. Χαρακτηριστικά των ασθενών

	Ομάδα A	Ομάδα B
Ενταγμένοι ασθενείς	76	78
Αξιολογήσιμοι	72	76
Άνδρες: Γυναίκες	68:4	73:3
Περιορισμένη νόσος	22 (30,5%)	40 (52,6%)
Εκτεταμένη νόσος	50 (69,5%)	36 (47,4%)
Διάμεση ηλικία (95% CI)		
Περιορισμένη	70 (67-72,9)	66 (62,9-69)
Εκτεταμένη	62 (57,4-66,6)	61 (59,4-62,6)
Λειτουργική κατάσταση (ECOG)		
Βαθμός 0	57 (78,9%)	60 (78,9%)
Βαθμός 1	15 (20,8%)	16 (21%)
Απώλεια βάρους		
0 kg	20	25
1-5 kg	38	44
>5 kg	10	11
Αύξηση βάρους	4	6

Πίνακας 4. Ανταπόκριση στη χημειοθεραπεία

	<i>Oμάδα A</i>	<i>Oμάδα B</i>
Κύκλοι X/Θ (διάμεση τιμή)	7	8
Ανταπόκριση:		
Συνολική (%)	63,1	66,6
Περιορισμένη νόσος: Αρ. ασθενών	22	40
CR/PR (%)	9 (40,9)/9 (40,9)	14 (35)/17 (42,5)
SD/PD (%)	3 (13,6)/1 (4,5)	8 (20)/1 (2,5)
Εκτεταμένη νόσος: Αρ. ασθενών	50	36
CR/PR (%)	3 (6)/27 (54)	3 (8,3)/18 (50)
SD/PD (%)	15 (30)/5 (10)	10 (27,8)/5 (13,9)

CR= πλήρης ανταπόκριση, PR= μερική ανταπόκριση, SD= σταθερή νόσος, PD= επιδείνωση νόσου

γυναίκες) και Β (76 ασθενείς, 3 γυναίκες). Τέσσερεις ασθενείς από την Ομάδα Α και δυο από την Ομάδα Β εξαιρέθηκαν από τη μελέτη λόγω παραβίασης των όρων του πρωτοκόλου. Παρόλο που οι δυο Ομάδες δεν ήταν τυχαιοποιημένες, δεν παρουσίαζαν σημαντικές διαφορές ως προς την ηλικία, το φύλο και την αρχική λειτουργική κατάσταση (PS). Ωστόσο υπήρχε μια διαφορά ως προς την έκταση της νόσου, με υπεροχή της εκτεταμένης νόσου (ED) στην Ομάδα Α και της περιορισμένης νόσου (LD) στην Ομάδα Β (Πίνακας 1).

Η ανταπόκριση στη X/Θ φαίνεται στον Πίνακα 4. Οι ασθενείς της Ομάδας Α έλαβαν συνολικά 487 κύκλους X/Θ, με διάμεση τιμή 7 κύκλων ανά ασθενή (95% CI: 6,6-7,4). Η συνολική ανταπόκριση (OR) ήταν 66,6% για ολόκληρη την Ομάδα (16,6% πλήρης ανταπόκριση [CR]). Οι ασθενείς με περιορισμένη νόσο (LD) είχαν OR 81,8% (40,9% CR) και εκείνοι με εκτεταμένη νόσο (ED) είχαν OR 60% (6% CR). Οι ασθενείς της Ομάδας Β έλαβαν συνολικά 514 κύκλους X/Θ, με διάμεση τιμή 8 κύκλων ανά ασθενή (95% CI: 7,7-8). Η OR ήταν 68,4%

για ολόκληρη την Ομάδα (22,3% CR). Ασθενείς με LD είχαν OR 77,5% (35% CR) και εκείνοι με ED είχαν OR 58,3% (8,3% CR).

Η συνολική διάμεση επιβίωση ήταν 270 ημέρες για την Ομάδα Α και 300 ημέρες για την Ομάδα Β (Πίνακας 5). Υπήρχε μια οριακά σημαντική διαφορά ($p=0.05$) υπέρ της Ομάδας Β που μπορεί να οφείλεται στην ύπαρξη μεγαλύτερης αναλογίας ασθενών με LD στην Ομάδα αυτή. Ο συνολικός διάμεσος χρόνος μέχρι την επιδείνωση της νόσου ήταν 200 ημέρες και για τις δύο Ομάδες. Δεν βρήκαμε στατιστικά σημαντική διαφορά στην επιβίωση ή τον χρόνο μέχρι την επιδείνωση κατά τη σύγκριση ασθενών με LD ή ED μεταξύ των δυο Ομάδων.

Τοξικότητα

Οι κύριες παρενέργειες της X/Θ φαίνονται στον Πίνακα 6, και στο μεγαλύτερο μέρος τους ήταν ήπιες και καλά ανεκτές. Ουδετεροπενία βαθμού 3/4 παρατηρήθηκε σε 5 ασθενείς (6,9%) της Ομάδας Α, αναιμία βαθμού 3 σε 4 ασθενείς (5,5%) και θρομβοπενία βαθ-

Πίνακας 5. Έκβαση των ασθενών

	<i>Oμάδα A</i>	<i>Oμάδα B</i>
Επιβίωση σε ημέρες [διάμεση (95% CI)]		
Συνολική	270 (222-318)	300 (247-353)
Περιορισμένη νόσος	360 (261-459)	335 (376-394)
Εκτεταμένη νόσος	240 (197-283)	240 (190-290)
Χρόνος μέχρι την επιδείνωση της νόσου σε ημέρες		
Συνολικός	200 (170-230)	200 (180-220)
Περιορισμένη νόσος	240 (197-283)	230 (167-293)
Εκτεταμένη νόσος	180 (145-215)	180 (151-209)

Πίνακας 6. Τοξικότητα της χημειοθεραπείας

	Ομάδα A		Ομάδα B	
	Ασθενείς	Κύκλοι	Ασθενείς	Κύκλοι
Αναιμία				
Βαθμού 3	4 (5,2%)	6	7 (10,2%)	11
Βαθμού 4	0		1	2
Ουδετεροπενία				
Βαθμού 3	5 (6,5%)	7	9 (14,1%)	13
Βαθμού 4	0		2	3
Θρομβοπενία				
Βαθμού 3	4 (5,2%)		1	
Νευροτοξικότητα				
Βαθμού 1	19 (25%)		13 (16,6%)	
Βαθμού 3	2		0	

μού 3 σε 4 ασθενείς (5,5%). Οι αντίστοιχες τιμές για την Ομάδα B ήταν 9 ασθενείς (11,8%), 7 ασθενείς (9,2%) και ένας ασθενής. Αιμωδίες στα δάκτυλα χεριών και ποδιών ανέφεραν 19 ασθενείς στην Ομάδα A και 13 ασθενείς στην Ομάδα B. Πιο σοβαρή νευροτοξικότητα παρουσίασαν δυο ασθενείς, που διέκοψαν τη Χ/Θ στον 6^ο και 7^ο κύκλο αντίστοιχα (οι ασθενείς αυτοί συμπεριλήφθηκαν στην αξιολόγηση των αποτελεσμάτων). Η συστηματική τοξικότητα φαίνεται στον Πίνακα 7.

Για τη μη καθυστέρηση της Χ/Θ, η αιματολογική τοξικότητα αντιμετωπίζόταν κατά περίπτωση με μεταγγίσεις ερυθρών αιμοσφαιρίων και/ή χορήγηση αιμοποιητικών παραγόντων (ερυθροποιητίνη, αυξητικός παράγων μακροφάγων-κοκκιοκυττάρων [GM-CSF]).

Πίνακας 7. Συστηματική τοξικότητα της χημειοθεραπείας

	Ομάδα A n=72 (%)	Ομάδα B n=76 (%)
Αλωπεκία	70 (97)	73 (96)
Ανορεξία	10 (13,8)	11 (14,5)
Κόπωση	9 (12,5)	11 (14,5)
Διάρροια	6 (8,3)	9 (11,8)
Έξαψη (κατά την έγχυση Π)	4 (5,5)	4 (5,2)
Αλλεργική αντίδραση (κατά την έγχυση Π)	4 (5,5)	4 (5,2)
Έντονος μετεωρισμός	2 (2,7)	4 (5,2)
Ήπια κατακράτηση υγρών	2 (2,7)	2 (2,6)

ΣΥΖΗΤΗΣΗ

Για πολλά χρόνια η αντιμετώπιση του ΜΚΠ βρισκόταν σε μια στασιμότητα, όπου η πρόοδος ήταν πολύ περιορισμένη. Η εμφάνιση νέων δραστικών χημειοθεραπευτικών παραγόντων, όπως οι ταξάνες, οδήγησε σε σχεδιασμό και αξιολόγηση νέων θεραπευτικών στρατηγικών, με σκοπό τη βελτίωση της ανταπόκρισης και την παράταση της επιβίωσης των ασθενών με την φονική αυτή νόσο.

Η παρούσα μελέτη άρχισε τον Φεβρουάριο του 1995, μια εποχή όπου οι γνώσεις ήσαν ακόμη περιορισμένες σχετικά με τις δυνατότητες των ταξάνων στον καρκίνο του πνεύμονος και ειδικότερα τον ΜΚΠ. Σήμερα, η πακτιαξέλη, το πρώτο φάρμακο της ομάδας αυτής, είναι ένα από τα πιο μελετημένα φάρμακα στον κόσμο, και πολλοί ερευνητές το περιλαμβάνουν στα σχήματα πρώτης γραμμής για ΜΚΠ. Η έρευνα συνεχίζεται ακόμη για να προσδιορισθεί τόσο το άριστο δοσολογικό σχήμα όσο και ο καλύτερος συνδυασμός της Π με άλλα αντιεπιλασματικά φάρμακα για την επίτευξη της καλύτερης δυνατής ανταπόκρισης στον ΜΚΠ.

Ο συνδυασμός Π και Κ έχει δεῖξει συνέργεια και αποτελεσματικότητα στον ΜΚΠ¹¹. Τα συγκεντρωμένα στοιχεία για το συνδυασμό Π και Κ δείχνουν ότι το κάθε φάρμακο μπορεί να χορηγηθεί με ασφάλεια σε εκπληκτικά μεγάλες δόσεις. Οι Langer και συν. έχουν χρησιμοποιήσει Π (135mg/m² σε 24ωρη έγχυση) και Κ (AUC

7,5) με εύκολα αντιμετωπίσιμη μυελοκαταστολή¹⁰. Οι Vafai και συν. βρήκαν ότι η Π (225mg/m² σε έγχυση 3 ωρών) μαζί με K (AUC 6) ήταν καλά ανεκτή από ασθενείς με προχωρημένο MMKP²¹. Και στις δυο μελέτες η συχνότητα της θρομβοπενίας ήταν μικρότερη από αυτή που θα αναμενόταν με παρόμοιες δόσεις καρβοπλατίνης σε μονοθεραπεία. Αυτό πιθανώς οφείλεται σε κάποια προστατευτική για τα αιμοπετάλια δράση που έχει ήδη καταγραφεί για τον συνδυασμό Π και K, για την οποία έχουν προταθεί πολλές ερμηνείες²⁵. Πράγματι, η συχνότητα θρομβοπενίας βαθμού 3 στους ασθενείς μας ήταν μόνο 3,3% (5/148 ασθενείς), παρόμοια με εκείνη που παρατηρήθηκε από τους Thomas και συν. (4%)¹⁵. Επίσης, μόνο 11/148 ασθενείς ανέπτυξαν αναιμία βαθμού 3 σε 17/1001 κύκλους χημειοθεραπείας (1,6%).

Στη μελέτη των Thomas και συν. η ουδετεροπενία ήταν η πιο σημαντική ανεπιθύμητη ενέργεια (27%)¹⁵. Στην παρούσα μελέτη, η συνολική συχνότητα της ουδετεροπενίας ήταν μόνο 6,5% στην Ομάδα A και 14,1% στην Ομάδα B, ίσως διότι οι κύκλοι της X/Θ δίνονταν κάθε 4 και όχι κάθε 3 εβδομάδες. Επιπλέον, η μελέτη των Thomas και συν περιλάμβανε μόνο ασθενείς με εκτεταμένη νόσο.

Σε αντίθεση με τη χαμηλή συχνότητα αλωπεκίας βαθμού 3 (9%) που καταγράφηκε από τον Thomas, σχεδόν όλοι οι ασθενείς μας (97%) ανέπτυξαν αλωπεκία. Μια άλλη εκδίλωση τοξικότητας στη μελέτη μας ήταν η περιφερική νευροπάθεια (συνολική συχνότητα 27,6% στην Ομάδα A), που ήταν βαριά σε δυο ασθενείς (2,6%), στους οποίους η X/Θ διακόπηκε. Η νευροτοξικότητα στους ασθενείς της Ομάδας A αντιμετωπίσθηκε με χορηγήση βιταμίνης B₆ (250 mg x 3) τις ημέρες 2-14 κάθε κύκλου X/Θ μόλις παρουσίαζαν συμπτώματα. Οι ασθενείς της Ομάδας B έπαιρναν βιταμίνη B₆ στο ίδιο δοσολογικό σχήμα από τον πρώτο κύκλο της X/Θ. Αυτή είναι μια πιθανή εξήγηση για το γεγονός ότι η συχνότητα νευροτοξικότητος στην Ομάδα B ήταν μόνο 17,1%, παρά το γεγονός ότι αυτοί οι ασθενείς έλαβαν υψηλότερη δόση πακλιταξέλης. Με βάση την εμπειρία αυτή θα μπορούσαμε να συστήσουμε την προληπτική χορηγήση B₆ σε όλους τους ασθενείς που λαμβάνουν ταξάνες. Ενδιαφέροντος είναι το γεγονός ότι 4 ασθενείς της μελέτης που ήδη λάμβαναν βιταμίνη B₆ παρουσίασαν έρπητα ζωστήρα με τυπικό δερματικό εξάνθημα, αλλά χωρίς συνοδό νευραλγία.

Ως προς την ανταπόκριση στη θεραπεία, δεν υπήρξε σημαντική διαφορά στη συνολική ανταπόκριση μεταξύ της Ομάδας A (66,6%) και της Ομάδας B (68,4%), παρόλο που η Ομάδα A περιλάμβανε ένα ασυνήθιστα υψηλό ποσοστό ασθενών με εκτεταμένη νόσο (ED) (Πίνακας 4). Τα αποτελέσματα αυτά φαίνονται να είναι κατώτερα από εκείνα των Reck και συν¹² σε 89 ασθενείς με MKP (32 με ED). Η χοήση τριπλού συνδυασμού Π, K και ετοποσίδης έδωσε συνολική ανταπόκριση 82% και διάμεση επιβίωση 585 ημερών, έναντι 270-300 ημερών στη δική μας μελέτη. Η επίπτωση της ουδετεροπενίας ήταν 45% (υπερτριπλάσια από αυτή της δικής μας μελέτης) με το τριπλό σχήμα, αν και δεν δημιουργήσε σημαντικά προβλήματα.

Στη μελέτη μας, ασθενείς με ED είχαν συνολική απόκριση 60% στην Ομάδα A και 58,3% στην Ομάδα B. Τα αντίστοιχα ποσοστά πλήρους ανταπόκρισης ήταν 6% και 8,3%. Τα αποτελέσματα αυτά είναι παρόμοια με εκείνα των Thomas και συν¹⁵ και Deppermann και συν.¹⁷ (ολική ανταπόκριση 61-67%, πλήρης ανταπόκριση 7-10%). Επίσης, δεν φαίνονται να διαφέρουν από τα αποτελέσματα της μελέτης SWOG 9705 σε 89 ασθενείς με MKP και ED που έλαβαν Π σε συνδυασμό με σισπλατίνη και ετοποσίδη¹⁸. Η διάμεση επιβίωση στη μελέτη αυτή ήταν 11 μήνες (3 μήνες μεγαλύτερη από εκείνη που παρατηρήσαμε στους δικούς μας ασθενείς), αλλά συνοδεύθηκε από 31% συχνότητα ουδετεροπενίας βαθμού 4 (διπλάσια από τη μελέτη μας). Σε 87 ασθενείς σημειώθηκαν 5 θάνατοι από τοξικότητα (4 ασθενείς πέθαναν από ουδετεροπενική σήψη) παρά την ταυτόχρονη χοήση G-CSF. Από την άλλη μεριά, οι Hainsworth και συν¹⁹ χρησιμοποίησαν τον τριπλό συνδυασμό πακλιταξέλης, καρβοπλατίνης και ετοποσίδης σε ασθενείς με MKP και ED και κατέγραψαν το ιδιαίτερα υψηλό ποσοστό ολικής ανταπόκρισης (84%).

Η διάμεση επιβίωση σε ασθενείς με ED στη μελέτη μας ήταν 8 μήνες και για τις δυο Ομάδες θεραπείας. Η τιμή αυτή είναι παρόμοια με εκείνη που καταγράφηκε στη μελέτη CALGB 9430 (7,6 μήνες) στην οποία ο συνδυασμός Π και σισπλατίνης δινόταν κάθε 3 εβδομάδες²⁰.

Τα ποσοστά ολικής ανταπόκρισης σε ασθενείς με LD στη μελέτη μας ήταν 81,8% στην Ομάδα A και 77,5% στην Ομάδα B (οι τιμές δεν είχαν σημαντική διαφορά). Είναι κατώτερα από τα αποτελέσματα της μελέτης των Hainsworth και συν¹⁹, στην οποία η προσθήκη ετοποσί-

δης στο συνδυασμό Π-Κ αύξησε το ποσοστό ολικής ανταπόκρισης σε ασθενείς με LD σε 98%. Υπήρχε επίσης σημαντική διαφορά στη διάμεση επιβίωση των ασθενών με LD στις δυο μελέτες (12 μήνες στη δική μας μελέτη έναντι 20 μηνών στη μελέτη του Hainsworth). Τα εντυπωσιακά αποτελέσματα του Hainsworth δεν έχουν επαναληφθεί από καμιά άλλη ερευνητική ομάδα.

Στη μελέτη μας, η χοήση αυξημένης δόσης πακλιταξέλης σε συνδυασμό με καρβοπλατίνη δεν φάνηκε να επηρεάζει σημαντικά την ανταπόκριση ή την επιβίωση των ασθενών με ΜΚΠ. Ο διπλός συνδυασμός καρβοπλατίνης και πακλιταξέλης (ανεξάρτητα από τη δόση) σε ασθενείς με ED έδωσε αποτελέσματα παρόμοια με εκείνα που παρατηρήθηκαν με παλαιότερα σχήματα όπως CAV (κυκλοφωραφαμίδη, δοξορουβικίνη, βινκριστίνη), VIP (βινκριστίνη, ιφωσφαμίδη, σισπλατίνη) και PE (ένα ανάλογο πλατίνης με ετοποσίδη)²¹⁻²⁷. Υπάρχουν βιβλιογραφικές ενδείξεις ότι η προσθήκη ενός τρίτου φαρμάκου, όπως η ετοποσίδη, στο συνδυασμό πακλιταξέλης/πλατίνης βελτιώνει τόσο τα ποσοστά ανταπόκρισης όσο και την επιβίωση ασθενών με ΜΚΠ, ιδίως εκεί-

νων με LD. Στην περίπτωση αυτή υπάρχει αντίστοιχη αύξηση της τοξικότητος, η οποία όμως φαίνεται να είναι αντιμετωπίσιμη^{19,23}. Το πεδίο έρευνας των ταξιανών σε διάφορους διπλούς ή τριπλούς συνδυασμούς με παλαιά και νεότερα φάρμακα (π.χ. καμπτοθηκίνες ή γεμισταβίνη) σε περαιτέρω μελέτες φάσης II και III φαίνεται ότι παραμένει ανοικτό.

Είναι αυτονόητο ότι η αντιμετώπιση ασθενών με προχωρημένο ΜΚΠ με χημειο- και ακτινοθεραπεία δεν βρίσκεται ίσως σύμφωνους όλους τους ειδικούς. Επιλέξαμε τη τακτική αυτή λαμβάνοντας υπόψη την καλή λειτουργική κατάσταση των περισσοτέρων ασθενών μας. Με βάση την εμπειρία μας, αλλά και αυτή των άλλων ερευνητών, πιστεύουμε ότι, εφόσον δεν υπάρχουν άλλες αντενδείξεις, μόνο του το προχωρημένο στάδιο του ΜΚΠ δεν θα πρέπει να αποτρέπει τους ογκολόγους από τη χορήγηση θεραπείας σε τέτοιους ασθενείς. Το ιδανικό θεραπευτικό σχήμα για την περίπτωση αυτή, με την καλύτερη σχέση αποτελεσματικότητας/τοξικότητας, εξακολουθεί να αποτελεί αντικείμενο της παγκόσμιας ερευνητικής προσπάθειας.

SUMMARY

A study of paclitaxel in two dose combinations with carboplatin for the treatment of small cell lung cancer

**Zarogoulides K., Kontakiotis Th., Chatziapostolou P., Papayiannis A., Goutsikas I.,
Ksafenias A., Kotsis P., Patakas D.**

Taxanes are increasingly used in the management of small cell lung cancer (SCLC), but optimal dose and combination with other antineoplastic agents remains to be determined. We used two different dosage regimens of paclitaxel (P) in combination with carboplatin (C) in 148 chemotherapy-naïve SCLC patients (age up to 75 years, WHO performance status 0-1) divided in two groups. All patients received C (AUC=6) with P at a dose of either 175 mg/m² (Group A, 76 pts [68 men]) or 190 mg/m² (Group B, 78 pts [73 men]), all given on day 1. The regimen was repeated every 28 days for up to 8 cycles. All responders received radiotherapy at the primary tumor site (48 Gy given over 4 weeks) between cycles 6 and 8. Complete responders were given additional prophylactic cranial irradiation. The overall response (OR) rate was 63.1% in Group A (LD: 81.1%, ED: 60%), and 66.6% in Group B (LD: 77.5%, ED: 58.3%) [not significant difference]. Median survival was 270 days in Group A (95% CI: 222-318) and 300 days in Group B (95% CI: 247-352) [p=0.05]. The median time to progression was 200 days in both groups. Toxicity: grade 3/4 neutropenia: 6.5% in Group A, 14.1% in Group B; grade 3/4 anaemia: 5.2% and 10.2%; grade 3 thrombocytopenia: 5.2% and 1.2%; and grade 1/2 neurotoxicity: 27% and 16.6%, respectively. Compared to conventional regimens in the management of SCLC, the combination of P with C is equally effective and well tolerated. There is no

significant difference in response or survival rates with the higher dose of P, as indicated in the present study. Pneumon 2004; 17(2):186-194.

Key words: Taxol, paclitaxel, carboplatin, small cell lung cancer, chemotherapy

ΒΙΒΛΙΟΓΡΑΦΙΑ

1. Ihde DC. Chemotherapy of lung cancer. N Engl J Med 1992; 327:1434-1441.
2. Souhami RL, Geddes DM, Spiro SG, et al. Radiotherapy in small cell cancer of the lung treated with combination chemotherapy: a controlled trial. BMJ 1984; 288:1643-1646.
3. Seifer EJ, Ihde DE. Therapy of small cell lung cancer: a perspective of two decades of clinical research. Semin Oncol 1988; 15:278-299.
4. Fukuoka M, Masuda N, Ariyoshi Y. Therapeutic approach to disseminated small cell lung cancer. In: Aisner J, Arriagada R, Green MR, Martini N, Perry MC, eds. Comprehensive Textbook of Thoracic Oncology. Baltimore: Williams & Wilkins, 1996: 496-511.
5. DeVore III RF, Johnson DH. Chemotherapy of small cell lung cancer. In: Pass HI, Mitchell JB, Johnson DH, Turrissi AT. Lung Cancer: Principles and Practice. Philadelphia: Lippincott-Raven, 1996: 825-835.
6. Clinical brochure: Taxol (NSC-125973). National Cancer Institute, Bethesda MD, 1983.
7. Liebmann JE, Cook JA, Lipschutz C, et al. Cytotoxic studies of paclitaxel (Taxol) in human tumor cell lines. Br J Cancer 1993; 68:1104-1109.
8. Ettinger DS, Finkelstein DM, Sarma RP, et al. Phase II study of paclitaxel in patients with extensive-disease small cell lung cancer: an Eastern Cooperative Oncology Group Study. J Clin Oncol 1995; 13:1430-1435.
9. Kirschl R, Lung SH, Jett JR. A phase II trial of taxol and G-CSF in previously untreated patients with extensive stage small cell lung cancer (abstract). Proc Am Soc Clin Oncol 1994; 13:326.
10. Langer CJ, Leighton JC, Comis RL, et al. Paclitaxel and carboplatin combination in the treatment of advanced non small cell lung cancer: a phase II toxicity, response and survival analysis. J Clin Oncol 1995; 13:1860-1870.
11. Hainsworth JD, Stroup SL, Greco FA. Paclitaxel, carboplatin, and extended schedule etoposide in the treatment of small cell lung carcinoma. Cancer 1996; 77:2458-2463.
12. Vafai D, Israel V, Zaretsky S, Natale RB. Phase I/II trial of combination carboplatin and taxol in non small cell lung cancer (NSCLC) (abstract). Proc Am Soc Clin On- col 1995; 14:352.
13. van Warmerdam LJ, Huizing MT, Giaccone G, et al. Clinical pharmacology of carboplatin administered in combination with paclitaxel. Semin Oncol 1997; 24(Suppl 2):S2-97-104.
14. Kearns CM, Belani CP, Erkmen K et al. Reduced platelet toxicity with combination carboplatin and paclitaxel: pharmacodynamic modulation of carboplatin associated thrombocytopenia. Proc Am Soc Clin Oncol 1995; 14:170(abstract 364).
15. Thomas P, Lena H, Robinet G et al, for Group français de pneumo-cancerologie (GFPC). Preliminary report on paclitaxel/carboplatin phase II multicentric trial in patients with metastatic small cell lung cancer (SCLC). Proc Am Soc Clin Oncol 1999; 18:519a(abstract 2000).
16. Reck M, Jagos U, Kaukel E et al. Chemotherapy of limited stage small cell lung cancer (SCLC) with carboplatin, paclitaxel and oral etoposide (TEC)—a phase II trial. Proc Am Soc Clin Oncol 1999; 18:489a(abstract 1887).
17. Deppermann KM, Serke M, Oehm C et al. Paclitaxel (TAX) and carboplatin (CBDA) in advanced SCLC: a phase II study. Proc Am Soc Clin Oncol 1999; 18:482a (abstract 1860).
18. Bunn PA, Kelly K, Crowley J et al. Preliminary toxicity results from Southwest Oncology Group (SWOG) trial 9705: a phase II trial of cisplatin, etoposide and paclitaxel (PET) with G-CSF in untreated patients (PTS) with extensive small cell lung cancer (SCLC). Proc Am Soc Clin Oncol 1999; 18:468a(abstract 1807).
19. Hainsworth JD, Gray JR, Stroup SL, et al. Paclitaxel, carboplatin, and extended-schedule etoposide in the treatment of small-cell lung cancer: comparison of sequential phase II trials using different dose intensities. J Clin Oncol 1997; 15:3464-3470.
20. Lyss AP, Herndon JE, Lynch TC et al. Paclitaxel (P) + cisplatin (C) + G-CSF (G) in patients with previously untreated extensive stage small cell lung cancer (E-SCLC): preliminary analysis of Cancer and Leukemia Group B (CALGB) 9430. Proc Am Soc Clin Oncol 1999; 18:468a(abstract 1806).
21. Joos G, Pinson P, Van Renterghem D et al. A randomized study comparing vincristine, Adriamycin, cyclophos-

- phamide (VAC) to carboplatin, etoposide (CE) in previously untreated small cell lung cancer (SCLC). Proc Am Soc Clin Oncol 1999; 18:470a(abstract 1812).
22. Hutchinson K, Edelman MJ, Gandara DR et al. Feasibility study of cisplatin/ etoposide (PE) with concurrent radiotherapy (XRT) followed by paclitaxel/ carboplatin (TC) consolidation in limited stage small cell lung cancer (LSCLC). Proc Am Soc Clin Oncol 1999; 18:509a (abstract 1964).
 23. Levitan N, Dowlati A, Craffey M et al. A multi-institutional phase I/II trial of paclitaxel, cisplatin, and etoposide with concurrent radiation and Filgrastim support for limited-stage small cell lung carcinoma (LS-SCLC). Proc Am Soc Clin Oncol 1999; 18:469a(abstract 1809).
 24. Luikart SD, Goutsou M, Mitchell ED, et al. Phase I/II trial of etoposide and carboplatin in extensive small-cell lung cancer. A report from the Cancer and Leukemia Group B. Am J Clin Oncol 1993; 16:127-131.
 25. Kosmidis PA, Samantas E, Fountzilas G, et al. Cisplatin/etoposide versus carboplatin/etoposide chemotherapy and irradiation in small cell lung cancer: a randomized phase III study. Semin Oncol 1994; 21(suppl 6):23-30.
 26. Johnson DH, Ruckdeschel JC, Keller JH, et al. A randomized trial to compare intravenous and oral etoposide in combination with cisplatin for the treatment of small cell lung cancer. Cancer 1991; 67:245-249.
 27. Einhorn LH, Loehrer PJ. Hoosier Oncology Group studies in extensive and recurrent small cell lung cancer. Semin Oncol 1995; 22(suppl 2):28-31.

Ασθενής με σύνδρομο οξείας αναπνευστικής δυσχέρειας σχετιζόμενο με μετάγγιση παραγώγων αίματος

Ε. Μουλούδη¹,
Χ. Αλεξοπούλου¹,
Π. Μαλλιωτάκης¹,
Ε. Μαριδάκης¹,
Ε. Λυδάκη²,
Δ. Γεωργόπουλος¹

¹Κλινική Εντατικής Θεραπείας και ²Σταθμός Αιμοδοσίας Πανεπιστημιακού Νοσοκομείου Ηρακλείου, Ηράκλειο, Κρήτη

Λέξεις κλειδιά: Υποξυγοναιμία, σύνδρομο οξείας αναπνευστικής δυσχέρειας (ARDS), μετάγγιση παραγώγων αίματος, μη-επεμβατικός μηχανικός αερισμός

Αλληλογραφία:
Ελένη Μουλούδη,
Μαντινείας 85 και Νάτσινα 7,
Τ.Κ. 54248, Θεσ/νίκη,
Τηλ. 2310330049, 6977986099

ΠΕΡΙΛΗΨΗ. Περιγράφεται περίπτωση ασθενούς 16 ετών με σύνδρομο οξείας αναπνευστικής δυσχέρειας (ARDS) σχετιζόμενο με μετάγγιση παραγώγων αίματος, για το οποίο η ασθενής υποστηρίχθηκε με μη-επεμβατικό μηχανικό αερισμό για 72 συνεχείς ώρες με σταδιακή βελτίωση της οξυγόνωσής της. Αναφέρονται η αιτιοπαθογένεια, η επιδημιολογία, τα κλινικά ευρήματα, ο τρόπος διάγνωσης καθώς και η θεραπευτική προσέγγιση του συνδρόμου.
Πνεύμων 2004, 17(2):203-206.

ΠΑΡΟΥΣΙΑΣΗ ΠΕΡΙΣΤΑΤΙΚΟΥ

Γυναίκα 16 ετών, με ελεύθερο ιστορικό, μεταφέρεται σε επαρχιακό γενικό νοσοκομείο μετά από τροχαίο ατύχημα με δίκυκλο, αιμοδυναμικά σταθερή και με άριστο επίπεδο συνειδησης. Λόγω κλινικής εικόνας οξείας κοιλίας η ασθενής υπεβλήθη σε απεικονιστικό έλεγχο με αξονική τομογραφία (CT) άνω και κάτω κοιλίας, η οποία ανέδειξε τα εξής ευρήματα: Εκτεταμένες πακώσεις δεξιού λοβού ήπατος, που εκτείνονταν έως τα όρια δεξιού-αριστερού ηπατικού λοβού, με στοιχεία ενεργού αιμορραγίας, εκσεσημασμένη ποσότητα ελεύθερου υγρού ενδοπεριτοναϊκά, ωρίξη δεξιού νεφρού με συνοδό απουσία αιμάτωσης του κάτω ημίσεως αυτού καθώς και ευμέγεθες οπισθοπεριτοναϊκό αιμάτωμα.

Η ασθενής οδηγήθηκε στο χειρουργείο, όπου υπεβλήθη σε αφαίρεση τμήματος του ήπατος, χολοκυστεκτομή και νεφρεκτομή δεξιά.

Διεγχειρητικά η ασθενής μεταγγίσθηκε με 6 μονάδες συμπυκνωμένα ερυθρό (ΣΕ) και 2 μονάδες φρέσκου κατεψυγμένου πλάσματος (FFP).

Τρεις ώρες μετά το τέλος της χειρουργικής επέμβασης η ασθενής μεταφέρθηκε μέσω EKAB (αερομεταφορά) στη ΜΕΘ του νοσοκομείου μας, διασωληνωμένη, υπό καταστολή, αιμοδυναμικά σταθερή (ΑΠ 110/75 mmHg, ΚΣ 92/min).

Η ασθενής τέθηκε αρχικά σε ελεγχόμενο μηχανικό αερισμό σταθερής πίεσης με εισπνευστική πίεση 20 cm H₂O και θετική τελικοεκπνευστική πίεση (PEEP) 5 cm H₂O, αναπνευστική συχνότητα (RR) 15/min, αναπνεόμενο όγκο (Vt) 360ml (8 ml/Kg B.Σ.) και κατά λεπτό αερισμό (VE) 5.4 L/

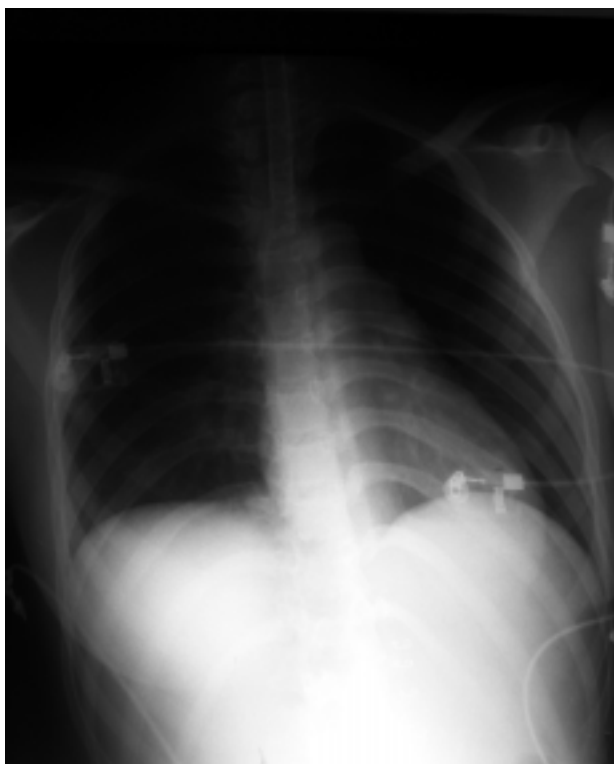
min. Η ανάλυση αερίων αρτηριακού αίματος με πυκνότητα εισπνεόμενου οξυγόνου 30% ($\text{FiO}_2 0,3$) ήταν: pH: 7.44, PaO_2 : 138 mmHg, PaCO_2 : 37 mmHg, HCO_3 : 24 mmol/L, Sat: 97%.

Η α/α θώρακος εισόδου στη ΜΕΘ ήταν χωρίς σαφή παθολογικά ευρήματα (Εικόνα 1).

Τρεις ώρες μετά την εισαγωγή της στη ΜΕΘ η ασθενής, παραμένουσα αιμοδυναμικά σταθερή, αποσωληνώθηκε επιτυχώς.

Η ανάλυση αερίων αρτηριακού αίματος με πυκνότητα εισπνεόμενου οξυγόνου 28% ($\text{FiO}_2 0,28$) ήταν: pH: 7.36, PaO_2 : 86 mmHg, PaCO_2 : 44 mmHg, HCO_3 : 24 mmol/L, Sat 97%.

Δύο ώρες μετά την αποσωλήνωσή της η ασθενής, στο πλαίσιο επανελέγχου, μεταφέρθηκε για νέα CT κοιλίας ενώ παράλληλα συνεχίζόταν οι μεταγγίσεις παραγώγων αίματος. Κατά τη διάρκεια της εξέτασης η ασθενής εμφάνισε αιφνίδια κυάνωση και υποξυγοναιμία (Sat 65%), υποστηρίχθηκε με Ambu και $\text{FiO}_2 1,0$ ενώ παράλληλα χορηγήθηκαν 10 mg φουροσεμίδης και 250 mg υδροκορτιζόνης. Η ανάλυση αερίων αρτηριακού αίματος με $\text{FiO}_2 1,0$ ήταν: pH: 7.33, PaO_2 : 43 mmHg, PaCO_2 :



Εικόνα 1. Ακτινογραφία θώρακος εισόδου.

47 mmHg, HCO_3 : 23 mmol/L, Sat: 80%.

Με Sat 90% και με καλό επίπεδο συνείδησης, η ασθενής μεταφέρθηκε στη ΜΕΘ, όπου λόγω ανθεκτικής υποξυγοναιμίας ($\text{PaO}_2/\text{FiO}_2 = 73$) ετέθη σε μη επεμβατικό μηχανικό αεροισμό (NIMV) (BiPAP Vision: IPAP=16 cm H₂O, EPAP=9 cm H₂O).

Η ανάλυση αερίων αρτηριακού αίματος με $\text{FiO}_2 0,75$ ήταν: pH: 7.39, PaO_2 : 62 mmHg, PaCO_2 : 44 mmHg, HCO_3 : 26 mmol/L, Sat: 91%. Η α/α θώρακος ανέδειξε εικόνα συμβατή με ARDS (Εικόνα 2). Η ασθενής δεν εμφάνιζε κλινικά σημεία αριστερής καρδιακής ανεπάρκειας και η κεντρική φλεβική πίεση της ήταν 3 cm H₂O. Παρέμεινε σε NIMV για 3 συνεχείς ημέρες με σταδιακή βελτίωση της ανταλλαγής αερίων.

Η ασθενής απύρετη, αιμοδυναμικά σταθερή και με ικανοποιητική πλέον οξυγόνωση ($\text{PaO}_2/\text{FiO}_2 = 268$) μεταφέρθηκε 2 ημέρες μετά τη διακοπή του NIMV στη χειρουργική κλινική για περαιτέρω αντιμετώπιση.

Α/α θώρακος εξόδου: Σαφής υποχώρηση κυψελιδικών διηθημάτων.

ΣΥΖΗΤΗΣΗ

Η παθογένεια του σχετιζόμενου με μετάγγιση παραγώγων αίματος συνδρόμου οξείας βλάβης πνεύμονος (transfusion-related acute lung injury, TRALI) αποδίδεται κυρίως στην αντίδραση αντισωμάτων του ορού του δότη με αντιγόνα των λευκοκυττάρων του λήπτη. Έχουν



Εικόνα 2. Ακτινογραφία θώρακος της ασθενούς κατά την εκδήλωση του ARDS. Αναγνωρίζονται αμφοτερόπλευρα κυψελιδικά διηθήματα.

Η θεραπεία του TRALI παραμένει υποστηρικτική (οξυγονοθεραπεία, μηχανικός αερισμός).

Η χορήγηση διουρητικών οφείλει να γίνεται με προσοχή, εξαιτίας του κινδύνου πρόκλησης υπότασης σε ασθενείς με ελαττωμένο ενδαγγειακό όγκο. Ο ρόλος της χορήγησης κορτικοστεροειδών δεν έχει επιβεβαιωθεί σε προοπτικές μελέτες¹⁴.

Σε υποψία TRALI πρέπει να ενημερώνεται αμέσως ο σταθμός αιμοδοσίας. Ο λόγπτης δεν λαμβάνει άλλο παράγωγο αίματος από τον ίδιο δότη, ο δε δότης υποβάλ-

λεται σε έλεγχο για αντισώματα και για πιθανή συσχέτιση με αντιδράσεις σε άλλους λόγπτες, ενώ αποκλείεται πλέον ως δότης¹³.

Οι πολυτόκες δεν πρέπει να αποκλείονται εξ' ορισμού ως δότριες, αφού αποτελούν το 1,5% του συνόλου των δοτών παραγώγων αίματος. Τα παραγώγα αίματος εξακολουθούν να αποτελούν ένα από τα σπουδαιότερα δώρα μας προς το συνάνθρωπο μας στην προσπάθειά μας να σώσουμε τη ζωή του.

SUMMARY

A patient with transfusion-related ARDS

E. Mouloudi, C. Alexopoulou, P. Malliotakis, E. Mamidakis, E. Lidaki, D. Georgopoulos

We present a case of a 16-year old female patient with transfusion-related ARDS, which necessitated the use of non-invasive mechanical ventilation for 72 hours. We discuss the pathogenesis of this syndrome as well as its epidemiology, clinical findings, diagnosis and treatment. Pneumon 2004; 17(2):203-206.

Key words: hypoxemia, ARDS, transfusion, non-invasive mechanical ventilation

ΒΙΒΛΙΟΓΡΑΦΙΑ

1. Silliman CC, Boshkov LK, Mehdizadehkashi Z, Elzi DJ. Transfusion-related acute lung injury: epidemiology and a prospective analysis of etiologic factors, *Blood*, 2003; 101:454-462.
2. Popovsky MA. Transfusion and Lung injury, *Transfusion clinique et biologique*, 2001, 8:272-277.
3. Popovsky MA, Moore SB. In: Diagnostic and pathogenetic consideration in transfusion-related acute lung injury, *Transfusion*, 1985; 16:573-577.
4. Reissman P, Manny N, Shapira SC, et al, Transfusion-related adult respiratory distress syndrome, *Isr J Med Sci*, 1993; 29:303-305.
5. Popovsky MA, Abel MD, Moore SM. In: Transfusion-related acute lung injury associated with passive transfer of antileukocyte antibodies, *Am Rev Respir Dis*, 1983; 84:185-189.
6. Henderson RA, Pinder L. Acute transfusion reactions. *N Z Med J*, 1990; 103:509-514.
7. Silliman C, Pitman J, Thurman G et al. Neutrophil (PMN) priming agents develop in patients with transfusion-related acute lung injury abstract, *Blood* 1992; 41(Suppl 1):261-261.
8. Popovsky MA, Chaplin HC, Moore SB Jr. In: Transfusion-related acute lung injury: a neglected, serious com-
- lication of hemotherapy, *Transfusion*, 1992; 25:589-592.
9. Wallis JP. Transfusion-related acute lung injury (TRALI) under-diagnosed and under-reported, *BJA*, 2003; 90(5):573-576.
10. Weber JG, Warner MA, Moore SB. What is the incidence of perioperative transfusion-related acute lung injury?, *Anesthesiology*, 1995; 82:789.
11. Clarke G, Podowsky L, Petrie L et al. Severe respiratory reactions to random donor platelets: an incidence and nested case-control study abstract, *Blood* 1994; 319(Suppl 1):465-465.
12. Popovsky MA, Haley NR. Further characterization of transfusion-related acute lung injury: demographics, clinical and laboratory features and morbidity, *Immunohematology*, 2000; 34:157-159.
13. Kopko PM, Marshall CS, MacKenzie MR, et al. Transfusion-related lung injury: report of a clinical look-back investigation, *JAMA*, 2002; 287:1968-1971.
14. Kopko PM, Holland PV. Transfusion-related acute lung injury. *Br J Haematol*, 1999; 105:322-329.
15. Palfi M, Berg S, Ernerudh J, Berlin G. A controlled randomized study on transfusion-related acute lung injury: is plasma from multiparous blood donors dangerous?, *Transfusion*, 2001; 41:317-322

Ενδιαφέρον Περιστατικό

Αμφοτερόπλευρες οξώδεις σκιάσεις πνευμόνων σε ενήλικα ασθενή

Α. Κοπανάκης¹,
Χ. Μυστακέλλη¹,
Φ.Π. Κοκκίνης¹,
Π. Καρκαλέτσης¹,
Σ. Λεγάκη²,
Ε. Καστανάκης¹,
Ν. Καραγιαννίδης¹,
Μ. Πατενταλάκης³

¹Γ' Πνευμονολογική Κλινική, ²Παθολογοανατομικό Τμήμα, ³Μονάδα Επαγγελματικών Νοσημάτων και Φυματίωσης, "Σιαμανογλείου" Γ.Π.Ν. Αθηνών

Λέξεις κλειδιά: Κρυπτογενής οργανούμενη πνευμονία ή αποφρακτική βρογχιολίτιδα οργανούμενη πνευμονία, οξώδεις σκιάσεις πνευμόνων, ανοιχτή βιοψία

ΠΕΡΙΛΗΨΗ: Παρουσιάζεται περίπτωση ασθενούς ηλικίας 58 ετών, καπνιστή προ 10ετίας (30 pack/years), που προσήλθε στην κλινική μας λόγω εμφάνισης οξωδών σκιάσεων πνευμόνων. Η υπολογιστική τομογραφία άνω και κάτω κοιλίας ήταν χωρίς ευρήματα και η βρογχοσκόπηση ανέδειξε ενδοβρογχικές αλλοιώσεις χρόνιας ενεργού φλεγμονής. Ο ασθενής υποβλήθηκε τελικά σε ανοιχτή βιοψία πνεύμονος, με λήψη πνευμονικού παρεγχύματος που περιείχε οξο. Η παθολογοανατομική εξέταση ανέδειξε αλλοιώσεις αρρητικές για κακοήθεια και αποδεικτικές για κρυπτογενή οργανούμενη πνευμονία – αποφρακτική βρογχιολίτιδα οργανούμενη πνευμονία (COP – BOOP). Πρόκειται για νόσο που χαρακτηρίζεται από ιστολογική εικόνα πολλαπλασιαστικής βρογχιολίτιδας με περιοχές οργανούμενης πνευμονίας. Η ανοιχτή βιοψία πνεύμονος ή με VATS θεωρείται η βασική διαγνωστική μέθοδος. Η ακτινολογική απεικόνιση με παρουσία αμφοτερόπλευρων οξωδών σκιάσεων πνευμόνων είναι σπάνια εκδήλωση της BOOP. *Πνεύμων 2004, 17(2):207-212.*

ΕΙΣΑΓΩΓΗ

Η κρυπτογενής οργανούμενη πνευμονία ή κατά άλλους αποφρακτική βρογχιολίτιδα οργανούμενη πνευμονία (COP ή BOOP), είναι μία σπάνια ανοσολογική διαταραχή. Οφείλεται σε διάφορα κλινικά σύνδρομα (δευτεροπαθής) ή είναι ιδιοπαθής. Κλινικώς παρουσιάζεται μιμούμενη πνευμονία της κοινότητας βραδέως λυομένη, με συχνότερη ακτινολογική εικόνα τις κυψελιδικού τύπου σκιάσεις κυρίως κατά την περιφέρεια των πνευμόνων χωρίς προσβολή των άνω λοβών.

Παρουσιάζεται σπάνια περίπτωση ασθενούς με BOOP που η ακτινολογική απεικόνιση είναι οξώδεις σκιάσεις πνευμόνων άμφω, χωρίς άλλες ακτινολογικές αλλοιώσεις.

Αλληλογραφία:
 Α. Κοπανάκης,
 Εκάβης 71-73
 111 46 Γαλάται, Αττική,
 Τηλ. 6974 002 594

ΠΕΡΙΓΡΑΦΗ ΠΕΡΙΠΤΩΣΕΩΣ

Πρόκειται για άνδρα ηλικίας 58 ετών που προσέρχεται στην αλινική μας, για διερεύνηση καταβολής, δύσπνοιας στην κόπωση και μικρής απώλειας βάρους (5 Kgr) από διάστημα, καθώς επίσης και δεκατικής πυρετικής κίνησης (έως 37,8⁰C) κυρίως κατά τις απογευματινές και νυχτερινές ώρες από 15ημέρουν. Προ 8μήνου αναφέρεται ότι ο ασθενής υποβλήθηκε σε ακτινογραφία θώρακος, στο πλαίσιο του επαγγελματικού ελέγχου, που γνωματεύθηκε ως φυσιολογική. Ο ασθενής εργάζόταν ως σιδεράς μέχρι προ 15ετίας, στη συνέχεια ως ιδιοκτήτης καφενείου, ήταν καπνιστής μέχρι προ 10ετίας και κατανάλωνε αλκοόλ σε μικρή ποσότητα (ένα με δύο ποτά ημερησίως). Από το ατομικό ιστορικό είχε υποβληθεί σε επέμβαση ορινικού διαφράγματος σε ηλικία 18 ετών, παρουσίαζε αλλεργική ορινίτιδα (που εμμένει από 10ετίας) και πολύποδες ορινός (χειρουργική αφαιρεση προ 8ετίας, νέες επεμβάσεις λόγω υποτροπής προ 6ετίας και προ 2ετίας). Από το οικογενειακό ιστορικό δεν υπήρχε κάτι αξιοσημείωτο.

Ο ασθενής παρουσίαζε καλή όψη και θρέψη και ήταν περιπατητικός. Αναπνευστικό σύστημα: Με φυσιολογικό αναπνευστικό ψιθύρισμα άμφω, χωρίς κυάνωση, χωρίς πληκτροδακτυλία. Πεπτικό: Κοιλιά ευπίεστη και ανώδυνη, παρόντες εντερικοί ήχοι, υποχόνδρια: φυσιολογικά, Λεμφικό: Δεν ψηλαφώνται διογκωμένοι περιφερικοί λεμφαδένες. Τα λοιπά συστήματα δεν παρουσίαζαν παθολογικά ευρήματα.

Ο εργαστηριακός έλεγχος κατέδειξε οριακή λευκοκυττάρωση στη γενική αίματος με Ht:42%, Hb:13,5 gr/dl, λευκά: 10180 κκχ (Π: 70%, Λ: 22%, Β: 0,5%, Η: 1,5%, Μ: 6%), PLT: 470.000 κκχ και αύξηση της ταχύτητας καθίζησης ερυθρών: 90mm (1η ώρα). Η γενική ούρων ήταν φυσιολογική. Ο βιοχημικός έλεγχος ήταν φυσιολογικός με σάκχαρο: 108 mg/dl, ουρία: 35,3 mg/dl, Κρεατινίνη: 0,73 mg/dl, ολική χολερούθρηνη: 0,65 mg/dl, Αμεση χολερούθρηνη: 0,12 mg/dl, SGPT: 31 IU/L, SGOT: 20 IU/L, AL-P: 88 IU/L, γ-GT: 88 IU/L, LDH: 360 IU/L, CPK: 112 IU/L, Na: 146 mEq/L, K: 4,5 mEq/L. Ο χρόνος προθρομβίνης ήταν επίσης φυσιολογικός με PT 11,2" με χρόνο μάρτυρα 11,9", INR: 0,94. Τα αέρια αίματος παρουσίαζαν αυξημένη κυψελιδοαρτηριακή διαφορά (42 mmHg), αλλά όχι σημαντική υποξυγοναιμία με pO₂: 75mmHg, pCO₂: 40 mmHg, pH: 7,36, HCO₃: 23mEq/L. Η Mantoux παρουσιάστηκε θετική με διάμετρο σκλη-

ρίας 14 mm.

Η ακτινογραφία θώρακος Face και Profil παρουσίαζε διάσπαστες σε όλα τα πνευμονικά πεδία οξώδεις σκιάσεις άμφω με σαφές περίγραμμα, διαμέτρου ενός έως τριών εκατοστών χωρίς αεροβρογχόρραμμα εντός αυτών και χωρίς να υφίστανται τήξη (Εικόνα 1).

Η διαγνωστική προσπέλαση που ακολουθήθηκε ήταν η παρακάτω:

Ο ασθενής αρχικά υποβλήθηκε σε υπολογιστική τομογραφία θώρακος όπου παρατηρήθηκαν πολλαπλές διάσπαστες οξώδεις σκιάσεις άμφω, με τη μορφολογία που ήδη είχαν περιγραφτεί στη απλή ακτινογραφία, που συνηγορούσαν υπέρ δευτερογενών εντοπίσεων. Δεν διαπιστώθηκαν διογκωμένοι λεμφαδένες (Εικόνα 2). Η υπολογιστική τομογραφία άνω-κάτω κοιλίας δεν παρουσίαζε παθολογικά ευρήματα. Οι εξετάσεις πτυέλων σε πολλαπλά δείγματα για B-Koch (άμεση εξέταση και θα ακολουθούσε καλλιέργεια) και κυτταρολογική ήταν αρνητικές. Η διαχυτική ικανότητα μετρήθηκε φυσιολογική στο 90% της προβλεπόμενης, ενώ οι δυναμικοί δύγκοι ήταν επίσης φυσιολογικοί με FEV₁: 97% του προβλεπόμενου, FVC: 106% του προβλεπόμενου και ο δείκτης Tiffeneau: 81% (εντός φυσιολογικών ορίων). Ο ανοσολογικός έλεγχος για αυτοάνοσα ρευματικά νοσήματα, συμπεριλαμβανομένων των c-ANCA ήταν αρνητικός. Ωτορινολαρυγγολογική εξέταση διαπίστωσε αγγειοκινητική ορινίτιδα. Οφθαλμολογική εξέταση χωρίς παθολογικά ευρήματα.



Εικόνα 1. Ακτινογραφία θώρακος F: Οξώδεις σκιάσεις άμφω.



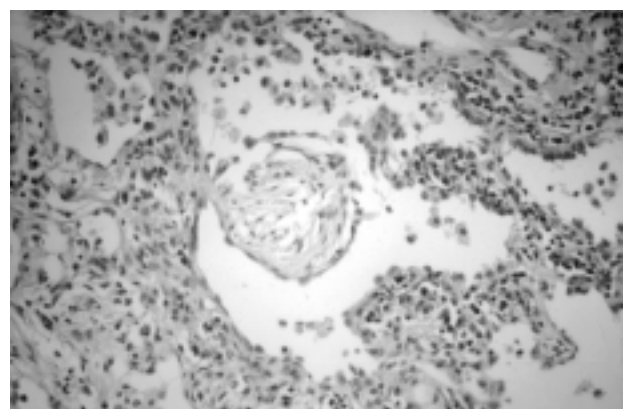
Eικόνα 2. CT θώρακος: Πολλαπλές οξώδεις σκιάσεις άμφω.

Ο ασθενής υποβλήθηκε σε βρογχοσκόπηση όπου διαπιστώθηκε οίδημα της τρόπιδος του δεξιού άνω λοβαίου και του διαμέσου βρόγχου. Στο βλεννογόνο του δεξιού κάτω λοβαίου βρόγχου, καθώς επίσης και των υποτυμπατικών του παρατηρήθηκαν πολλαπλές μικροο-ζιδιακές και 2-3 μεγαλοοζιδιακές λευκωπές βλάβες, από τις οποίες ελήφθησαν βιοψίες. Έγινε επίσης και BAL στο έξω πλάγιο τοίχωμα του δεξιού κάτω λοβού, περιοχή όπου η CT είχε αναδείξει περιγεγραμμένο όζο. Επίσης στο ίδιο τμήμα έγινε βιοψία του τοιχώματος του βρόγχου, καθώς και διαβρογχική βιοψία, ώστε να γίνει προσπάθεια βιοψίας του όζου και παρουσιάστηκε αιμορραγία μετά τη λήψη του δείγματος. Οι βιοψίες βρόγχου ανέδειξαν μέτριες αλλοιώσεις χρόνιας ενεργού φλεγμονής, ενώ η διαβρογχική βιοψία παρουσίαζε τεμάχια πνευμονικού παρεγχύματος χωρίς ουσιώδη ευρήματα. Η κυτταρολογική εξέταση του BAL έδειξε: Μακροφάγα: 68% (30% με καθαρό κυτταρόπλασμα, 28% με αφρώδες κυτταρόπλασμα και 10% με ξένο υλικό), Λεμφοκύτταρα: 12%, Πολυμορφοπόρηνα: 12%, Ήσωσινόφιλα: 6%, Μαστοκύτταρα: 2%. Η παραπάνω εικόνα θεωρείται ενδεικτική κυψελιδίτιδος.

Οι παραπάνω εξετάσεις δεν ήταν διαγνωστικές και ο ασθενής υποβλήθηκε σε ανοιχτή βιοψία πνεύμονος, οπου υπό γενική αναισθησία εγένετο σε δεξιά θωρακοτομή στο 5^ο μεσοπλεύριο διάστημα. Ο πνεύμονας ελέγχθηκε ελεύθερος συμφύσεων και στην ψηλάφηση του πνευμονικού παρεγχύματος, ανευρέθηκαν διαφόρου με-

γέθους οξώδεις εξεργασίες και στους τρεις λοβούς. Ελήφθη τμήμα πνευμονικού παρεγχύματος από τον άνω και κάτω λοβό η δε απάντηση της ταχείας αρνητική για κακοήθεια. Στην παθολογοανατομική εξέταση των τεμαχίων πνευμονικού παρεγχύματος παρατηρήθηκε ανάπτυξη πολυποιειδούς νεόπλαστου κυκλικούς ιστού, που προβάλλει στα μικρά βρογχιόλια και τις κυψελίδες. Ο διάμεσος ιστός παρουσίαζε μικρού βαθμού πάχυνση και πυκνή φλεγμονώδη λεμφοπλασματοκυτταρική διήθηση. Επίσης παρατηρήθηκαν λίγα πολυμορφοπόρηνα λευκοκύτταρα, καθώς και λίγα ησωσινόφιλα λευκοκύτταρα. Τα ως άνω φλεγμονώδη στοιχεία διηθούσαν και τους πολυποιειδείς σχηματισμούς. Τα περιγραφέντα ιστολογικά ευρήματα συνηγορούν υπέρ αποφρακτικής βρογχιολίτιδας οργανούμενης πνευμονίας (BOOP-COP) (Εικόνα 3).

Βάσει της ανοιχτής βιοψίας πνεύμονος, τέθηκε η διάγνωση BOOP-COP και στον ασθενή δόθηκε θεραπεία με πρεδνιζολόνη 1mg/kg θάρους σώματος για χρονικό διάστημα δύο μηνών. Τις πρώτες ημέρες της θεραπείας παρουσιάστηκε μεγάλη κλινική βελτίωση, ενώ στο τέλος του διμήνου παρατηρήθηκε πλήρης εξάλειψη των παθολογικών ακτινολογικών ευρημάτων. Το επόμενο δύμην η αγωγή μειώθηκε σε 0,5 mg/kg και δεν παρουσιάστηκε υποτροπή, οπότε το επόμενο δύμην ακολούθησε προσδευτική μείωση έως τη διακοπή της θεραπείας. Ο ασθενής δεν παρουσίασε υποτροπή της νόσου 12 μήνες μετά τη διακοπή της αγωγής.



Εικόνα 3. Ιστολογικό Δείγμα: Τμήμα πνευμονικού παρεγχύματος με μικρού βαθμού πάχυνση και φλεγμονή, πολυποιειδής ιστός αποφράσσει κυψελιδικό χώρο. (H-E Μεγέθυνση $\times 200$).

SUMMARY

Bilateral pulmonary nodules in an adult patient

**A. Kopanakis, C. Mistakeli, F. P. Kokkinis, P. Karkaletsis, S. Legaki, E. Kastanakis,
N. Karagianidis, M. Patentalakis**

A case of a 58 years old male, ex-smoker since 10 years (30 pack/years), who was admitted to our hospital due to bilateral pulmonary nodules is presented. Abdominal CT was normal and bronchoscopy showed endobronchial alterations of mild inflammation. A nodule was removed by open lung biopsy. Histological diagnosis excluded cancer and confirmed Cryptogenic Organizing Pneumonia - Bronchiolitis Obliterans with Organizing Pneumonia (COP - BOOP). This disorder is characterized by granulomatous tissue that obstructs small bronchioles and organizes pneumonia. Open lung biopsy or VATS is required to establish the diagnosis with certainty. In BOOP, bilateral pulmonary nodules as the only manifestation in chest radiograph are rare. Pneumon 2004; 17(2):207-212.

Key words: Cryptogenic Organizing Pneumonia or Bronchiolitis Obliterans with Organizing Pneumonia, bilateral pulmonary nodules, open lung biopsy.

ΒΙΒΛΙΟΓΡΑΦΙΑ

1. Epler GR. Bronchiolitis Obliterans Organizing Pneumonia Arch Intern Med 2001; 161:158-164.
2. Epler GR, Colby TV, McLoud TC, Carrington CB, Gaensler EA. Bronchiolitis obliterans organizing pneumonia. N Engl J Med 1985; 312:152-158.
3. Jean-François Cordier. Organising pneumonia. Thorax 2000; 55:318-328.
4. Fleming CM, Shepard JA, Mark EJ. Case records of the Massachusetts General Hospital. Weekly clinicopathological exercises. Case 15-2003. A 47-year-old man with waxing and waning pulmonary nodules five years after treatment for testicular seminoma. N Engl J Med. 2003 May 15; 348(20):2019-27.
5. Πολυζωγόπουλου Δ, Πολυχρονόπουλου Β. Ιδιοπαθής Βρογχιολίτιδα με ή χωρίς οργανούμενη πνευμονία. Πολυζωγόπουλου Δ, Πολυχρονόπουλου Β. (εκδ.), Κλινική Πνευμονολογία, 1η Έκδοση, Ιατρικές Εκδόσεις Πασχαλίδη, Αθήνα, 1993; 1699-1700.
6. Lazarus St. Disorders of the Itrathoracic Airways. In: Murray J., Nadel J., Mason R., Boushey H. (eds), Textbook of Respiratory Medicine, 3rd Edition, W.B. Saunders Company, Philadelphia, 2000; 1361-1373.
7. Seaton Anth. Bronchiolar Disease. In Seaton: Anth., Seaton Douglas, Seaton Gord., (eds), Crofton and Douglas's Respiratory Diseases, 5th Edition, Blackwell Science Ltd, Oxford, 2000; 829-838.
8. Frazer R, Paré P, Frazer R, Paré PD. Bronchiolitis. In: Frazer Rich., Paré Pet., Frazer Rob., Paré P.D. (eds), Diseases of the Chest, 2nd Edition, W.B. Saunders Company, Philadelphia, 1994; 687-690.
9. Cordier JF, Loire R and Brune J. Idiopathic bronchiolitis obliterans organizing pneumonia. Definition of characteristic clinical profiles in a series of 16 patients. Chest 1989; 96:999-1004.
10. Akira M, Yamamoto S, Sakatani M. Bronchiolitis obliterans organizing pneumonia manifesting as multiple large nodules or masses. AJR Am J Roentgenol 1998 Feb; 170(2):291-5.
11. Bouchardy LM, Kuhlman JE, Ball WC et al. CT findingw in Bronchiolitis obliterans organizing pneumonia with radiographic, clinical, and histologic correlation. J Comput Assist Tomogr 1993; 17:352-357.
12. Lynch J. Rare Interstitial Lung Diseases: Bronchiolitis Obliterans Organizing Pneumonia. In: The American College of Chest Physicians (eds), Pulmonary Board Review 2000, 1st Edition, ACCP, Illinois, 2000; 223-251.

Μονόπλευρο πνευμονικό οίδημα από επανέκπτυξη πνεύμονα: Περιγραφή περιπτώσεως με επιτυχή αντιμετώπιση με εφαρμογή αναπνοής με συνεχή θετική πίεση (CPAP)

Χ. Κωτούλας,
Τ. Σίκλης,
Χ. Ναστούλης,
Ε. Χουλιάρας,
Γ. Λαουτίδης

¹Θωρακοχειρουργός, Θωρακοχειρουργική Κλινική,
²Ειδικευόμενος Αναισθησιολόγος, ³Αναισθησιολόγος,
Μονάδα Εντατικής Θεραπείας, 401 Γενικό Στρατιωτικό Νοσοκομείο Αθηνών

ΠΕΡΙΛΗΨΗ. Το πνευμονικό οίδημα από επανέκπτυξη του πνεύμονα είναι μία σπάνια επιπλοκή της θωρακοκέντησης για πλευρική συλλογή ή πνευμοθώρακα. Ο μηχανισμός δημιουργίας είναι ασαφής, ενώ έχουν διατυπωθεί διάφορες θεωρίες. Η εμφάνισή του συνοδεύεται από σημαντική νοσηρότητα, ενώ ο θάνατος περιγράφεται σε ποσοστό 20% των περιπτώσεων. Παρουσιάζουμε μία περίπτωση ομόπλευρου πνευμονικού οιδήματος από επανέκπτυξη πνεύμονα μετά από τοποθέτηση θωρακικού σωλήνα για ολικό πνευμοθώρακα που αντιμετωπίσθηκε επιτυχώς με εφαρμογή αναπνοής με συνεχή θετική πίεση (CPAP). *Πνεύμων 2004, 17(2):213-216.*

ΕΙΣΑΓΩΓΗ

Λέξεις κλειδιά: Πνευμονικό οίδημα από επανέκπτυξη, πνευμοθώρακας, αναπνοή με συνεχείς θετικές πίεσεις (CPAP)

Το πνευμονικό οίδημα από επανέκπτυξη του πνεύμονα (ΠΟΕΠ) είναι μία σπάνια επιπλοκή της γενικής χειρουργικής του θώρακος. Ο μηχανισμός δημιουργίας είναι ασαφής, ενώ έχουν διατυπωθεί διάφορες θεωρίες. Το οίδημα μπορεί να είναι ομόπλευρο, ετερόπλευρο ή αμφοτερόπλευρο της χειρουργικής πράξης. Η σοβαρότατη υποξειγοναυμία συνοδεύεται από σημαντική νοσηρότητα, ενώ ο θάνατος περιγράφεται στο 20% των περιπτώσεων^{1,2}.

Παρουσιάζουμε μία περίπτωση ομόπλευρου πνευμονικού οιδήματος από επανέκπτυξη πνεύμονα μετά από τοποθέτηση σωλήνα κλειστής παροχέτευσης θώρακος για αντιμετώπιση πνευμοθώρακα που αντιμετωπίσθηκε επιτυχώς με εφαρμογή αναπνοής με συνεχείς θετικές πίεσεις.

ΠΕΡΙΓΡΑΦΗ ΠΕΡΙΠΤΩΣΕΩΣ

Αλληλογραφία:
Χριστόφορος Κωτούλας
Π. Μπακογιάννη 70Γ,
152 35 Βριλήσσια,
Τηλ. & φαξ: 010 6081367,
e-mail: chrkotoulas@hol.gr

Πρόκειται για ασθενή άνδρα ηλικίας 36 ετών που εισήχθη στην κλινι-

κή μας λόγω ολικού δεξιού πνευμοθώρακα. Ο ασθενής είχε παρουσιάσει προ τριημέρου αιφνίδιο θωρακικό άλγος, βήχα και ήπια δύσπνοια, συμπτώματα τα οποία υφέθησαν με τη λήψη αναλγητικών και αποχρεμπτικών σκευασμάτων. Λόγω επαναλήψεως του άλγους την 3η ημέρα ο ασθενής ξήτησε ιατρική βοήθεια. Η κλινική εξέταση ανέδειξε απουσία αναπνευστικού ψιθυρίσματος στο δεξιό ημιθωράκιο και σαφή πνευμονικό ήχο κατά την επίκρουση, ενώ η απλή ακτινογραφία θώρακος ανέδειξε σύστοιχα ολικό πνευμοθώρακα. Υπό τοπική αναισθησία και νευροληπτοαναλγησία, με πλήρη παρακολούθηση των ζωτικών λειτουργιών (monitoring) και χορήγηση συμπληρωματικού οξυγόνου με μάσκα στα 5 l/min, ο ασθενής υποβλήθηκε σε κλειστή παροχήτευση του δεξιού ημιθωράκιου με σωλήνα διαμέτρου 28F, χωρίς προβλήματα ή επιπλοκές. Ακολούθησε βαθμαία παροχήτευση του αέρα, ενώ ο ασθενής μετά από διάστημα 15 λεπτών αιφνίδια παρουσίασε επίμονο ξηρό βήχα. Η ακτινογραφία θώρακος έδειξε την σχεδόν ολική έκπτυξη του πνεύμονα και παρουσία πυκνώσεων στον άνω και κάτω λοβό του δεξιού πνεύμονα (Εικόνα 1). Ο ασθενής παρουσίασε αλλαγή των χαρακτήρων του βήχα, ο οποίος έγινε παραγωγικός με άφθονα κολλώδη κιτρινόχροα πτύελα και σε βαθμαία επιδεινούμενη αναπνευστική δυσχέρεια που κατέληξε σε ορθόπνοια. Λόγω της επιδείνωσης της αναπνευστικής λειτουργίας μεταφέρθηκε στη Μονάδα Εντατικής Θεραπείας (ΜΕΘ), δύο ώρες μετά την αρχική αντιμετώπιση. Κατά την εισαγω-

γή του στη ΜΕΘ τα ζωτικά του σημεία ήταν: Κορεσμός Οξυγόνου 72%, ΑΠ 145/90 mmHg, σφύξεις 95/λεπτό, αναπνοές 22/λεπτό. Αμέσως ετέθη σε monitoring και ακολούθησε οξυγονοθεραπεία με μάσκα Venturi 50%. Τα αέρια αίματος με οξυγόνο ήταν: pH= 7.329, pO₂= 57.6 mmHg, pCO₂=39.8 mmHg, HCO₃⁻=20.5. Ακολούθως ετέθη σε μάσκα Boussignac με CPAP 10 cm H₂O. Ετέθη επίσης σε αγωγή με εισπνεόμενα βρογχοδιασταλτικά, αμινοφυλάνη, κορτιζόνη, φουροσεμίδη και μιορφίνη. Σταδιακά παρατηρήθηκε βελτίωση της οξυγόνωσης, με ανάλογη βελτίωση της κλινικής εικόνας (Πίνακας 1). Ο παραγωγικός βήχας επέμεινε και άλλαξε μιορφή με κολλώδη πορτοκαλόχροα πτύελα με μαύρα στίγματα. Ελήφθησαν καλλιέργειες πτυέλων, οι οποίες ήταν αρνητικές για koch και κοινά μικρόβια. Ο εργαστηριακός έλεγχος ανέδειξε όλες τις αιματολογικές και βιοχημικές εξετάσεις εντός φυσιολογικών ορίων πλην των ακολούθων: Na⁺: 130.6mmol/L, LDH: 710U/L, CK: 424U/L, ολική χολερούθρινη: 2.08 mg/dL.

Ο ασθενής υποβλήθηκε σε υπερηχογράφημα καρδιάς που ανέδειξε φυσιολογική λειτουργία των καρδιακών κοιλοτήτων και βαλβίδων. Ο βήχας υποχώρησε 6 ώρες μετά την εισαγωγή του στη ΜΕΘ. Σταδιακά μειώθηκε η CPAP και ετέθη ξανά σε μάσκα Venturi 8 ώρες μετά την εισαγωγή του. Ο ασθενής εξήλθε από τη ΜΕΘ 24 ώρες μετά σε πολύ καλή κατάσταση χωρίς να λαμβάνει οξυγόνο και με σταδιακή βελτίωση της ακτινολογικής του εικόνας (Εικόνα 2).

Υποβλήθηκε σε αξονική τομογραφία θώρακος η οποία ανέδειξε την ύπαρξη πολλαπλών υποϋπεξωκοτικών κύστεων αιμοφτερόπλευρα. Μετά από προεγχειρητικό έλεγχο υποβλήθηκε σε δεξιά μασχαλιαία θωρακοτομή και εκτομή των κύστεων καθώς και εκτομή του τοιχωματικού υπεξωκότα του θόλου. Ο ασθενής είχε ομαλή μετεγχειρητική πορεία και εξήλθε από το νοσοκομείο την 7^η μετεγχειρητική ημέρα.

ΣΥΖΗΤΗΣΗ

Το πνευμονικό οίδημα από επανέκπτυξη πνεύμονα (ΠΟΕΠ) πρωτοπεριγράφηκε το 1853, αλλά στη διεθνή βιβλιογραφία¹ έχουν αναφερθεί μόνον περί τα 70 περιστατικά.

Στην πλειονότητα των περιπτώσεων, το ΠΟΕΠ είναι αποτέλεσμα επανέκπτυξης πνεύμονα είτε από πα-



Εικόνα 1. A/a θώρακος αμέσως μετά την τοποθέτηση της κλειστής παροχήτευσης θώρακος. Ο δείκτης αντιστοιχεί στο επίπεδο έκπτυξης του πνεύμονα.

Πίνακας 1. Τιμές αερίων αίματος κατά τη διάρκεια της νοσηλείας του ασθενή στη ΜΕΘ

	Άμεσα	1η ώρα	3η ώρα	5η ώρα	9η ώρα	18η ώρα
pH	7,329	7,321	7,355	7,38	7,38	7,424
PO ₂ (mmHg)	57,6	179,8	161,7	127,9	121,9	141,5
pCO ₂ (mmHg)	39,8	41,6	41,2	35,8	33,2	30,4
HCO ₃ (meq/L)	20,6	22,5	22,5	22,7	20,1	19,5
Αερισμός	Venturi Mask	CPAP 10 cmH ₂ O	CPAP 7,5 cmH ₂ O	CPAP 5 cmH ₂ O	Venturi mask	Venturi Mask

ραμελημένο πνευμοθώρακα, είτε από ταχεία αναρρόφηση μεγάλης πλευριτικής συλλογής. Έχουν αναφερθεί και ελάχιστες περιπτώσεις δημιουργίας ΠΟΕΠ ως αποτέλεσμα θωρακοσκοπικής αντιμετώπισης πνευμοθώρακα (VATS) ή πλευριτικής συλλογής και πλευρόδεσης με τάλακη². Το οίδημα είναι ομόπλευρο με τον χειρουργικό χειρισμό στο 83% των περιπτώσεων³. Σε μικρότερο ποσοστό είναι αμφοτερόπλευρο, ενώ μόνο σε 5 περιπτώσεις έχει περιγραφεί ετερόπλευρα των χειρισμών^{1,3}. Αναπτύσσεται συνήθως εντός 2 ωρών, αν και έχει παρατηρηθεί και καθυστερημένη έναρξη μετά από 24 έως 48 ώρες². Μπορεί να καταλαμβάνει ένα λοβό ή και περισσότερους, στοιχείο που συνδέεται με το βαθμό της προηγηθείσας ατελεκτασίας⁴. Η ανάπτυξη του οιδήματος παρατηρείται κυρίως στις περιπτώσεις όπου η ατελεκτασία του πνεύμονα χρονολογείται για διάστημα μεγαλύτερο των 72 ωρών³.

Η κλινική εικόνα του οιδήματος κυμαίνεται από την ιδιόμορφη ακτινολογική εικόνα που συνοδεύει έναν ασυμπτωματικό ασθενή, μέχρι την αναπνευστική ανεπάρκεια



Εικόνα 2. A/a θώρακος την τρίτη ημέρα μετά την εμφάνιση των μονόπλευρων πνευμονικού οιδήματος

και το θάνατο που παρατηρείται σε ποσοστό 20%^{1,4}. Αυξημένη θνητότητα συνοδεύει τις περιπτώσεις, όπου το οίδημα είναι αμφοτερόπλευρο και εγκαθίσταται άμεσα⁴. Το ΠΟΕΠ συνήθως λύεται σε 24 έως 72 ώρες³.

Η παθοφυσιολογία του ΠΟΕΠ παραμένει ασαφής, αν και έχουν αναπτυχθεί ορισμένες θεωρίες σχετικά με τη δημιουργία του. Έχει παρατηρηθεί ότι το οιδηματικό υγρό είναι πλούσιο σε πρωτεΐνες, υποδεικνύοντας την ύπαρξη τριχοειδικής διαφυγής⁵. Μερικοί συγγραφείς πιστεύουν ότι οφείλεται σε αυξημένη διαπερατότητα του ενδοθηλίου και απώλεια της σταθερότητας της κυψελιδοτριχοειδικής μεμβράνης, βλάβη που αποδίδεται στη μηχανική καταπόνηση και τη διάταση μέσα στον επανεκπυσσόμενο πνεύμονα⁶. Θεωρείται ότι η διαφυγή επιδεινώνεται από ριζες νιτρικού οξειδίου ή διάφορους χυμικούς μεσολαβητές που εκκρίνονται από τα ουδετερόφιλα, ενώ διαφορετική αιτιολόγηση είναι αυτή της βλάβης από την επαναιμάτωση των ιστών. Με την επανέκπτυξη του προηγουμένως μη αιματούμενου—μη αεριζόμενου πνεύμονα μπορεί να απελευθερώνονται ελεύθερες ριζες οξυγόνου με επακόλουθη τη δημιουργία βλάβης στην κυψελιδοτριχοειδική μεμβράνη. Αυτή η θεωρία ενισχύεται από το εύρημα ότι τα αιξημένα επίπεδα οξυγόνου και η χορήγηση αντιοξειδωτικών φαρμάκων προλαμβάνει τη δημιουργία οιδήματος⁵. Παρατηρήθηκε επίσης ότι, σε χρονίως συμπεπτυγμένους πνεύμονες, υπάρχουν χαμηλά επίπεδα επιφανειοδραστικής ουσίας, καθώς και ελαττωμένη λεμφική ροή^{7,8}. Η λεμφική αποχέτευση σε κακοήθεις πλευριτικές συλλογές προκαλεί, στις περιπτώσεις αυτές, την περαιτέρω επιβάρυνση². Τέλος, επιπρόσθιτη καταπόνηση από μηχανικές δυνάμεις όπως η επανέκπτυξη του πνεύμονα, οι χειρουργικοί χειρισμοί και η αλλαγή των θετικών πιέσεων σε αυτόματη αναπνοή, μπορεί να οδηγήσουν στην ανάπτυξη του ΠΟΕΠ².

Δεν υπάρχουν σαφείς οδηγίες για την πρόληψη του

ΠΟΕΠ παρά μόνον ευρέως αποδεκτές παρατηρήσεις και προτάσεις. Αν ο ασθενής είναι ασυμπτωματικός, δεν χρειάζεται καμία θεραπεία⁴. Σε περιπτώσεις ύπαρξης συμπτωμάτων, άμεσες προτεραιότητες είναι η οξυγόνωση, η αναπνοή με συνεχή θετική πίεση (CPAP), η διούρηση και η αιμοδυναμική υποστήριξη του ασθενή. Περιγράφεται και η χρήση ουσιών αναλόγων των προσταγλανδινών, όπως η ιβροουπουφαίνη και η ινδομεθακίνη, άμεσα με την εμφάνιση του οιδήματος, λόγω της κυτταροποστατευτικής ή και αντιφλεγμονώδους δράσης τους³. Επιπλέον, η κατάκλιση του ασθενή σε πλάγια θέση με την προσβληθείσα πλευρά προς τα πάνω βοηθά στην ελάττωση του οιδήματος και της ενδοπνευμονικής παράκαμψης (shunt)³. Σε περιπτώσεις ύπαρξης μεγάλης πλευριτικής συλλογής δεν πρέπει να αφαιρείται ποσότητα μεγαλύτερη από ένα λίτρο. Κατ' αναλογία, σε περιπτώσεις ύπαρξης μεγάλου πνευμοθώρακα, η σταδιακή παροχή ευστήτου ελαττώνει την πιθανότητα ανάπτυ-

ξης του οιδήματος, στόχος δε πρέπει να είναι η διατήρηση της ενδοθωρακικής πίεσης πάνω από –20 cm H₂O. Η διαδικασία θα πρέπει να σταματά όταν ο ασθενής παραπονεθεί για σφίξιμο στο στήθος ή εμφανίσει ξαφνικά βήχα^{1,2,8}.

Το πνευμονικό οίδημα από επανέκπτυξη πνεύμονος μπορεί να συμβεί σπάνια και απροσδόκητα, ενώ η εμφάνισή του μπορεί να αποθεί μοιραία για τον ασθενή. Η πιθανότητα της εμφάνισής του καθώς και η ποικιλία της συμπτωματολογίας θα πρέπει πάντοτε να είναι στη σκέψη του γιατρού που εκτελεί θωρακοκέντηση. Σε ανάλογες περιπτώσεις η ίδιανή πρώτη αντιμετώπιση πρέπει να είναι ο συνδυασμός της εφαρμογής αναπνοής με συνεχή θετική πίεση (CPAP), των διουρητικών και της αιμοδυναμικής υποστήριξης, που οδηγεί, στην πλειονότητα των περιπτώσεων, σε θεαματική βελτίωση του ασθενή.

SUMMARY

Unilateral reexpansion pulmonary edema: report of a case successfully treated with continuous positive airway pressure

Kotoulas C., Siklis T., Nastouli C., Chouliaras E., Laoutides G.

Reexpansion pulmonary edema is a rare complication of thoracentesis for pleural effusion or pneumothorax. The underlying mechanism of this condition is unclear, but several mechanisms have been proposed. Significant morbidity can result and death is reported in up to 20% of cases. We present a case of ipsilateral reexpansion pulmonary edema following chest tube insertion for pneumothorax successfully treated with continuous positive airway pressure. Pneumon 2004; 17(2):213-216.

Key words: Reexpansion pulmonary edema, pneumothorax, continuous positive airway pressure (CPAP).

ΒΙΒΛΙΟΓΡΑΦΙΑ

1. Heller BJ, Grathwohl MK. Contralateral reexpansion pulmonary edema. South Med J, 2000; 93(8):828-831.
2. Iqbal M, Multz AS, Rossoff LJ, Lackner RP. Reexpansion pulmonary edema after VATS successfully treated with continuous positive airway pressure. Ann Thorac Surg, 2000; 70:669-671.
3. Mahfood S, Hix WR, Aaron BL, Blaes P, Watson DC. Reexpansion pulmonary edema. (Update by Trachiotis GD, Vricella LA, Aaron BL, Hix WR). Ann Thorac Surg, 1997; 63:1206-1207.
4. Mahfood S, Hix WR, Aaron BL, Blaes P, Watson DC. Reexpansion pulmonary edema. Ann Thorac Surg 1988; 45:340-345.
5. Light RW. Pleural Diseases. Retford D (ed). Baltimore, Williams & Wilkins Co, 3rd Ed, 1995, pp 268-269.
6. Pavlin DJ, Nessly ML, Cheney FW. Increased pulmonary vascular permeability as a cause of reexpansion edema in rabbits. Am Rev Respir Dis 1981; 124:422-427.
7. Katz S, Knight R. Reexpansion pulmonary edema. Am Fam Physician 1976; 13:94-95.
8. Mahajan VK, Simon M, Guber GL. Reexpansion pulmonary edema. Chest, 1979; 75:192-194.